

Типовые конструкции и детали зданий и сооружений

3-407-98

ЧИФРИРОВАННЫЕ СТАЛЬНЫЕ ПОРТАЛЫ  
ОТКРЫТЫХ РАСПРЕДЕЛИТЕЛЬНЫХ УСТРОЙСТВ

35-150 кВ

Состав проектных материалов

Выпуск 1 Пояснительная записка и инструкция по применению

Выпуск 2 Монтажные схемы, узлы, стальные и железобетонные конструкции.

РАЗРАБОТАНЫ

Северо-Западным отделением  
института „Энергосетьпроект“  
Минэнерго СССР

Выпуск 1

Утверждены Минэнерго СССР

20. X - 1973 г.

Введены в действие  
с 1. I. 1974 г.

РЕШЕНИЕ № 251  
от 20. X - 73 г.

<i>Наименование</i>	<i>Номер листа</i>	<i>Стр. №ицв</i>
1	2	3
Титульный лист	-	1
Перечень листов	1	2
Пояснительная записка	2-6	3-7
Пояснительная записка	7	8
Инструкция по применению	7-10	8-11
Схемы порталов ОРУ 35 кВ	11	12
Таблица нормативных нагрузок на порталы ОРУ 35 кВ	12	13
Схемы порталов ОРУ 110 кВ	13	14
Таблица нормативных нагрузок на порталы ОРУ 110 кВ	14	15
Схемы порталов ОРУ 150 кВ	15	16
Таблица нормативных нагрузок на порталы ОРУ 150 кВ	16	17
Расчетные схемы порталов ОРУ 35-150 кВ	17	18
Таблицы усилий на фундаменты	18-21	19-22
Рекомендуемые типы фундаментов	22,23	23,24
Таблицы предельных отрывывающих моментов цилиндрических фундаментов.	24-27	25-28
Таблицы единичных углов поворота цилиндрических фундаментов и подножников	28-30	29-31
Таблицы коэффициентов условий работы и предельных вырывывающих усилий цилиндрических фундаментов.	31	32
Таблицы предельных сжимающих усилий цилиндрических фундаментов.	32,33	33,34
Графики предельных вырывывающих усилий свай, погруженных в однородный грунт	34	35
График предельных сжимающих усилий свай сечением 25x25 см, погруженных в однородный грунт.	35	36

1	2	3
График предельных сжимающих усилий свай сечением 35x35 см, погруженных в однородный грунт	36	37
Графики предельных сжимающих и вырывывающих усилий свай сечением 25x25 см, погруженных в неоднородный грунт.	37	38
Графики предельных сжимающих усилий свай сечением 35x35 см погруженных в неоднородный грунт.	38	39
График предельных вырывывающих усилий свай сечением 35x35 см, погруженных в неоднородный грунт. Таблица коэффициентов условий работы Тбл и Тос.	39	40
Условные обозначения к расчету оснований подножников. График кривых зависимости коэффициента Кн	40	41
Таблицы расчета оснований подножников	41-45	42-45
Примеры расчета оснований фундаментов	46-48	47-49

*Перечень используемых ГОСТов и нормативов*

380-71	10181-62
1759-70	13015-67*
5058-65*	15589-70*
5781-61*	15591-70*
7796-70*	4МТУ1-47-67
7798-70*	МРТУ 35-024-67
9467-60	
10180-67	

TK  
1973

Перечень листов

3-407-98  
Лист 1

## Пояснительная записка

### 1. Общее ч.п.т.в.

Работа, Унифицированные стальные порталы ОРУ 35-150 кВ выполнена Северо-Западным отделением института, Энергосетпроект по плану типовых работ Госстроя СССР на 1973 г. в соответствии с техническими решениями, Унификация элементов и деталей конструкций ОРУ, зданий и сооружений подстанций 35-500 кВ, утвержденными заместителем Министра энергетики и электрификации СССР решением №78 от 27 марта 1972 г.

Конструкции порталов разработаны для следующих условий применения:

- а) Расчетная минимальная температура воздуха до минус 40°С включительно;
- б) Максимальная нормативная толщина галечного покрытия проводов ошиновки С=20 мм, что соответствует I району по гололеду при повторяемости 1 раз в 10 лет;
- в) Нормативный скрестиный напор ветра  $\varphi=50 \text{ кг/м}^2$ , т.е. по II ветровому району при повторяемости 1 раз в 10 лет;
- г) Грунты в основаниях приняты условно, не гучинистые в соответствии с классификацией СНиП;
- д) Грунтовые воды отсутствуют;
- е) Сейсмичность района строительства не выше баллов по шкале ГОСТ 6249-52.

Применение проекта не предусматривается в районах вечной мерзлоты, с макропористыми грунтами II типа просадочности, а также на площадках, подверженных оползню и кедровом.

Типовые конструкции разработаны в соответствии с действующими нормами и правилами.

Главный инженер проекта ГЭРУ Ю. Порфирьев

odintakov

### 2. Конструктивное решение.

Порталы ОРУ 35, 110, 150 кВ выполнены свободностоящими в виде плоских П-образных конструкций с защелками на фундаментах стойками и шарнирным соединением стоек с траверсами.

Траверсы и узкобазовые стойки выполнены стальными, решетчатого типа, сечением 500×500 мм, с соединением элементов на сборке, внахлестку.

Иключение составляют низкие секции стальных типовых порталов ОРУ 110 кВ, "тяжелого" типа и ОРУ 150 кВ, которые выполнены с развитой базой и с соединением элементов из болта, а также траверсы шинных порталов ОРУ 35 кВ, выполненные из швеллеров.

Принятая конструкция стоек и траверс обеспечивает их технологичность в изготовлении и повышает надежность загрузки железнодорожного и автомобильного транспорта по сравнению с ранее разработанными порталами.

Стальные траверсы порталов разработаны с учетом возможности их применения в порталах с железобетонными стойками.

Все металлоконструкции окрашиваются лаком № 177 в соответствии с указаниями СНиП III-Н.6-67.

Закрепление узкобазовых стоек порталов производится производить на цилиндрических железобетонных фундаментах, установленных в сверленые котлованы с последующим заполнением пазух крупнозернистым песком или, при необходимости, монолитным бетоном.

TK

1973

Пояснительная записка

3-407-98

1 2

При наличии на строительной площадке пучистых и слабых грунтов установку узкобазовых стоек порталов рекомендуется производить на подножниках и сваях.

Закрепление порталов с развитой базой стоек рекомендуется производить на подножниках и сваях, предназначенных для опор ВЛ, а также на цилиндрических фундаментах.

Соединение стальных узкобазовых стоек с головниками цилиндрических фундаментов и подножников предусмотрено на сварке при помощи крепежных элементов, а их соединение со сваями - при помощи стального растяжки.

Выбор типов фундаментов производится в соответствии с рекомендациями, приведенными в инструкции по применению

Принимая во внимание большое разнообразие монтажных систем порталов, в работе приведены в качестве примеров наиболее характерные монтажные схемы.

На монтажных схемах применяется следующая маркировка порталов и марок:

ГС-35Ш - портал стальной для ОРУ 35 кВ, шинный

ПСТ-110Я - портал стальной, "тяжелого" типа для ОРУ 110 кВ, ячеековый.

Т8 - типовая марка металлоконструкций порталов.

T1005 - типовой элемент укрупненной марки, собранный на балках, где первые две цифры (10) обозначают порядковый номер укрупненной марки, остальные (05) - порядковый номер элемента.

В целях удобства изготовления и комплектации элементов в проекте принята сквозная нумерация позиций.

### 3. Расчетные положения.

Расчет порталов выполнен по методу предельных состояний.

Исходным материалом для проектирования являются технологические задания, включающие в себя:

а) схематические чертежи порталов с указанием возможных мест подвески ошиновки, проводов, трассы ВЛ и виброзащиты связи;

б) значения наибольших нагрузок для различных ОРУ и режимов работы порталов определены на ЭБМ.

Расчетными режимами работы для порталов ОРУ являются:

а) Нормальный режим при скоростном напоре ветра  $q_{\max}$  и отсутствии гололеда;

б) Нормальный режим при скоростном напоре ветра  $q = 0,25 q_{\max}$  и гололеде с толщиной стеки до  $C = 20 \text{ мм}$ ;

в) Монтажный режим при скоростном напоре ветра  $q = 6,25 \text{ кг}/\text{м}^2$  и отсутствии гололеда.

В работе приведены значения усилий, действующих на фундаменты в различных гололедных рабочих.

Сбор нагрузок и определение усилий, действующих в стойках, приведены в альбоме Б<sup>(2)</sup>.

Расчеты закреплений стоек порталов в грунте выполнены с использованием ЗЗМ для всех грунтов по классификации таблицы 12.

Несущая способность железобетонных зажимов определена в соответствии со СНиП II-8.1-62<sup>2</sup>.

Расчет стальных конструкций выполнен в соответствии со СНиП II-8.3-72.

Расчеты железобетонных зажимов и металлоконструкций приведены в альбоме Б.

(2) Альбом Б (инв. № 702774-7 II) в состав работ не включен и разнождается институтом "Энергосетьпроект".

TK
1973г.

Пояснительная записка

3-407-98  
1973г. 3

## 4. Материалы.

### 4.1. Стальные конструкции.

1. Материал конструкций - углеродистая сталь обыкновенного качества Ст 3 и Ст 3г по ГОСТ 380-71 (или В 18Т по ЧМТУ 1-47-67) с гарантией свариваемости.

Для порталов, устанавливаемых в районах с расчетной температурой: а) до минус 30°C включительно элементы толщиной до 5мм - ВСт3пс2; элементы толщиной 6-25мм - ВСт3пс6; б) от минус 31°C до 40°C включительно элементы толщиной до 5мм - ВСт3пс2; элементы толщиной 6-9мм - ВСт3пс6; элементы толщиной 10-25мм - ВСт3сп5, ВСт3Гпс5 по ГОСТ 380-71 или В 18Тпс5 по ЧМТУ 1-47-67.

2. Болты применяются нормальной точности по ГОСТ 1798-70\* или ГОСТ 1796-70\* исполнение I или же грубой точности по ГОСТ 15589-70\* или ГОСТ 15591-70\* исполнение I класса 4,6 по табл. 3 положения I ГОСТ 1759-70\* с дополнительными испытаниями по п.п. 3,4 и 5 табл. 10 ГОСТ 1759-70\*.

Допускается применение болтов класса 4,8 с дополнительными испытаниями по п. 5 табл. 10 ГОСТ 1759-70\*.

3. Сварка металлоконструкций производится электродами Э42А.

Допускается производить сварку под слоем флюса и в углекислом газе согласно указаниям НРТУ 34-004-67.

4. Для порталов, устанавливаемых в районах с расчетной температурой воздуха ниже минус 40°C, марки стали для конструкций и болтов, марки электродов принимаются в соответствии с указаниями СНиП Г-В3-72.

5. Марка стали и тип электродов в зависимости от расчетной температуры воздуха в каждом конкретном проекте указываются изоголовье листах и в заказных спецификациях.

### 4.2 Железобетонные изделия.

1. Для железобетонных подножников, разработанных в настоящем проекте, применен тяжелый бетон марки 400 по прочности на сжатие.

Марка бетона по морозостойкости №№ 150, по водонепроницаемости В-4.

Цемент и инертные, применяемые для изготовления бетона, должны удовлетворять СНиП Г-В3-62.

Наибольший размер зерен крупного заполнителя не должен превышать 40 мм.

Контроль прочности бетона фундаментов производится в соответствии с ГОСТ 10180-67 (Бетон тяжелый. Методы определения прочности) и ГОСТ 10181-62 (Бетон тяжелый. Методы определения подвижности и жесткости бетонной смеси).

2. В качестве арматуры фундаментов применяется:

а) Стержневая горячекатаная арматурная сталь класса А-I (ГОСТ 5781-61\*, ГОСТ 380-71) с гарантией свариваемости.

При этом для порталов, сооружаемых в районах с расчетной наружной температурой воздуха от минус 30°C и выше, применяется кипящая сталь марки ВСт 3Кп2; в районах с температурой воздуха от минус 30°C до минус 40°C применяется полусыпокипящая сталь марки ВСт3пс2;

б) Стержневая горячекатаная сталь горючего профиля класса А-II по ГОСТ 5781-61\* марки 25ГС или 35ГС для сварных конструкций по ГОСТ 5058-65\*.

При этом для порталов, сооружаемых в районах с наружной температурой воздуха ниже минус 30°C, должна применяться сталь марки 35ГС.

3. Для наклонных петель применяется стержневая горячекатаная сталь класса А-I ГОСТ 5781-61\*

TK	Пояснительная записка	3-407-98
1973		1 4

из углеродистой стали марки ВСТЗп2 для сварных конструкций по ГОСТ 380-71.

4. Закладные детали фундаментов изготавливаются из углеродистой стали для сварных конструкций марки ВСТЗп5 по ГОСТ-380-71 с гарантией свариваемости.

Для районов с температурой воздуха ниже минус 40°С марка стали назначается по указанию СНиП-69.

5. Закладные детали, фиксирующие положение арматурных каркасов и т.п. выполняются из стали марки ВСТЗп1 для сварных конструкций по ГОСТ 380-71.

Требования к марке стали свариваются в заказной спецификации на сварные железобетонные изделия и в конкретном проекте.

При конкретном проектировании рекомендуется в заказных спецификациях указывать отдельные сварные марки металлоконструкций и укрупненные болтовые.

## 5. Конструктивные требования.

5.1. Арматурные сетки выполняются с применением контактной сварки.

Сетки и отдельные стержни фундаментов перед установкой в опалубку обединяются в пространственный каркас с помощью контактной сварки, выполняемой переносными клещами.

Сварка производится во всех местах пересечения стержней.

5.2 При применении дуговой сварки стержни из стали класса А-I свариваются электродами типа Э42А, стержни из стали класса А-II - электродами типа Э50А ГОСТ 9457-60

5.3. Контактные (последние) петли защищаются из резину-

арматурой и привариваются.

5.4. Защитный слой рабочей арматуры должен быть не менее 30мм, за исключением случаев, оговоренных на чертежах.

## 6. Требования к изготовлению, транспортировке, складированию и монтажу порталов.

### 6.1. Железобетонные изделия.

Изготовление и приемку железобетонных элементов следует производить в соответствии с ГОСТ 13015-67\* и учетом следующих дополнительных требований:

1. Прочность бетона в момент отпуска с завода должна быть не ниже:

- а) 100% для всех элементов в зимнее время;
- б) 75% - в летнее время.

2. Отклонение размеров железобетонных элементов от проектных не должно превышать:

- а) Размеров поперечных сечений ± 5мм;
- б) Высоты или длины ± 5мм;
- в) Размеров стальных арматурных колодок в плане ± 2мм

3. Транспортировка, складирование и монтаж изделий должен осуществляться в соответствии со СНиП II-В.3-62\* и СНиП III-Н.6-67.

### 6.2. Стальные конструкции.

Изготовление, приемку, поставку и монтаж металлоконструкций следует производить в соответствии с МРТУ 34-004-67 и СНиП II-Н.6-67 с учетом следующих конструктивных требований

1. Резьба болтов не должна выходить в пакет более, чем на 8мм. В случае недостаточности резьбы стягивать края листа под головку болта;

2. Закрепление зажима против отверстия производится путем забивки резьбы.

3. Образование отверстий прошиванием на полный диаметр допускается производить в элементах толщиной не более 12мм.

7. Выписка из заключения по экспертизе на новизну и патентоспособность типовой работы, выполненной в 1973г.

При выполнении типовой работы серии . . . „Унифицированные стальные порталы ОРУ 35-150кв" инв. № 7027м были просмотрены следующие патентные материалы:

а) СССР-перечень патентов, действующих в СССР по состоянию на 1января 1972г. и бюллетени. Открытия, изобретения, промышленные образцы, товарные знаки с 1января 1972 г. по 25июля 1973г. по классам Е04с3/00; Е04н12/00; Е02д27/02; Н02з97/00; 13/00(37.87/30; 37.945/22; 84с27/02; 21с, 11, 12);

б) Болгария- библиографические сборники действующих патентов по состоянию на 1июня 1965г. и библиографические патентные бюллетени за 1966, 1968+1971г.г. Классы те же, что по СССР;

в) Венгрия- библиографические сборники действующих патентов по состоянию на 1января 1966г. и библиографические патентные бюллетени за 1956, 1958+1971г.г. Классы те же, что по СССР;

г) ГДР- библиографические сборники действующих патентов по состоянию на 1января 1966г. и библиографические патентные бюллетени за 1956+1971г.г.

Классы те же, что по СССР;

д) Польша- библиографические сборники действующих

патентов по состоянию на 1января 1966г. и библиографические патентные бюллетени за 1965г, 1968+1971г.г.

Классы те же, что по СССР;

е) Румыния- библиографические сборники действующих патентов по состоянию на 1января 1966г. и библиографические патентные бюллетени за 1966, 1968+1971г.г.

Классы те же, что по СССР;

ж) Чехословакия- библиографические сборники действующих патентов по состоянию на 1января 1966г. и библиографические патентные бюллетени за 1966, 1968, 1969, 1971г.г. Классы те же, что по СССР;

и) Югославия- библиографические сборники действующих патентов по состоянию на 1января 1966г. и библиографические патентные бюллетени за 1966, 1968+1971г.г.

Классы те же, что по СССР.

Патентные материалы просмотрены по патентным фондам СЗО ин-та „Энергосетьпроект" и библиотеки Ленинградского Центрального бюро технической информации. Кроме того просмотрены книги и реферативные журналы по данной теме.

В работе использованных авторских свидетельств или патентов не имеется.

Общие выводы: Типовая работа, Унифицированные стальные порталы ОРУ 35-150кв" серии . . . обладает патентной чистотой в отношении СССР, Болгарии, Венгрии, ГДР, Польши, Румынии, Чехословакии и Югославии.

Выписку составил: рук. архива Михаил- /кирсанов/ Выписка составлена 15 сентября 1973г.

TK
1973

Последняя запись

3-407-98

одинаков  
6

8. Выписка из патентного формуляра инв. № 7027 гк-ІІ  
типовой работы "Унифицированные стальные  
порталы ОРУ 35-150 кВ" серия - - - -

Данная работа обладает патентной чистотой в отношении СССР, Болгарии, Венгрии, ГДР, Польши, Румынии, Чехословакии и Югославии.

В разработанном проекте все составные элементы проекта обладают патентной чистотой.

Комплектующих изделий, не обладающих патентной чистотой не имеется.

Патентный формуляр составлен 10 сентября 1973 г.

Целью проверки настоящей работы является новая разработка проекта с возможностью применения его в социалистических странах.

Выписку составил: рук. группы труж /Кирсанова/  
 Выписка составлена 15 сентября 1973 г.

Инструкция по применению

1. Общие указания по выбору типа порталов и фундаментов.

Разработанные в настоящем проекте стальные порталы предназначаются для применения в удаленных районах, а также при наличии на строительной площадке слабых и пучинистых грунтов.

Порталы, предназначены для применения в ОРУ, выполняемых по типовым компоновкам.

Применение ячеековых порталов ОРУ 110 кВ, легкого типа рекомендуется для ОРУ по упрощенным схемам или со сборными шинами на стержне высшего напряжения,

и для других ОРУ при условии обеспечения допускаемых деформаций стоек.

В последнем случае для узловых стоек выполнение фундаментов из свай не допускается.

Для выбора типа фундаментов в работе выполнены расчеты по определению максимальных расчетных усилий, действующих на фундаменты порталов во II, III, IV гололедных и II ветровых районах для ОРУ по упрощенным схемам и со сборными шинами на стержне высшего напряжения, а также для ОРУ со сборными шинами на стержне среднего или низшего напряжения.

Значения действующих усилий на фундаменты приведены в таблицах 8 и 9.

Рекомендуемые типы фундаментов приведены на листах 22, 23.

Для выбора фундаментов в работе приведены таблицы и графики для определения несущей способности оснований рекомендуемых фундаментов.

При сооружении порталов в грунтовых условиях, отличающихся от принятых в проекте, следует производить поверочные расчеты.

При применении проекта для районов с большими значениями скоростного напора ветра или гололеда, следует определить новые нагрузки и выполнить соответствующие расчеты.

TK	Пояснительная записка	3-407-98
1973	Инструкция по применению	7

## 2. Выбор типа фундаментов под стойки узкобазовых портальных.

### 2.1. Определение несущей способности цилиндрических фундаментов при действии горизонтальных сил.

Для выбора типа рекомендуемых закреплений стоек в грунте в табл. 10 приведены предельные опрокидывающие моменты.

Опрокидывающие моменты закреплений определены по методу предельных состояний при действии приведенных горизонтальных сосредоточенных сил, приложенных на высоте 20 м от поверхности земли.

Несущая способность основания обеспечивается при соблюдении условия:  $M_{\text{р}} \leq K_H t_3 t_1 t_2 M$ ,

где:  $M_{\text{р}}$  - расчетный опрокидывающий момент, действующий на закрепление на уровне земли, принимается по таблице 8.

$t_3$  - коэффициент условий работы земли, принимается по таблице 12 л. 31

$K_H$  - коэффициент, определяемый по графику 9, л. 40 в зависимости от фактической высоты приложения равнодействующей горизонтальных сил  $H$ , которая определяется по формуле  $H = \frac{M_{\text{р}}}{Q_{1,n}}$

$Q_{1,n}$  - значение расчетной поперечной силы по табл. 8

$t_1$  - коэффициент условия работы, принимается для порталов без разности тяжений  $t_1 = q_8$ , для концевых порталов и с разностью тяжений  $t_1 = q_{75}$

$t_2$  - коэффициент условий работы закрепления.

При наличии действующего изгибающего момента в обеих плоскостях  $t_2$  принимается по табл. 1

Таблица 1

$\frac{M_{\text{р}} \text{ в плоскости}}$ $\text{Мп из плоскости}$	0	0,2	0,4	0,6	0,8	1,0
$t_2$	1,0	0,85	0,77	0,72	0,71	0,71

$M$  - предельный опрокидывающий момент прямого типа закрепления, принимается по табл. 10.

### 2.2. Определение деформаций цилиндрических фундаментов и подножников узкобазовых стоек порталов при действии горизонтальных сил.

Для проверки деформаций стоек в табл. 11 приведены углы поворота  $\beta$  для рекомендуемых типов закреплений, создаваемые горизонтальной силой  $Q = 1m$ , приложенной на высоте 20 м от планировочной отметки грунта.

Пригодность закрепления по деформации обеспечивается при соблюдении условия фер. 4012Н-ФС,

где:  $H$  - высота стойки до оси трансверса  
ф-р-отклонение стойки на отметке оси трансверса за счет ее изгиба  
ф-р-отклонение стойки на отметке оси трансверса за счет ее поворота в грунте.

Отклонение стойки на отметке оси трансверса за счет ее поворота в грунте от нормативной равнодействующей силы, приведенной к высоте 20 м, равно:

$$\varphi_f = \beta Q^H H, \text{ где } Q^H = \frac{M^H}{20}$$

$M^H$ -значение нормативного момента, действующего в стойке на отметке верха фундамента, принимается по таблице 8.

$\beta$ -единичный угол поворота стойки, принимается по таблице 10 в зависимости от модуля деформации грунта и типа закрепления.

Расчет подножников для узкобазовых стоек по деформации является определяющим. В этом случае расчет оснований по прочности не выполняется.

TK  
1973

Инструкция по применению

3-407-98  
Завод № 6

## 2.3 Определение несущей способности закреплений цилиндрических фундаментов при действии сжимающих сил.

Выбор типа закреплений при действии сжимающих сил производится при помощи таблиц.

Несущая способность считается обеспеченной при соблюдении условия:  $N_c'' \leq R_c$ , где  $R_c = T_3 N_p - 1,1 G_f$

$N_c''$  - действующее на фундамент нормативное усилие, принимается по таблице 8.

$R_c$  - несущая способность фундамента при сжатии;  $T_3$  - коэффициент условий работы закрепления см. лист 8;  $N_p$  - предельное значение сжимающего усилия, принимается по таблицам 14÷17;

$G_f$  - масса фундамента.

## 2.4 Определение несущей способности свай.

Определение несущей способности свай следует производить по методике, приведенной для широкобазовых стоек порталов.

## 3 Выбор типа фундаментов под стойки широкобазовых порталов.

### 3.1 Выбор типа фундаментов из свай.

Выбор типа фундаментов при действии вертикальных сил производится при помощи графиков, построенных для следующих грунтов:

глини и суглинков с консистенцией  $B = 1,6; 0,75; 0,6; 0,5; 0,4; 0,3$ ; супесей, пылеватых песков, мелких песков, средней крутизны и крупных песков.

Пески могут быть средней плотности, плотные и рыхлые (см. таблицу 12).

Графики построены для песков средней плотности и свай, погруженных способом забивки.

Несущая способность свай считается обеспеченной при выполнении следующих условий:

а) для сжатых свай  $N_c \leq R_c$ ;  
б) для вырываемых свай  $1,2 N_b \leq R_b$ ,  
где  $N_c, N_b$  - действующие на свай расчетные сжимающие и вырывавшие усилия, принимаются по таблице 9.

$R_c, R_b$  - несущая способность свай при сжатии и вырывании, определяется при помощи графиков, построенных для однородных и неоднородных (слоистых) грунтов.

а) Определение несущей способности оснований свай в однородном грунте.

Несущая способность оснований свай определяется по формулам: при сжатии  $R_c = R'_c T_3 - 1,16 G_f$ .

при вырывании  $R_b = R'_b K_{T_3} + 0,9 G_f$ .

где:  $R'_c$  и  $R'_b$  - значения предельных сжимающих и вырывавших усилий, принимаемые по графикам в зависимости от грунта и характеристик свай,

$G_f$  - масса свай;

$T_3$  - коэффициент условий работы, принятый в зависимости от плотности грунтов.

$T_3 = 0,8$  - для рыхлых песков;

$T_3 = 1,0$  - для песков средней плотности и глини;

$T_3 = 1,2$  - для плотных песков

$K$  - коэффициент, вводится на вырываемые сваи длиной  $l \leq 25 d^2$ , погруженные в глинистые грунты при одновременном действии горизонтальных и вертикальных нагрузок.

При  $\frac{Q}{N_b} \geq 0,12 K = 1,0$ ; при  $\frac{Q}{N_b} = 0,175 K = 0,95$ ; при  $\frac{Q}{N_b} = 0,35 K = 0,80$ , где:

$Q$  - расчетная горизонтальная сила, действующая на откосе берга свай, принимается по таблице 9

(2)  $l$  - длина погружения в грунт части свай без учета заострения.

$a$  - сторона сечения свай.

TK  
1973

Инструкция по применению.

3-407-98

одинаков

*Определение несущей способности свай, погруженных в однородный грунт способом вибропогружения и подмытием грунта, следует производить по методике, приведенной для свай, погруженных в неоднородный грунт.*

*3) Определение несущей способности оснований свай в неоднородном грунте.*

*Несущая способность свай определяется по формулам:*

$$\text{при сжатии: } P_c = (P_g \cdot T_{bl} + P_c^R T_{as}) \cdot T_3 \cdot 1,16 \varphi$$

$$\text{при вырывании: } P_g = P_g' K T_3 T_{bl} + 0,96 \varphi,$$

*где:  $T_{as}$ -коэффициент условий работы свай по острию;*

*$T_{bl}$ -коэффициент условий работы свай по боковой поверхности.*

*Коэффициенты  $T_{as}$  и  $T_{bl}$  принимаются по таблице 18 в зависимости от способа погружения свай;*

*$P_c^R$ -несущая способность свай по ее боковой поверхности, определяется при помощи графиков 68 как сумма разностей несущих способностей свай  $P_g^{hi} - P_g^{lo}$ ,  $P_g^{hi} - P_g^{lo}$ , ...,  $P_g^{hi} - P_g^{lo}$  в каждом из  $n$  слоев грунта, т.е. на участках конца и начала каждого слоя  $P_g = \sum_{i=1}^n (P_g^{hi} - P_g^{lo})$ ;*

*$P_c^R$ -несущая способность основания свай по ее острию,*

*определяется по графикам 5,7.*

*3.2. Определение несущей способности фундаментов из подножников.*

*Основания фундаментов рассчитываются на вырывание, сжатие и действие горизонтальных сил по методу предельных состояний.*

*Расчет произведен на ЭВМ для сухих и обводненных грунтов с уровнем грунтовых вод на отм. -1,0 м.*

*По данным наблюдений, приведенным в табл. 19÷28, грунтовым условиям и действующим на подножники усилиям, следует произвести выбор типа фундаментов.*

*Несущая способность выбранного фундамента считается обеспеченной при выполнении следующих условий:*

$$N_g^R \leq N_p^{L(n)}; Q_{xy}^R \leq Q_p^{L(n)}; Q_{x,y}^H \leq Q_{q,exp}^{L(n)}; Q_{x,y}^H \leq Q_{q,sch}^{L(n)}; N_g^H \leq N_q^{L(n)}$$

*Условные обозначения см. лист 40*

*Значения, полученные при расчете оснований фундаментов в прямой части, принимаются по табл. 19÷28, в левой-по табл. 8*

*3.3. Определение несущей способности цилиндрических фундаментов при вырывании.*

*Выбор типа закреплений цилиндрических фундаментов производится при помощи таблицы 13.*

*Несущая способность фундаментов считается обеспеченной при соблюдении условия:*

$$N_g^R \leq P_g, \text{ где } P_g = T_g T_f R'^b + 0,96 \varphi$$

*$N_g^R$ -действующее на фундамент расчетное вырывющее усилие, принимается по табл. 8.*

*$P_g$ -несущая способность фундамента при вырывании*

*$R'^b$ -предельное значение вырывющего усилия, принимается по таблице 13.*

*$T_g$ -коэффициент условий работы закрепления см. лист 8*

*$T_f$ -коэффициент условий работы, зависящий от способа образования котлована.*

*Для сверленых котлованов принимается:*

*$T_f = 0,6$  для песчаных грунтов;*

*$T_f = 0,5$  для глинистых грунтов.*

*Определение несущей способности цилиндрических фундаментов под широкобазовые стойки портатов при сжатии следует производить по методике, приведенной для чугунных стоек.*

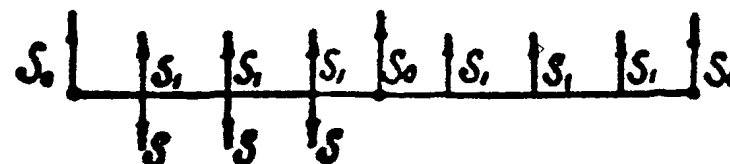
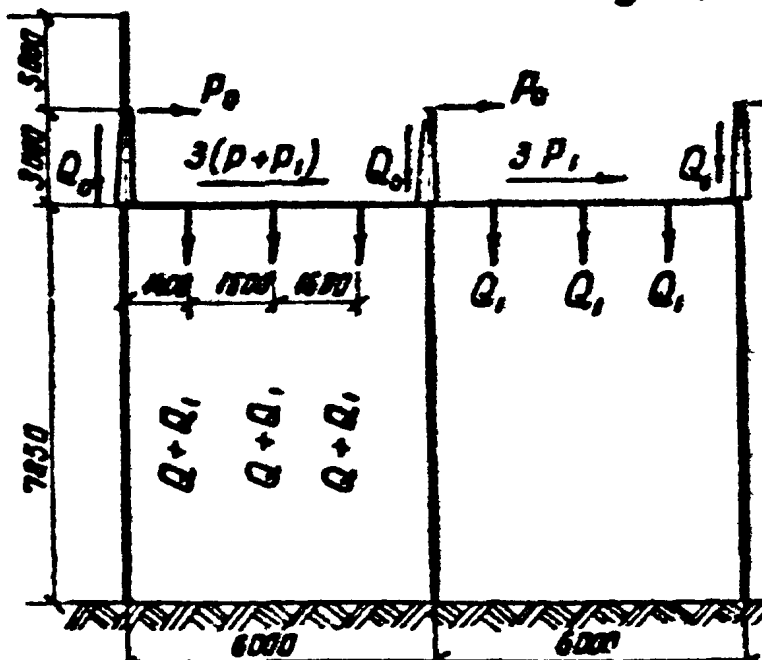
TK  
1973

Инструкция по применению

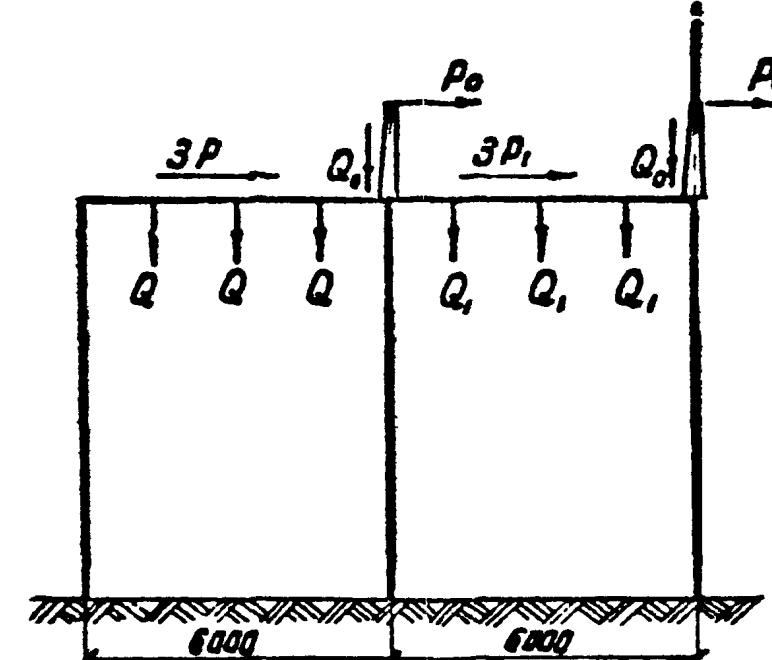
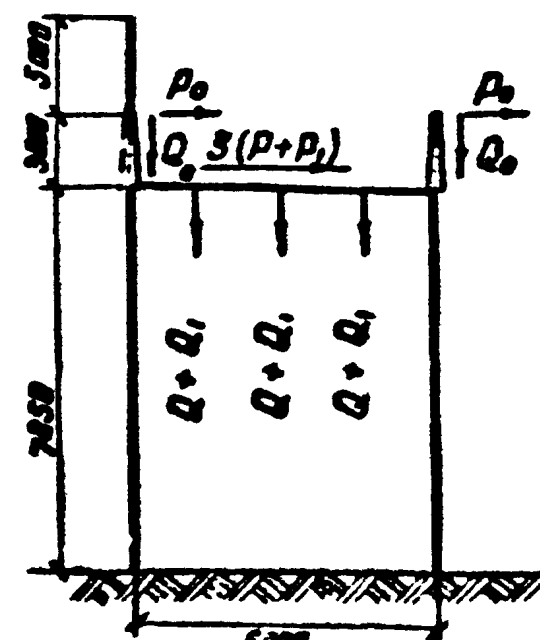
3-407-98

Лист 10

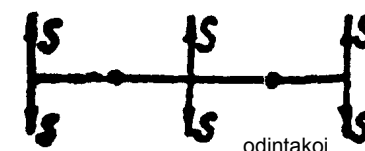
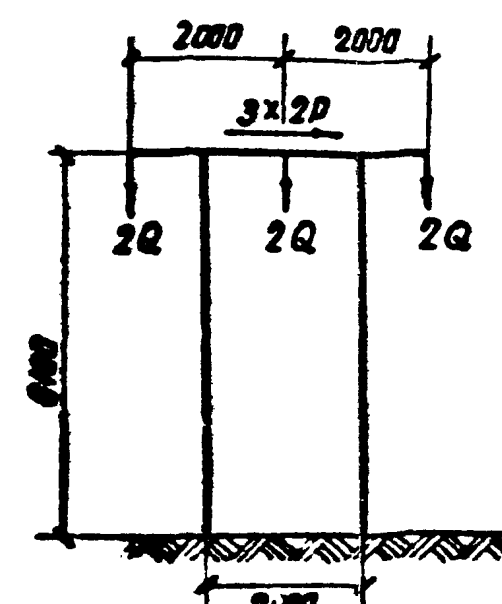
### Ячейковые двухпролетные порталы



### Ячейковый однопролетный портал



### Шинный портал



### Примечания:

1. Приведенные в табл. 2.3 нагрузки определяются на ЭВМ в соответствии с ПУЭ-60 применительно к типу проекту ОРУ 35 кВ (на унифицированных конструкциях).<sup>1)</sup>
2. Значения нагрузок являются максимальными для соответствующих ОРУ, указанных в табл. 2.3, и пред назначаются для расчета оснований закреплений схем в грунте в различных климатических условиях.
3. Конструкции порталов рассчитаны на максимальные нагрузки в южном и южном районах в соответствии с расчетными схемами порталов.
4. При расчете строительных конструкций учтена возможность:
  - а) установки тросоставки на любой схеме ячейковых порталов;
  - б) приложения вертикальной ремонтно-эксплуатационной нагрузки Р=200 кг на траверсе на любой схеме;
  - в) действия нагрузок S<sub>0</sub> и S<sub>1</sub> под углом ≤ 20° в обе стороны от перпендикуляра к траверсе;
  - г) увеличения вертикальных и горизонтальных нагрузок от шиноводки при монтаже до значения, равного удвоенному весу монтируемой фазы, а также увеличения тяжести шиноводки при монтаже за счет перегородки прохода на 10%.
  - д) одностороннего приложения нагрузки от тяжести шиноводки (S).
5. Условные обозначения см. лист 12.

Схемы порталов ОРУ 35 кВ

TK  
1973

3-407-98

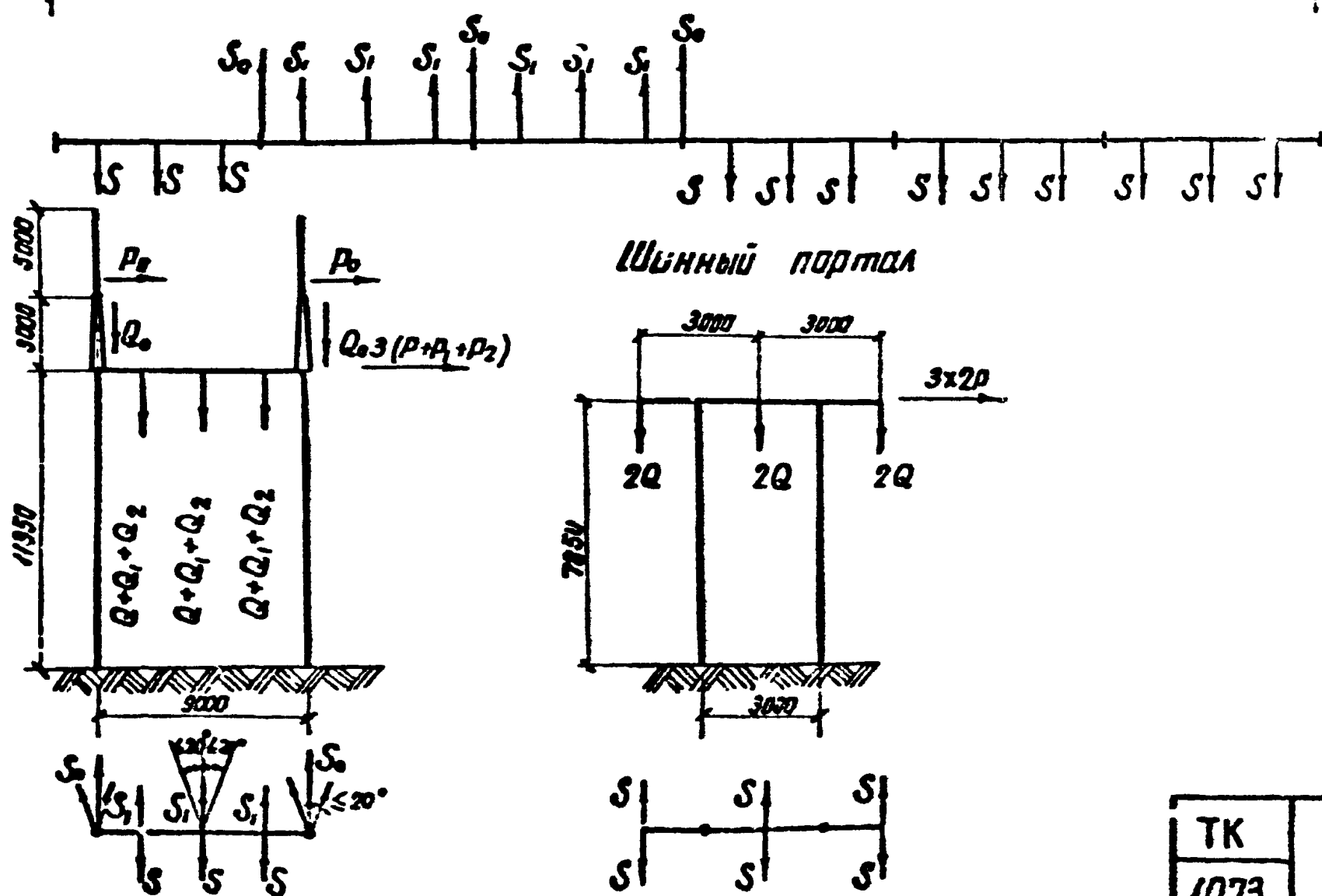
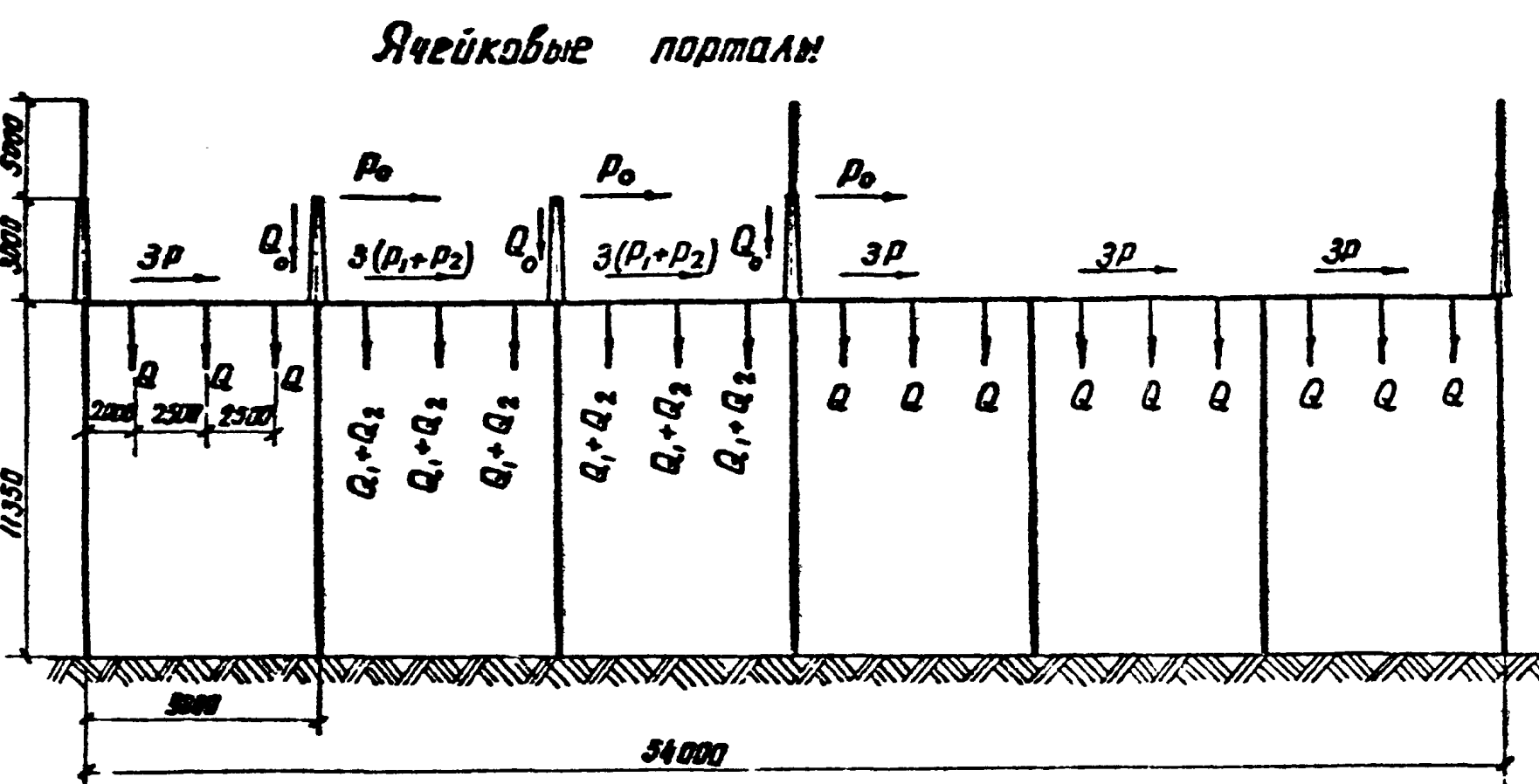
Лист 1 из 11

Ячейковые порталы														Таблица 2								
Обзор	НН условной группы	I группа нагрузок					II группа нагрузок					III группа нагрузок										
	Область применения и параметры ошиновки	ОРУ с упрощенным схеман или со сборными шинами на стороне высшего напряжения (ВН) с ошиновкой АСО-185 и пролетом $\ell = 23\text{м}$					ОРУ со сборными шинами на стороне СН и НН п/ст и пролетом $\ell = 23\text{м}$					$2\text{ACO}-500$										
	Значения токов нагрузок в различных режимах	Монтажн. режим $U=10\text{kV}$ $Q=6,25\text{kvar}$	Инжир.реж. $U=10\text{kV}$ $Q=50\text{kvar}$	II нормальный режим					Монтажн. режим $U=10\text{kV}$ $Q=6,25\text{kvar}$	Инжир.реж. $U=10\text{kV}$ $Q=50\text{kvar}$	II нормальный режим											
	Напряжение на различных нагрузках	$I_{\text{ток}}=300\text{A}$	$I_{\text{ток}}=300\text{A}$	$I_{\text{ток}}=300\text{A}$	$I_{\text{ток}}=300\text{A}$	$I_{\text{ток}}=300\text{A}$	$I_{\text{ток}}=300\text{A}$	$I_{\text{ток}}=300\text{A}$	$I_{\text{ток}}=300\text{A}$	$I_{\text{ток}}=300\text{A}$	$I_{\text{ток}}=300\text{A}$	$I_{\text{ток}}=300\text{A}$	$I_{\text{ток}}=300\text{A}$	$I_{\text{ток}}=300\text{A}$	$I_{\text{ток}}=300\text{A}$							
	S Тяжелие ошиновки, кгс	110	150	200	250	350	300	350	400	650	700	350	440	540	660	810						
	Q Масса половины пролета провода ошиновки и гирлянды, кг	45	45	65	80	95	65	65	90	110	125	110	110	160	190	220						
	R Давление ветра на половину пролета провода и гирлянды	6	28	12	14	15	10	25	14	15	27	10	48	25	26	50						
	S <sub>0</sub> Тяжение проводов ВЛ и троса, кгс	100	50	120	60	160	80	210	100	250	110	180	100	250	130	300	140	350	150	400	150	
	Q <sub>0</sub> Масса половины пролета провода ВЛ и троса, кг	80	10	80	10	120	20	140	30	160	40	80	10	120	20	140	30	160	40	20	30	40
	R <sub>0</sub> Давление ветра на половину пролета провода ВЛ и троса, кгс	10	2	30	10	15	10	20	15	25	20	10	15	10	20	15	25	20	10	15	25	20

## Шинные порталы

Таблица 3

Обзор	НН условной группы	I группа нагрузок					II группа нагрузок					III группа нагрузок					
	Область применения и параметры ошиновки	ОРУ с упрощенным схеман или со сборными шинами на стороне высшего напряжения (ВН) с ошиновкой АСО-300 и пролетом $\ell = 18\text{м}$					ОРУ со сборными шинами на стороне СН и НН.					$2\text{ACO}-500 \quad \ell = 18\text{м}$					
	Значения токов нагрузок в различных режимах	Монтажн. режим $U=10\text{kV}$ $Q=6,25\text{kvar}$	Инжир.реж. $U=10\text{kV}$ $Q=50\text{kvar}$	II нормальный режим					Монтажн. режим $U=10\text{kV}$ $Q=6,25\text{kvar}$	Инжир.реж. $U=10\text{kV}$ $Q=50\text{kvar}$	II нормальный режим						
	Напряжение на различных нагрузках	$I_{\text{ток}}=300\text{A}$	$I_{\text{ток}}=300\text{A}$	$I_{\text{ток}}=300\text{A}$	$I_{\text{ток}}=300\text{A}$	$I_{\text{ток}}=300\text{A}$	$I_{\text{ток}}=300\text{A}$	$I_{\text{ток}}=300\text{A}$	$I_{\text{ток}}=300\text{A}$	$I_{\text{ток}}=300\text{A}$	$I_{\text{ток}}=300\text{A}$	$I_{\text{ток}}=300\text{A}$	$I_{\text{ток}}=300\text{A}$	$I_{\text{ток}}=300\text{A}$	$I_{\text{ток}}=300\text{A}$		
	S Тяжелие ошиновки, кгс	180	250	300	380	480	360	470	555	695	845	300	320	390	395	590	
	Q Масса половины пролета провода ошиновки п/ст и гирлянды, кг	110	110	160	200	240	110	110	160	190	220	110	140	160	160	220	
	R Давление ветра на половину пролета провода ошиновки п/ст и гирлянды, кгс	10	47	22	27	32	10	60	30	40	50	10	50	25	25	35	
	Примечание. В осенние нагрузки, приведенные на расчетных схемах порталов (см. лист 17), указывается индекс, соответствующий группе нагрузок.																
	TK 1973								Таблицы нормативных нагрузок на порталы ОРУ 35 кВ								3-407-98
	Безл. лист 12																Безл. лист 12

**Примечания:**

- Приложенное в табл. 4.5 нагрузки определены исходя из соответствия с ПУЭ-66 применительно к типовому проекту ОРУ 110кВ (на унифицированных конструкциях) и
- Значения нагрузок являются максимальными для соответствующих ОРУ, указанных в табл. 4.5 и предназначаются для расчета основных функционентов в различных калиматических условиях.
- Конструкции порталов рассчитаны на максимальные нагрузки в юго-западном и южном ветровом районах в соответствии с расчетными схемами и табл. 4.5. Применение ячейковых порталов легкого типа (с узкодиаметральными стойками) для ОРУ выполненных на стороне среднего и нижнего напряжения возможно при условии обеспечения допускаемых деформаций стоек.
- При расчете строительных конструкций учитена возможность:
  - Подвески ячейек, выполненных одним проводом АСО-500, трех В.Ч. заградителей типа РЗ-1200;
  - Установки тростостоечного молниевыводов на любой стойке ячейковых порталов;
  - Приложения вертикальной ремонтно-эксплуатационной нагрузки Р=200 кг на траверсе блоковой точке;
  - Действия нагрузок  $S_1$  и  $S_0$  под углом  $\leq 20^\circ$  в обе стороны от перпендикуляра к траверсе;
  - Увеличения вертикальных и горизонтальных нагрузок от ошиновки и оборудования при их монтаже до значения, равного установленному весу монтируемой фазы или заградителя, а также увеличения падения ошиновки при монтаже за счет перетяжки провода на 10%.
  - Одностороннего приложения нагрузок от тяжения ошиновки ( $S$ )
- Условные обозначения см. лист 14

ТК
1973

Схемы порталов ОРУ 110кВ

3-407-98

закуска лист  
1 13

## Ячейковые порталы

Таблица 4

15

№ условной группы	Обозначение	I группа нагрузок				II группа нагрузок				III группа нагрузок			
		ОРУ с упрощенным сечением или со сборными шинами на стержне высшего напряжения (ВН) с рифленкой R=300 и пролетом L=21 и 28 м.				ОРУ со сборными шинами на стержне СН и НН при ε = 20 н				АСО-500			
		Значение всех нагрузок в различных режимах	Контактн. режим У=10 н/с R=250 нм C=6	Частичн. режим У=15 н/с R=250 нм C=6	И нормальный режим	Контактн. режим У=10 н/с R=250 нм C=0	Частичн. режим У=15 н/с R=250 нм C=0	И нормальный режим	Контактн. режим У=15 н/с R=250 нм C=6	Частичн. режим У=15 н/с R=250 нм C=6	И нормальный режим		
	Наименование нагрузок		Г-р-н-д запад запад	Г-р-н-п запад запад		Г-р-н-д запад запад	Г-р-н-п запад запад		Г-р-н-д запад запад	Г-р-н-п запад запад			
S	Масса ошиновки, кгс	160	210	210	270	340	200	240	300	350	430	360	450
Q	Масса половины пролета провода ошиновки и гирлянды, кг	80	80	110	140	160	100	100	140	160	185	160	225
Q <sub>2</sub>	Масса загородителья и гирлянды, кг	385	385	555	640	725	385	385	555	640	725	—	—
P	Давление ветра на пологу провода ошиновки и гирлянды, кгс	4	35	20	20	25	5	40	20	25	30	10	80
P <sub>2</sub>	Давление загородителья и гирлянды, кгс	13	35	25	30	35	13	35	25	30	35	—	—
S <sub>1</sub> /S <sub>2</sub>	Масса половины пролета ВЛ и троса, кгс	150 130	210 150	300 150	325 165	350 180	150 130	210 150	300 150	325 165	350 180	150 130	210 150
Q <sub>1</sub> /Q <sub>2</sub>	Масса половины пролета провода ВЛ и троса, кг	120 20	120 20	180 45	210 55	235 65	120 20	120 20	180 45	210 55	235 65	120 20	120 20
Δ/P <sub>2</sub>	Давление ветра на половину профиля провода ВЛ и троса, кгс	8 5	40 20	20 15	20 15	25 20	8 5	40 20	15 10	20 15	25 20	8 5	40 20

## Шинные порталы

Таблица 5

15

№ условной группы	Обозначение	I группа нагрузок				II группа нагрузок				III группа нагрузок			
		ОРУ с упрощенным сечением или со сборными шинами на стержне высшего напряжения (ВН) с цапфой АСО-500 и пролетом ε = 27 м				ОРУ со сборными шинами на стержне СН и НН с ошиновкой 2 АСО-500				ε = 27 м			
		Значение всех нагрузок в различных режимах	Контактн. режим У=10 н/с R=250 нм C=6	Частичн. режим У=15 н/с R=250 нм C=6	И нормальный режим	Контактн. режим У=10 н/с R=250 нм C=0	Частичн. режим У=15 н/с R=250 нм C=0	И нормальный режим	Контактн. режим У=15 н/с R=250 нм C=6	Частичн. режим У=15 н/с R=250 нм C=6	И нормальный режим		
	Наименование нагрузок		Г-р-н-д запад запад	Г-р-н-п запад запад		Г-р-н-д запад запад	Г-р-н-п запад запад		Г-р-н-д запад запад	Г-р-н-п запад запад			
S	Масса ошиновки, кгс	200	270	320	410	520	520	630	815	1000	1230	330	420
Q	Масса половины пролета провода ошиновки п/ст и гирлянды, кг	80	80	120	140	160	170	170	250	300	350	140	140
P	Давление ветра на половину пролета провода ошиновки п/ст и гирлянды, кгс	5	35	20	22	25	12	100	45	50	55	10	60

## Примечание.

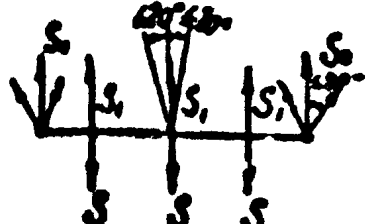
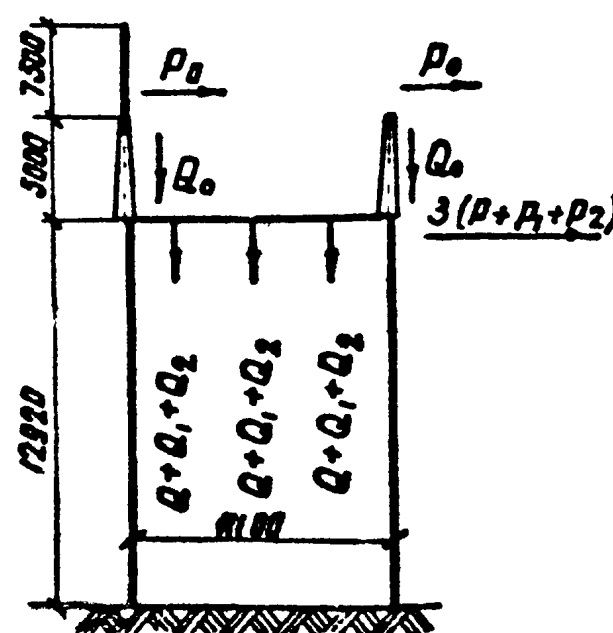
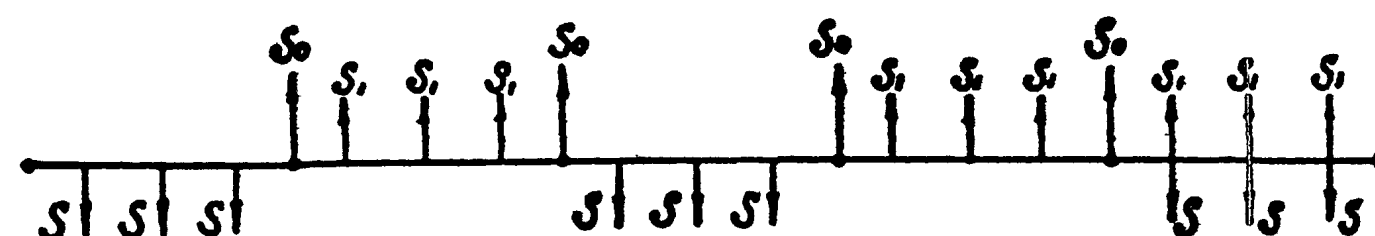
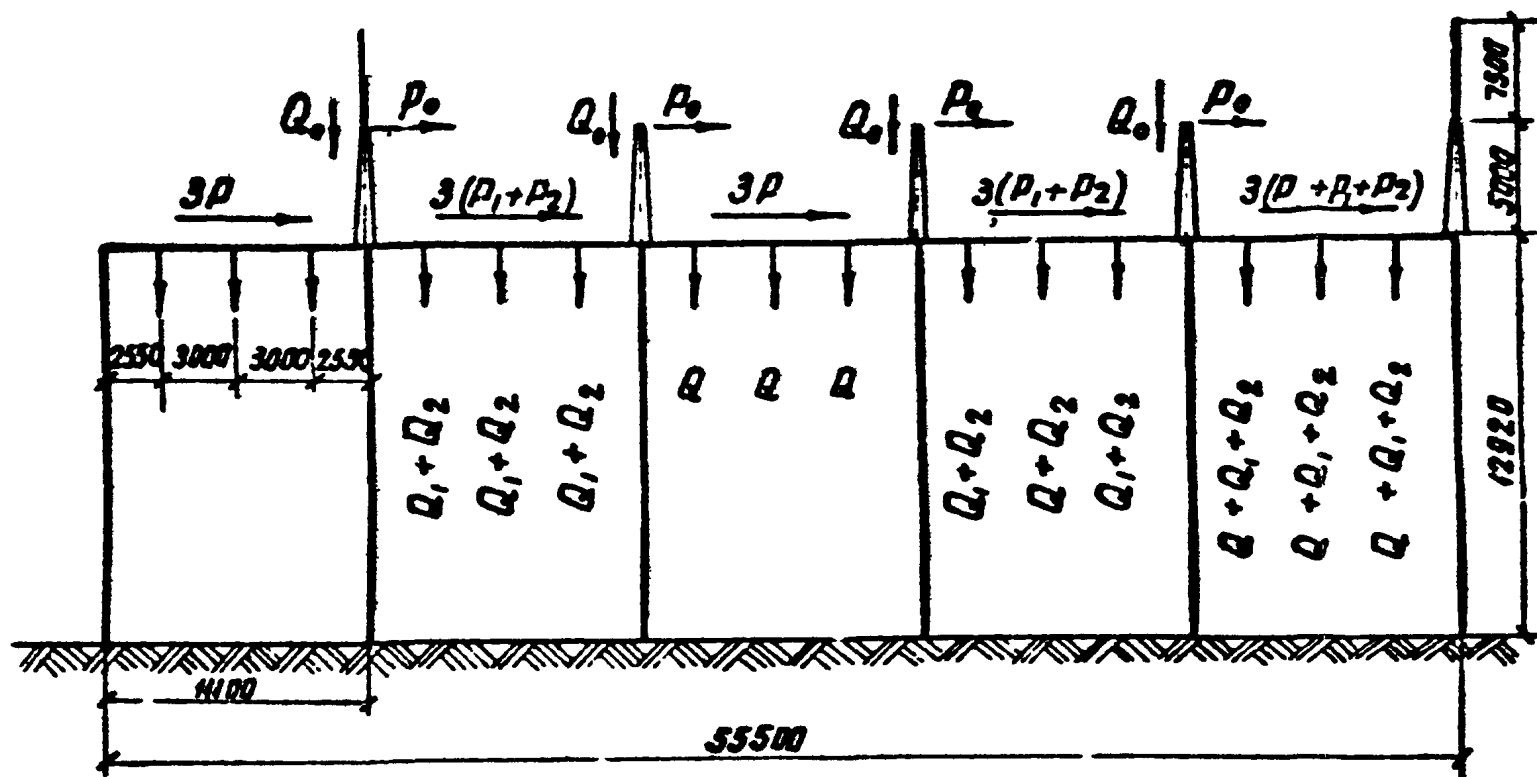
В обозначениях нагрузок, приведенных на расчетных схемах порталов, указывается индекс, соответствующий группе нагрузок

TK  
1973

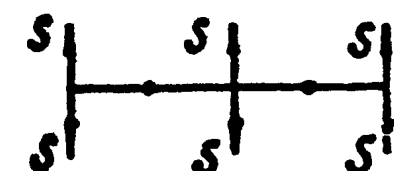
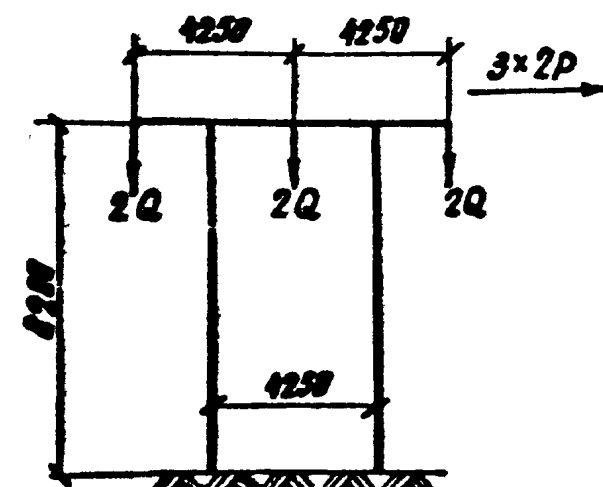
Таблицы нормативных нагрузок на порталы ОРУ 110 кВ

3-407-98  
14

### Ячейковые порталы



### Шинный портал



### Примечания:

1. Приведенные в табл. 6.7 нагрузки определены на ЭВМ в соответствии с ПЧЭ-66 применительно к типовому проекту ОРУ 150кВ!
2. Значения нагрузок являются максимальными для соответствующих ОРУ, указанных в табл. 6.7 и предназначаются для расчета основных закреплений стоек в грунте в различных климатических условиях.
3. Конструкции порталов рассчитаны на максимальные нагрузки в южном и юго-западном районах в соответствии с расчетными схемами.
4. При расчете строительных конструкций учтена возможность
  - а) подвески в ячейках, выполненных одним проводом РСО-5С3, 3шт. высокочастотных заградителей типа РЗ-1000;
  - б) установки тросостоеек и молниеотводов на любой стойке ячейковых порталов;
  - в) приложения вертикальной ремонтно-эксплуатационной нагрузки  $P_r = 200\text{ кг}$  на траверсе в любой точке;
  - г) действия нагрузок  $S_1$  и  $S_0$  под углом  $\leq 20^\circ$  в обе стороны от перпендикуляра к траверсе;
  - д) увеличения вертикальных и горизонтальных нагрузок от ошиновки и оборудования при монтаже до значения, равного удвоенному весу контрифужной фазы или заземления, а также увеличения тяжести ошиновки при монтаже за счет перетяжки провода на 10%;
  - е) одностороннего приложения нагрузок от тяжести ошиновки ( $S$ ).
5. Условные обозначения см. лист 15.

TK  
1973

Схемы порталов ОРУ 150кВ

3-407-98

Взглск. лист

1

## Ячеековый портал

Таблица 6

№ условной группы	I группа нагрузок						II группа нагрузок						
	ОРУ с соединенными стяжками и со свободными шинами с ошиновкой АСО-500 и пролетом $\ell = 34,5\text{м}$			ОРУ со сборными шинами на стороне СИИИ с ошиновкой 2АСО-500 при $\ell = 34,5\text{м}$									
Обозначение	Значения токов нагрузок в различных режимах												
	Напряжение	Группа	Режим	ГР-Н ГЭ	ГР-Н по	ГР-Н по	Группа	ГР-Н ГЭ	ГР-Н по	ГР-Н по			
S	Тяжелые ошиновки, кгс	410	400	620	680	750	480	610	745	855	900		
Q	Масса половины пролета провода ошиновки и гирлянды, кг	120	120	165	190	220	150	190	270	315	370		
Q <sub>2</sub>	Масса заземителя РЗ-1000 и гирлянды, кг	380	380	550	610	730	390	390	560	640	730		
P	Давление ветра на половину пролета провода ошиновки и гирлянды, кгс	7	35	15	18	20	15	70	30	35	40		
P <sub>2</sub>	Тоже, но заземителя и гирлянды:	14	87	31	33	35	14	87	31	33	35		
S <sub>2</sub>	Тяжелые провода ВЛ и троса, кгс	175 145	230 165	300 165	350 180	400 260	175 145	230 165	300 155	350 180	400 260		
Q <sub>1</sub>	Масса половины пролета провода ВЛ и троса, кг	135 20	135 20	175 35	205 50	240 65	135 20	135 20	175 35	205 50	240 65		
P <sub>1</sub>	Давление ветра на половину пролета провода ВЛ и троса, кгс	10 5	45 29	20 10	25 15	30 20	10 5	45 20	20 10	25 15	30 20		

Примечание.

В обозначенных нагрузках, приведенных на расчетные схемы (см. лист 17), указывается имена, соответствующий группе нагрузок.

## Шинный портал

Таблица 7

№ условной группы	I группа нагрузок						II группа нагрузок				
	ОРУ с упругими стяжками и со свободными шинами на стороне СИИИ с ошиновкой АСО-500 и пролетом $\ell = 22,2\text{м}$			ОРУ со сборными шинами на стороне СИИИ с ошиновкой 2АСО-500 и пролетом $\ell = 22,2\text{м}$							
Обозначение	Значения токов нагрузок в различных режимах										
	Напряжение	Группа	Режим	ГР-Н ГЭ	ГР-Н по	ГР-Н по	Группа	ГР-Н ГЭ	ГР-Н по	ГР-Н по	
S	Тяжелые ошиновки, кгс	280	280	410	430	470	460	580	700	760	920
Q	Масса половины пролета провода ошиновки постоянной и гирлянды, кг	110	110	150	170	200	165	185	235	275	320
P	Давление ветра на половину пролета провода ошиновки постоянной и гирлянды, кгс	5	35	15	15	20	10	80	30	35	40

TK

1973

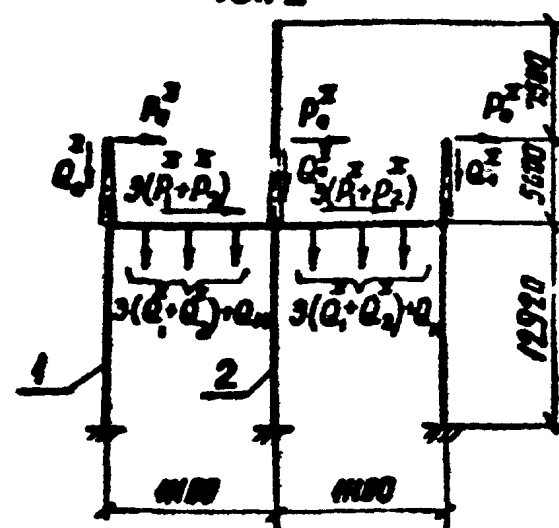
Таблицы нормативных нагрузок на порталы ОРУ 150 кВ

3-407-98

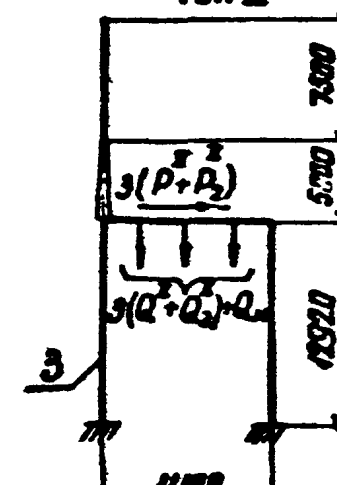
лист 15

Ячейковый линейный портал 500кВ

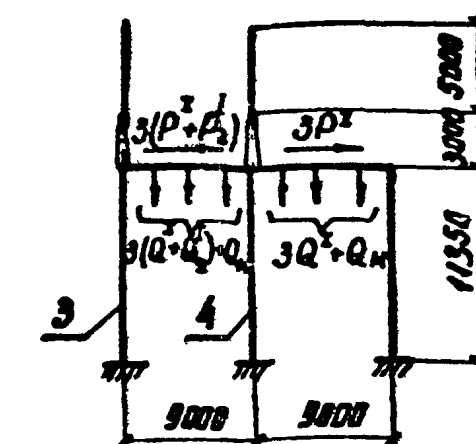
тип I

Ячейковый портал 150кВ

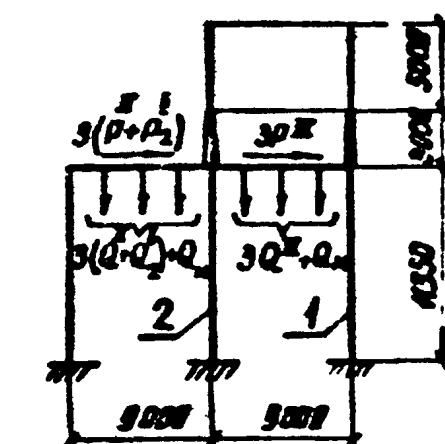
тип II

Ячейковый портал 110кВ

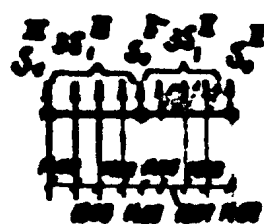
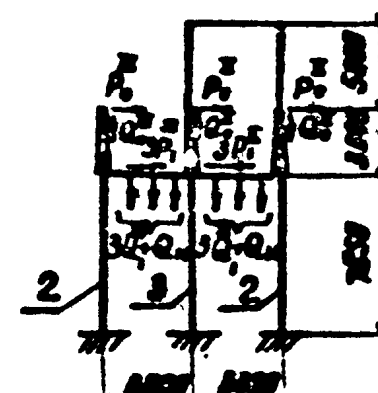
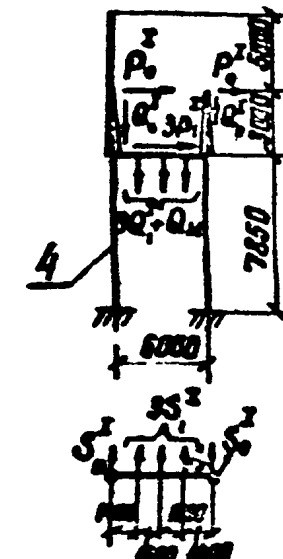
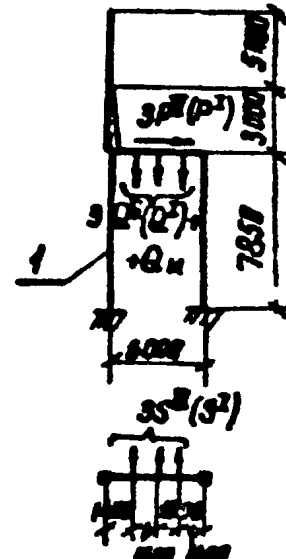
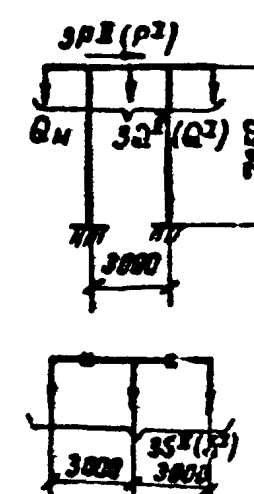
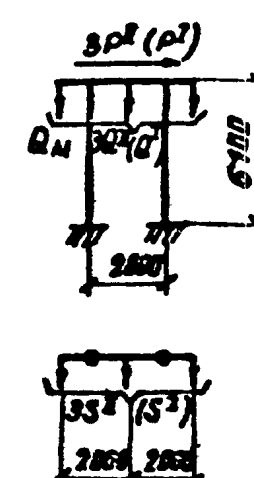
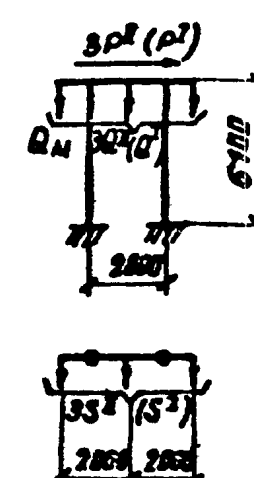
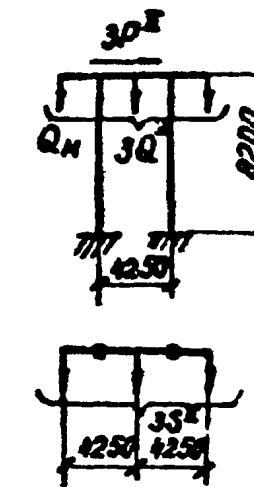
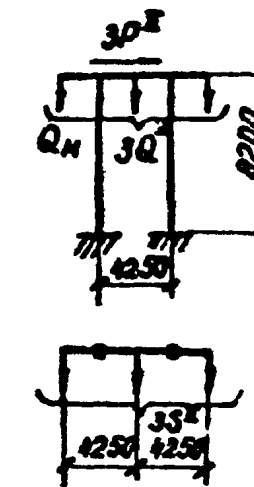
тип I (легкий)

Ячейковый портал 110кВ

тип II (тяжелый)

Ячейковый линейный

портал 35кВ тип III (тяжелый)

Ячейковый портал 35кВ  
тип II (тяжелый)  
тип I (легкий)Ячейковый  
линейный  
портал 35 кВ  
тип IV (легкий)Шинный  
тип II (тяжелый)  
тип I (легкий)Шинный  
тип I (легкий)Шинный  
тип I  
тип IIШинный  
тип IПримечания:

- На данном листе приведены расчетные схемы порталов, принятые при определении действующих максимальных нагрузок на функциональные (см. листы 18+21)
- Значение нагрузок на порталы приведены в таблицах 2÷7

TK  
1973Расчетные схемы порталов.  
ОРУ 35 - 150кВ3-407-98  
Блокнот  
1 17

Таблица 8

19

102774-79

Усилия расч/норм.	Шинный портал 35кВ								Балочный портал 35кВ								Ячеековый линейный портал 35кВ								
	Тип II (тяжелый)				Тип I (легкий)				Тип II (тяжелый) стойка 1				Тип I (легкий) стойка 1,2				Тип III (тяжелый) стойка 3				Тип IV (легкий) стойка 4				
	III район по ветру	I район по гололеду	II район по ветру	IV район по гололеду	III район по ветру	II район по гололеду	III район по ветру	IV район по гололеду	III район по ветру	II район по гололеду	III район по ветру	IV район по ветру	III район по ветру	II район по ветру	III район по ветру	IV район по ветру	III район по ветру	II район по ветру	III район по ветру	IV район по ветру	III район по ветру	II район по ветру	III район по ветру	IV район по ветру	
Nс, тс	0,9 0,8	1,1 0,9	1,15 0,9	1,2 1,0	0,9 0,8	1,1 0,9	1,2 1,0	1,3 1,0	1,1 0,9	1,2 1,0	1,3 1,1	1,4 1,1	1,0 0,95	1,0 0,9	1,1 0,9	1,1 0,9	1,4 1,3	1,7 1,4	1,8 1,4	1,9 1,5	1,3 1,1	1,4 1,1	1,4 1,1	1,5 1,2	1,5 1,3
N8, тс	—	—	—	—	—	—	—	—	—	—	—	—	—	—	—	—	—	—	—	—	—	—	—	—	—
Qn, тс	0,3 0,2	0,1 0,08	0,1 0,07	0,2 0,14	0,2 0,16	0,1 0,08	0,1 0,07	0,1 0,07	0,5 0,4	0,1 0,08	0,2 0,14	0,2 0,14	0,4 0,3	0,4 0,3	0,1 0,08	0,1 0,07	0,1 0,07	0,6 0,5	0,3 0,2	0,4 0,3	0,4 0,3	0,5 0,4	0,2 0,1	0,2 0,1	0,2 0,1
Qz, тс	1,1 0,9	1,1 0,85	1,5 1,1	1,8 1,3	0,7 0,6	0,6 0,5	0,8 0,6	1,0 0,7	1,3 1,04	1,1 0,85	1,4 1,0	1,7 1,2	0,7 0,6	0,5 0,4	0,5 0,4	0,8 0,6	1,7 1,4	1,4 1,2	1,7 1,4	1,9 1,4	0,8 0,6	0,5 0,4	0,5 0,4	0,8 0,5	0,8 0,5
Mn, тсм	1,8 0,8	0,5 2,4	0,55 0,5	0,8 0,6	0,9 0,7	0,4 0,3	0,5 0,4	0,5 0,4	2,5 2,1	0,8 0,6	1,0 0,7	1,3 1,2	2,4 1,9	0,6 0,5	0,6 0,5	0,8 0,6	3,5 2,8	1,8 1,4	2,5 2,1	2,9 2,1	2,5 2,2	1,0 0,8	0,8 0,6	1,0 0,8	2,7 2,5
Mz, тсм	5,6 4,5	6,2 4,8	8,3 5,9	10,1 7,2	3,3 2,6	3,4 2,5	4,5 3,3	5,7 4,1	8,6 6,9	8,0 6,2	10,3 7,4	12,7 9,1	4,5 3,6	3,3 2,5	4,3 3,1	5,9 4,2	11,8 9,5	10,4 8,0	12,8 9,2	14,3 10,2	4,9 3,9	3,6 2,8	5,1 3,6	5,8 4,2	
fст, см	0,9 0,9	1,0 1,0	1,2 1,2	1,5 1,5	0,53 0,53	0,53 0,53	0,66 0,66	0,53 0,53	2,4 2,4	2,2 2,2	2,6 2,6	3,0 3,0	1,25 1,25	0,9 0,9	1,05 1,05	2,1 2,1	3,3 3,3	2,3 2,3	3,1 3,1	3,6 3,6	1,0 1,0	1,1 1,1	1,0 1,0	1,4 1,4	

Усилия расч/норм.	Шинный портал 40кВ							
	Тип II (тяжелый)				Тип I (легкий)			
Nс, т	1,1 1,0	1,4 1,1	1,5 1,2	1,7 1,25	1,0 0,85	1,1 0,5	1,2 0,9	1,2 1,0
N8, т	—	—	—	—	—	—	—	—
Qn, тс	0,4 0,3	0,2 0,15	0,2 0,14	0,2 0,14	0,3 0,2	0,1 0,08	0,1 0,07	0,1 0,07
Qz, тс	1,7 1,4	1,8 1,2	2,1 1,5	2,6 1,9	0,8 0,6	0,6 0,5	0,9 0,85	1,1 0,8
Mn, тсм	2,1 1,7	1,1 0,85	1,1 0,8	4,2 3,9	1,5 1,2	0,7 0,5	0,7 0,5	0,8 0,6
Mz, тсм	11,6 9,3	11,8 10,1	15,7 11,2	19,2 13,7	5,2 4,2	4,6 9,5	6,4 4,5	8,2 5,9
fст, см	3,2 3,2	3,2 3,2	3,87 3,87	4,75 4,75	1,45 1,45	1,2 1,2	1,6 1,6	2,1 2,1

## Примечания:

- Расчетные схемы порталов, принятые при определении усилий, см. лист 17
- Схемы усилий и условные обозначения см. лист 19
- Значения усилий, приведенные в числителе, даки от расчетных нагрузок, в знаменателе - от нормативных нагрузок

TK  
1973

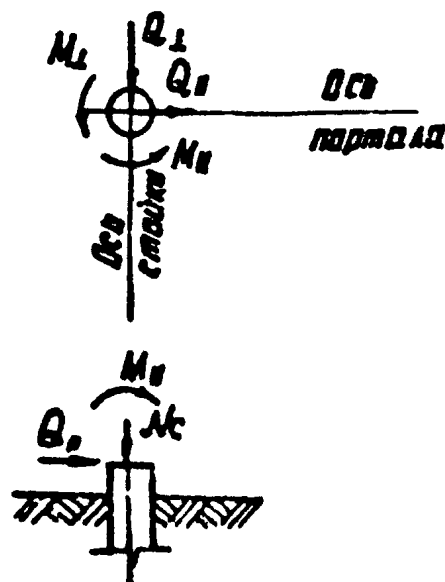
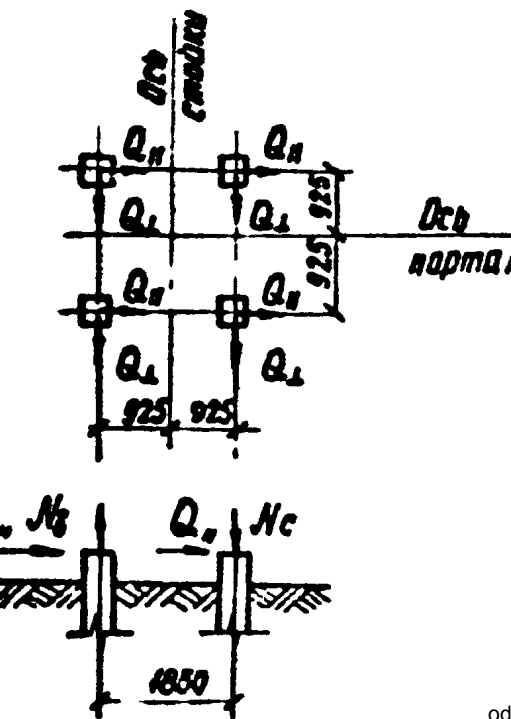
Таблицы усилий на фундаменты

з-407-98  
лист 1 :8

Таблица 8 (продолжение)

20

УСИЛИЯ расч/норм.	ЯЧЕЙКОВЫЙ ПОРТАЛ 40 кВ												150 кВ															
	Тип II (тяжелый)						Тип I (легкий)						Щинный портал тип I						Ячеековый портал тип II стойка 3.1			Ячеековый портал тип I, стойка 2						
	Стойка 2			Стойка 1			Стойка 4			Стойка 3			Стойка 2			Стойка 1			Стойка 4			Стойка 3						
	III район по бетону глинистому	IV район по бетону глинистому	V район по бетону глинистому	VI район по бетону глинистому	II район по бетону глинистому	III район по бетону глинистому	IV район по бетону глинистому	V район по бетону глинистому	VI район по бетону глинистому	III район по бетону глинистому	IV район по бетону глинистому	V район по бетону глинистому																
$N_c$ , тс	7,9 6,3	6,7 5,2	7,8 5,6	3,9 6,4	5,7 4,6	4,5 3,5	5,0 3,6	5,8 4,2	2,5 2,2	3,1 2,5	3,6 2,8	4,0 2,0	2,2 2,0	2,8 2,3	3,2 2,5	3,5 2,6	1,2 1,0	1,4 1,1	1,5 1,2	1,7 1,3	9,5 7,6	7,8 5,4	8,3 5,9	8,5 6,1	11,2 8,8	8,1 6,2	3,6 6,9	16,9 7,8
$N_b$ , тс	6,5 5,2	4,8 3,7	5,8 4,2	6,7 4,8	4,9 3,9	3,5 2,7	4,0 2,9	4,7 3,4	— —	— —	— —	— —	— —	— —	— —	— —	— —	— —	— —	8,1 6,5	5,2 4,0	6,5 4,6	6,6 4,7	9,2 7,4	5,6 4,3	6,8 4,9	7,5 5,4	
$Q_h$ , тс	0,2 0,16	0,05 0,04	0,09 0,05	0,04 0,04	0,18 0,14	0,08 0,06	0,08 0,06	0,09 0,06	0,26 0,15	0,2 0,15	0,2 0,14	0,2 0,15	0,6 0,5	0,2 0,15	0,2 0,14	0,4 0,3	0,1 0,08	0,2 0,14	0,2 0,14	0,22 0,2	0,03 0,06	0,08 0,05	0,09 0,05	0,3 0,2	0,1 0,06	0,1 0,07	0,1 0,07	
$Q_\perp$ , тс	0,5 0,4	0,45 0,35	0,5 0,36	0,6 0,4	0,4 0,3	0,3 0,2	0,3 0,25	0,4 0,3	1,5 1,2	1,0 0,9	1,3 1,1	1,5 1,1	1,0 0,8	0,55 0,4	0,7 0,5	0,9 0,65	1,4 1,1	1,4 1,1	1,6 1,4	1,9 0,4	0,5 0,3	0,4 0,4	0,5 0,4	0,5 0,4	0,5 0,4	0,5 0,4	0,5 0,4	
$M_h$ , тсм	— —	— —	— —	— —	— —	— —	— —	— —	— —	4,8 3,8	1,6 1,2	1,6 1,1	1,8 1,3	4,7 3,8	1,6 1,5	1,6 1,1	4,8 3,8	1,9 1,5	0,8 0,6	0,9 0,5	1,0 0,7	— —	— —	— —	— —	— —	— —	
$M_\perp$ , тсм	— —	— —	— —	— —	— —	— —	— —	— —	— —	4,5 4,5	10,2 7,9	13,5 9,7	15,8 12,0	9,0 7,2	5,6 4,3	7,4 5,3	9,0 6,4	9,5 1,6	11,1 7,8	11,9 8,5	14,4 10,3	— —	— —	— —	— —	— —	— —	
$\delta_{ct}$ , см	3,6 3,2	3,5 3,95	3,95 2,4	2,95 2,1	2,1 2,54	2,1 6,7	2,1 4,6	2,1 5,6	7,0 7,0	4,1 4,1	2,6 2,6	3,1 3,1	2,6 2,6	2,7 2,7	2,7 2,7	3,1 3,1	3,5 3,5	5,8 5,8	4,8 4,8	5,4 5,4	5,6 5,6	5,0 5,0	5,6 5,6	5,0 5,0	6,35			

Схема нагрузок  
(узкобазовая стойка)Схема нагрузок  
(широкобазовая стойка)

## Условные обозначения:

$N_c$  — сжимающее усилие, действующее на цилиндрический фундамент или подножник

$N_b$  — тоже, вырывающее усилие

$Q_h$ ,  $Q_\perp$  — горизонтальные усилия, действующие на цилиндрические фундаменты или подножники, в плоскости и из плоскости портала

$M_h$ ,  $M_\perp$  — изгибающие моменты, действующие на цилиндрические фундаменты или подножники, в плоскости и из плоскости портала

$\delta_{ct}$  — отклонение верха стояк на отметке оси траубес при действии нормативных нагрузок

1973

ГК	Таблица усилий на фундаменты	3-407-98
1973		Выпуск №1

Таблица 9

70277M-I-21

Усилия расч/норм	35 кВ																									
	Шинный портал								Ячейковый портал								Ячейковый линейный портал									
	Тип II (тяжелый)				Тип I (легкий)				Тип II (тяжелый) стойка 1				Тип I (легкий) стойка 1.2				Тип III (тяжелый) стойка 3				Тип IV (легкий) стойка 4					
	II район по ветру гололеду	III район по ветру гололеду	III район по ветру гололеду	IV район по ветру гололеду	III район по ветру гололеду	II район по ветру гололеду																				
$N_c$ , тс	4.5 3.8	5.0 3.9	6.5 4.7	7.8 5.6	2.8 2.3	3.0 2.3	3.9 2.8	4.7 3.4	6.7 5.4	6.3 4.9	8.1 5.8	9.8 7.1	3.7 3.0	2.9 2.2	3.6 2.7	4.8 3.5	9.1 7.4	8.3 6.4	10.0 7.9	11.2 8.1	4.2 3.3	3.1 2.5	4.4 3.2	4.9 3.7		
$N_b$ , тс	3.8 2.8	3.9 3.0	5.3 3.8	6.6 4.6	1.9 1.5	1.9 1.4	2.7 2.4	3.4 3.9	5.6 4.5	5.1 3.9	6.7 4.8	8.4 6.0	2.7 2.1	1.9 1.4	2.5 1.7	3.6 2.5	7.7 6.1	6.6 5.0	8.2 5.9	9.3 6.6	2.9 2.2	1.7 1.3	2.9 2.0	3.4 2.4		
$Q_u$ , тс	0.05 0.04	0.05 0.04	0.05 0.04	0.1 0.07	0.05 0.04	0.05 0.04	0.05 0.04	0.05 0.04	0.25 0.2	0.05 0.04	0.1 0.07	0.1 0.07	0.2 0.15	0.05 0.04	0.05 0.04	0.05 0.04	0.3 0.25	0.15 0.1	0.2 0.15	0.2 0.15	0.25 0.2	0.1 0.08	0.05 0.04	0.1 0.07		
$Q_1$ , тс	0.55 0.45	0.55 0.4	0.75 0.55	0.9 0.65	0.35 0.3	0.3 0.2	0.4 0.3	0.5 0.35	0.65 0.5	0.55 0.4	0.7 0.5	0.85 0.6	0.35 0.3	0.25 0.2	0.3 0.2	0.4 0.3	0.85 0.7	0.7 0.6	0.85 0.8	0.95 0.7	0.4 0.3	0.25 0.2	0.35 0.25	0.4 0.3		
$M_u$ , тсм	0.5 0.4	0.25 0.2	0.3 0.25	0.4 0.3	0.45 0.35	0.2 0.15	0.25 0.2	0.25 0.2	1.3 1.1	0.4 0.3	0.5 0.35	0.65 0.45	1.2 0.95	0.3 0.25	0.3 0.2	0.4 0.3	1.75 1.4	0.9 0.7	1.25 0.9	1.45 1.05	1.25 1.0	0.5 0.4	0.4 0.3	0.5 0.35		

Усилия расч/норм	110 кВ							
	Шинный портал							
	Тип II (тяжелый)				Тип I (легкий)			
	II район по ветру гололеду	III район по ветру гололеду	III район по ветру гололеду	IV район по ветру гололеду	III район по ветру гололеду	II район по ветру гололеду	III район по ветру гололеду	IV район по ветру гололеду
$N_c$ , тс	8.8 7.2	9.1 7.2	11.9 8.6	14.5 10.4	4.2 3.4	3.8 3.0	5.2 3.8	6.4 4.7
$N_b$ , тс	2.7 6.2	7.7 5.9	10.4 7.4	12.5 9.2	3.2 2.6	2.7 2.4	4.0 2.8	5.2 3.7
$Q_u$ , тс	0.2 0.15	0.08 0.07	0.1 0.07	0.1 0.07	0.15 0.1	0.05 0.04	0.05 0.04	0.05 0.04
$Q_1$ , тс	0.8 0.7	0.8 0.8	1.05 0.75	1.3 0.95	0.4 0.3	0.3 0.2	0.45 0.3	0.55 0.4
$M_u$ , тсм	1.05 0.85	0.55 0.4	0.55 0.4	0.6 0.45	0.75 0.6	0.35 0.3	0.35 0.25	0.4 0.3

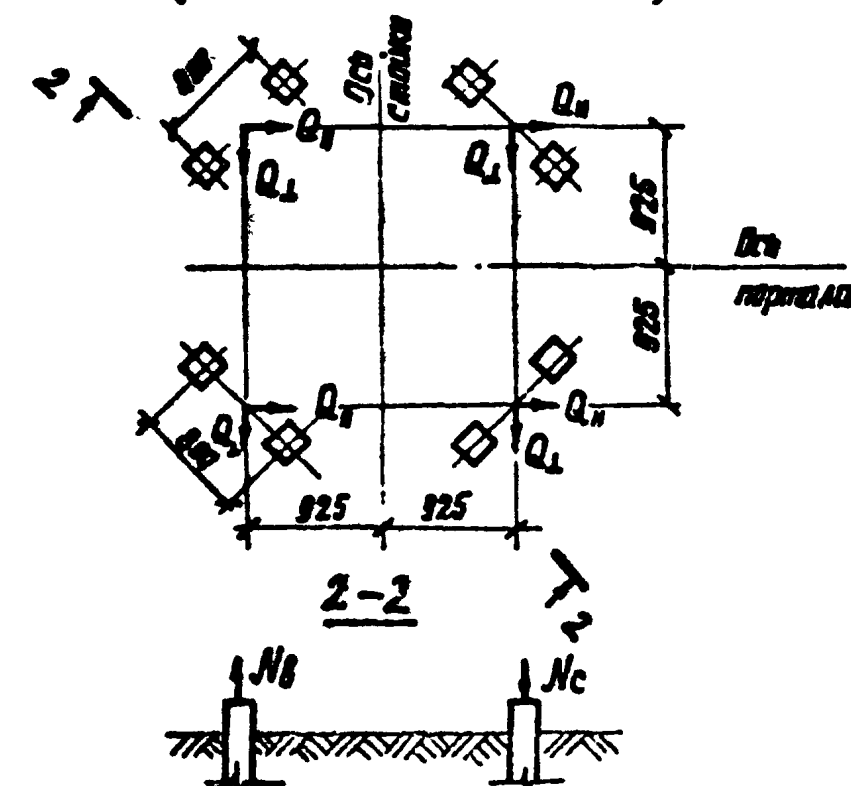
## Примечания:

- Расчетные схемы порталов, принятые при определении усилий см. лист 17.
- Схемы усилий и условные обозначения см. лист 21.
- Значения усилий приведенные в числителе даны от расчетных нагрузок, в знаменателе - от нормативных нагрузок.

таблица 9 (продолжение)

7027.7-7.02

Усилия действующие	10кВ																150кВ															
	Ячеековый портал								Шинный портал тип I								Ячеековый портал тип II								Ячеековый линейный портал тип I, стойка 2							
	Тип I (тяжелый)				Стойка 4				Стойка 3				Стойка 1				Стойка 2				Стойка 3.1				Стойка 4							
	III район по бетону	II район по бетону	III район по бетону	IV район по бетону	III район по бетону	II район по бетону	IV район по бетону	III район по бетону	II район по бетону	III район по бетону	IV район по бетону	III район по бетону	II район по бетону	IV район по бетону	III район по бетону	II район по бетону	III район по бетону	II район по бетону	IV район по бетону	III район по бетону	II район по бетону	IV район по бетону	III район по бетону	II район по бетону	IV район по бетону	III район по бетону	II район по бетону	IV район по бетону				
$N_c$ , тс	7.9 6.3	4.7 5.2	7.8 5.5	9.1 6.5	5.7 4.6	4.5 3.5	5.0 3.6	5.8 4.2	4.6 9.4	8.4 6.9	11.5 10.1	14.0 12.1	7.6 6.2	5.5 4.3	7.0 5.1	8.3 6.0	7.4 5.9	7.9 6.1	9.2 6.7	11.1 8.0	9.5 7.5	7.4 5.4	23 5.9	23 6.1	8.6 5.9	12 9.0	8.1 6.2	9.5 6.9	10 7.8			
$N_b$ , тс	6.5 5.2	4.8 3.7	5.8 4.2	6.9 4.9	4.9 3.9	3.5 2.7	4.0 2.9	4.7 3.4	9.1 7.2	5.8 4.4	7.9 5.5	10.0 7.1	5.4 4.2	2.7 1.9	3.8 2.6	4.8 3.4	6.2 4.9	6.5 5.0	7.7 5.5	9.5 6.7	8.1 6.5	5.2 4.0	6.5 4.5	6.8 4.7	12 7.4	5.8 4.3	6.8 4.9	15 34				
$Q_h$ , тс	0.2 0.16	0.05 0.04	0.09 0.06	0.10 0.06	0.08 0.06	0.08 0.06	0.08 0.06	0.09 0.06	0.3 0.25	0.1 0.07	0.1 0.07	0.1 0.07	0.3 0.25	0.1 0.07	0.1 0.07	0.1 0.07	0.2 0.15	0.07 0.05	0.09 0.06	0.25 0.20	0.08 0.06	0.08 0.06	0.08 0.06	0.08 0.06	0.08 0.06	0.08 0.06	0.08 0.06	0.08 0.06	0.08 0.06			
$Q_{\perp}$ , тс	0.5 0.4	0.45 0.35	0.5 0.36	0.6 0.4	0.4 0.3	0.3 0.2	0.35 0.25	0.4 0.3	0.75 0.6	0.5 0.4	0.65 0.45	0.75 0.55	0.5 0.4	0.3 0.2	0.35 0.25	0.45 0.3	0.7 0.53	0.7 0.55	0.8 0.6	0.95 0.7	0.5 0.4	0.4 0.3	0.5 0.35	0.5 0.35	0.5 0.35	0.5 0.35	0.5 0.35	0.5 0.35	0.5 0.35	0.5 0.35		
$M_n$ , тсм	—	—	—	—	—	—	—	—	2.4 1.9	0.8 0.6	0.8 0.55	0.9 0.65	2.35 1.9	0.75 0.6	0.8 0.55	0.9 0.65	0.95 0.75	0.4 0.3	0.45 0.3	0.5 0.35	—	—	—	—	—	—	—	—	—	—	—	—

Схема нагрузок  
(Узкодазовая стойка)Схема нагрузок  
(Широкодазовая стойка)

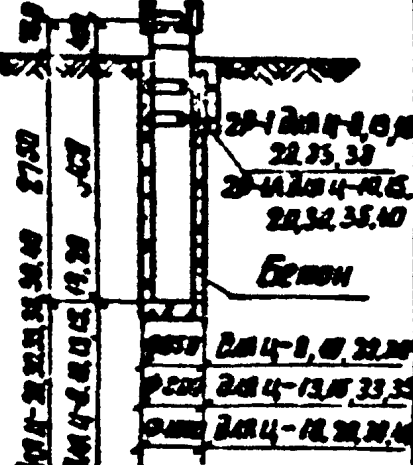
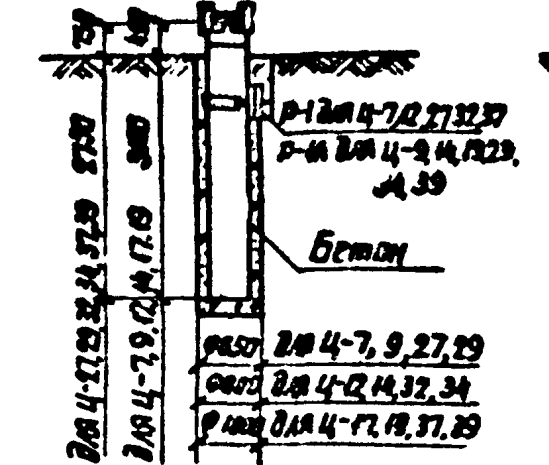
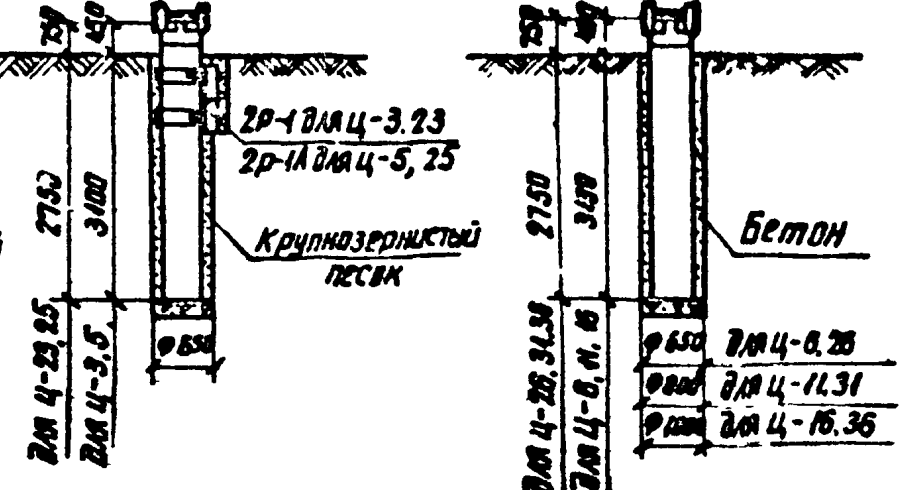
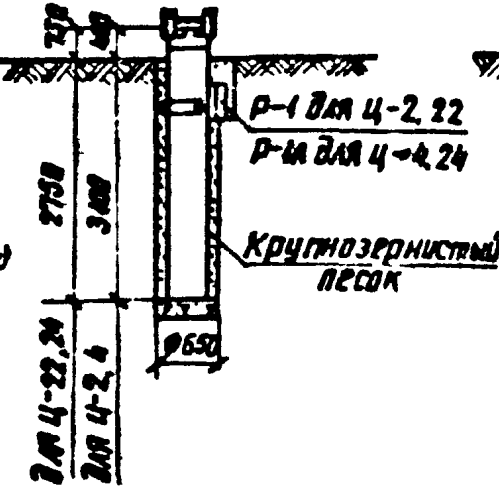
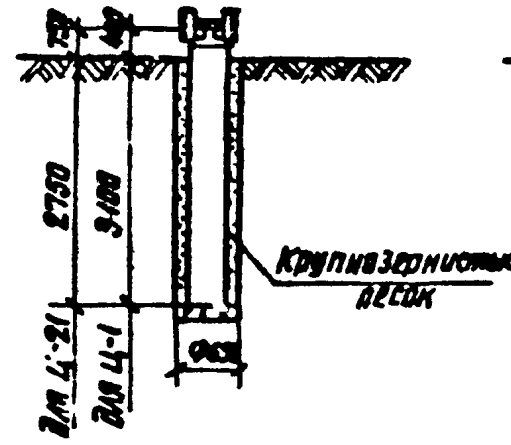
## Условные обозначения:

$N_c, N_b$  – сжимающие и вынуждающие усилия действующие на сваи  
 $Q_h, Q_{\perp}$  – горизонтальные усилия действующие на сваи в плоскости и из плоскости портала  
 $M_n$  – изгибающий момент действующий на сваи в плоскости портала

TK  
1973

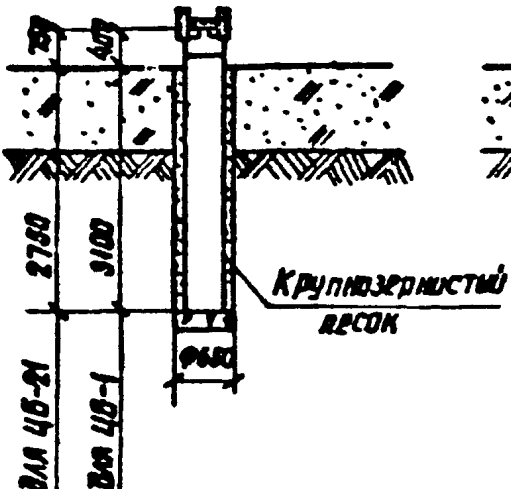
Таблица усилий на фундаменты

3-407-98  
Сводка ячейк  
1 21

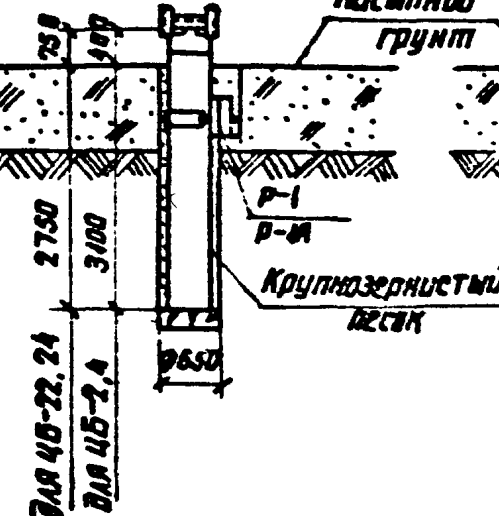


29

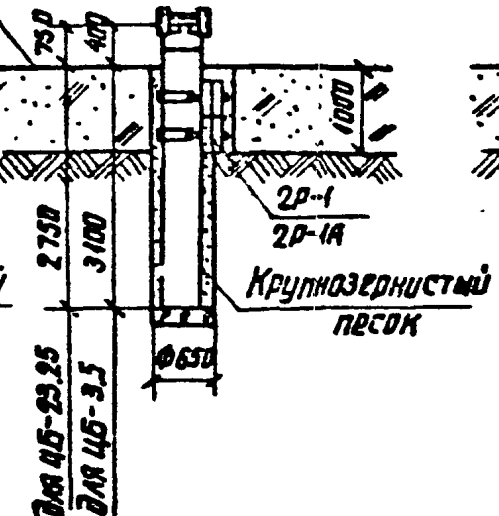
4Б-1, 4Б-21



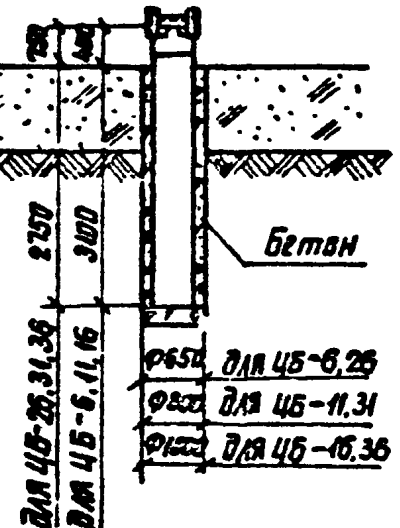
4Б-2, 4Б-4  
4Б-22, 4Б-24



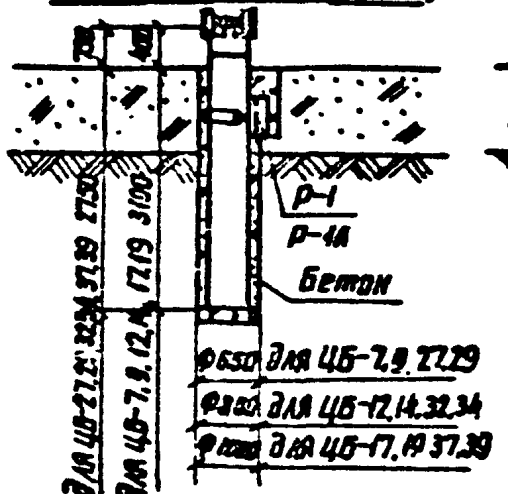
4Б-3, 4Б-5  
4Б-23, 4Б-25



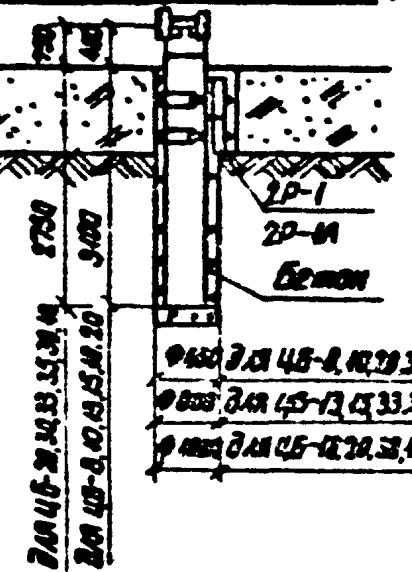
4Б-6, 4Б-11, 4Б-12  
4Б-26, 4Б-31, 4Б-36



4Б-7, 4Б-9, 4Б-12  
4Б-14, 4Б-17, 4Б-19  
4Б-27, 4Б-29, 4Б-32  
4Б-34, 4Б-37, 4Б-39



4Б-8, 4Б-10, 4Б-13  
4Б-15, 4Б-18, 4Б-20  
4Б-28, 4Б-30, 4Б-33  
4Б-35, 4Б-38, 4Б-40



### Примечания

Параметры закрепления и общие примечания  
см выпуск 2 лист 29.

ТК  
1973

Рекомендуемые типы фундаментов

3-407-98  
Выпуск 1  
Лист 22

卷之三

A hand-drawn cross-section diagram of a bridge pier foundation. The diagram shows a vertical pier with two vertical piles extending downwards into the ground. The ground surface is indicated by a horizontal line with diagonal hatching. A vertical dimension line on the left indicates a height of 10 meters from the base to the top of the pier. Two labels are present: 'C25-1-6-H1(C-1)' near the bottom left pile, and 'C25-1-8-H1(C-2)' near the bottom right pile. To the right of the pier, there is a vertical column of handwritten text: '210 0.0', '210 0.0', '210 0.0', and '210 0.0'. The entire diagram is labeled with a large handwritten identifier 'C-1.2' at the top center.

C-3

C-4.5

P1  
4m  
6m

3-1-6-1(C-4)  
3-1-6-1(C-5)

925 925  
525 525

A technical cross-sectional diagram of a borehole labeled C-6. The vertical axis is indicated by a dashed line. At the top, a horizontal line is labeled C-6. Below it, another horizontal line is labeled T-7. To the left of the borehole, there is a label  $\pm 0$  with a horizontal line extending to the right. Inside the borehole, there are several labels: 1/8", 1 1/2", and 1 1/2" arranged vertically. At the bottom of the borehole, there is a label C35-1-8-2. To the right of the borehole, there is a label 4000 with a vertical line extending upwards. The borehole itself has a hatched pattern.

C 25 + 6 NH

C-7

The diagram illustrates a cross-section of a concrete foundation. At the top, a horizontal line indicates a height of ± 0 above a hatched ground surface. Below this, a vertical column of concrete is labeled 'ФЧТ-1' (FCT-1) and 'Бетон' (Concrete). The column contains vertical reinforcement bars. To the right, a larger rectangular concrete structure is shown with its height labeled as 200. This structure also contains vertical reinforcement bars. A label '1/1' is located at the bottom right.

A technical drawing of a flange with four circular holes arranged in a square pattern. The top horizontal distance between centers is labeled '125'. The bottom horizontal distance between centers is labeled '225'. The left vertical distance between centers is labeled '125'. The right vertical distance between centers is labeled '225'. The drawing shows a central crosshair and dashed lines indicating the hole centers.

## ПОУЧЕНИЕ

4. Параметры закреплений  
и общие примечания  
см. выпуск 2 лист 30

Таблица 10

25

Номер подъема	Характеристики грунтов					Пределные опрокидывающие моменты, Н м.н.																							
	ρ г/см³	γ кН/м³	ε %	t с	πc кН²	ц-1	ц-2	ц-3	ц-4	ц-5	ц-6	ц-7	ц-8	ц-9	ц-10	ц-11	ц-12	ц-13	ц-14	ц-15	ц-16	ц-17	ц-18	ц-19	ц-20	ц-21	ц-22	ц-23	ц-24
1	41	2,0	0	9,63	0	43,3	49,0	54,6	55,4	65,2	65,4	54,7	53,9	60,6	71,2	60,7	65,3	69,9	71,7	82,3	74,6	78,0	81,4	85,0	85,1	84,8	57,0	42,0	42,0
2	38	1,9	0	7,99	0	32,4	37,1	41,6	42,5	51,0	57,2	41,5	45,7	46,2	54,8	45,0	49,7	53,4	54,9	65,5	55,5	59,3	62,1	64,9	75,1	24,1	22,4	22,5	32,9
3	36	1,8	0	6,93	0	25,4	30,3	34,2	37,9	42,3	39,3	34,1	37,7	33,1	45,4	37,7	41,0	44,1	45,4	52,7	45,4	48,8	51,2	53,6	60,6	14,8	23,5	23,0	24,0
4	38	2,0	0	8,41	0	32,1	39,0	43,7	44,5	53,6	59,1	43,5	48,1	48,6	57,6	48,2	52,2	56,1	57,6	55,6	59,4	62,3	65,2	68,2	75,8	25,8	23,8	39,0	32,0
5	35	1,9	0	7,32	0	27,8	32,0	35,1	33,8	44,6	32,0	35,9	36,7	40,1	47,9	39,7	43,1	46,5	47,7	55,5	48,9	51,4	53,9	56,6	64,8	20,8	24,7	25,4	22,9
6	33	1,8	0	6,71	0	21,1	24,6	27,9	28,5	34,8	24,4	27,6	32,8	31,1	37,4	30,5	33,3	36,1	37,1	43,4	37,6	39,7	41,7	43,8	49,7	15,1	19,2	22,8	22,2
7	36	2,0	0,1	7,70	0,39	30,7	35,5	40,1	40,8	49,6	35,8	39,7	44,0	44,5	53,2	43,6	47,5	51,2	52,7	61,4	53,6	58,5	59,3	62,2	70,5	23,0	27,3	35	34
8	34	1,9	0	6,72	0	23,9	29,8	31,5	32,1	53,1	27,6	31,2	34,7	35,0	42,0	34,4	37,5	40,5	41,7	48,7	42,4	44,7	46,9	49,2	55,0	14,1	21,6	23,9	24,9
9	30	1,8	0	5,40	0	17,0	20,1	22,9	23,5	28,9	19,8	22,6	25,3	25,6	31,0	24,9	27,4	29,8	30,6	36,1	30,7	32,5	34,3	36,0	41,2	13,1	15,9	18,5	18,5
10	26	1,85	0	4,74	0	13,8	15,9	12,4	18,8	23,4	15,6	16,0	20,3	21,5	25,1	19,7	21,8	23,8	24,6	29,2	24,3	25,8	27,3	28,8	33,2	12,8	12,7	15,0	14,9
11	34	1,9	0,2	6,72	0,75	26,7	31,1	35,3	36,0	44,1	39,5	34,8	33,8	33,2	47,2	38,0	44,6	45,1	46,4	54,5	46,6	49,3	51,9	54,6	68,2	22,2	24,2	28,1	27,0
12	32	1,9	0,1	6,18	0,36	21,9	25,7	29,3	30,0	36,8	25,3	28,8	32,2	32,5	39,4	31,6	34,6	37,6	38,8	45,6	38,9	41,1	43,5	45,6	52,1	16,7	20,1	23,4	23,4
13	28	1,8	0	4,99	0	14,8	17,6	20,2	20,7	25,7	17,3	19,9	22,3	22,6	29,5	21,9	24,1	26,3	27,1	32,0	26,9	28,6	30,2	31,8	36,5	14,5	19,0	25,4	25,4
14	24	1,75	0	4,13	0	11,0	13,3	15,4	15,8	19,8	13,0	13,1	17,1	17,2	21,2	16,5	18,3	20,1	20,7	24,7	20,3	21,9	23,0	24,3	26,0	8,7	10,8	12,7	12,6
15	23	2,0	1,3	4,57	3,93	22,6	27,7	32,3	32,7	40,7	25,8	30,5	35,0	35,3	43,4	31,6	35,8	39,7	41,1	49,5	38,5	41,6	44,5	47,4	55,6	17,5	22,0	26,0	25,9
16	22	1,95	0,9	4,29	2,67	17,8	21,9	25,7	26,1	32,7	20,5	24,3	28,0	28,2	34,9	25,4	28,7	31,9	33,1	40,0	31,0	33,5	35,0	38,2	44,9	15,9	17,6	22,9	20,8
17	21	1,9	0,3	4,02	0,87	12,0	14,3	17,4	17,8	22,5	14,0	16,6	19,1	13,3	24,0	17,7	20,0	22,1	22,9	27,7	21,8	23,4	25,1	26,6	31,2	8,5	12,0	14,3	14,2
18	20	1,4	4,40	4,15	22,2	27,3	31,9	32,3	42,1	25,3	30,1	34,5	34,9	42,8	31,1	35,2	39,1	42,5	48,3	37,8	40,3	43,8	46,7	54,7	17,8	21,7	25,7	25,6	
19	21	1,95	0,7	4,13	2,04	15,3	16,9	22,2	22,6	28,4	17,7	21,0	24,2	24,5	30,4	22,0	25,0	27,8	22,8	34,8	27,0	29,1	31,2	33,3	39,1	12,0	15,2	18,2	18,1
20	20	1,9	0,4	3,88	1,14	12,0	14,9	17,6	17,9	22,7	14,0	16,7	19,2	19,4	24,2	17,7	20,0	22,2	23,0	27,9	21,7	23,4	25,1	26,7	31,4	8,5	12,1	14,5	14,4
21	19	1,8	0,2	3,54	0,56	9,6	11,8	19,0	14,3	18,1	11,8	13,3	15,4	15,5	19,3	14,3	15,1	12,9	18,5	22,4	17,5	18,9	20,2	24,5	25,2	7,6	9,7	14,6	11,5
22	20	1,95	1,9	3,98	5,43	23,5	29,0	33,9	37,2	42,1	26,7	31,9	35,5	36,9	45,1	32,5	37,9	41,1	42,6	51,2	39,4	42,7	45,8	48,9	57,4	18,3	23,1	27,1	27,0
23	19	1,9	1,1	3,73	3,08	16,2	20,2	23,8	23,1	30,2	18,6	22,4	25,8	26,1	32,3	23,1	28,3	23,4	30,5	36,9	28,2	30,5	32,8	35,1	41,4	12,7	16,3	19,4	19,3
24	18	1,8	0,8	3,41	2,20	12,9	15,2	19,1	19,4	24,4	14,9	18,0	20,8	21,0	25,1	18,6	21,3	23,8	24,7	30,0	22,8	24,8	25,6	28,5	33,6	8,2	13,1	13,7	15,6
25	17	1,75	0,4	3,82	1,08	9,5	11,9	14,2	14,4	18,3	11,1	13,4	15,5	15,7	19,6	14,1	16,0	12,9	18,6	22,5	17,3	18,7	20,1	21,5	25,3	7,6	9,8	14,8	11,7
26																													

Таблица 10 (продолжение)

ПОДСЧЕТЫ

Номер столбца	Характеристики грунтов					Пределные опрокидывающие моменты М, тс.м															
	на изрещенных					Сверленые котлованы (см. лист 22)															
	ρ, т/м³	γ, кН/м²	σc, кН/м²	γd, кН/м³		4-25	4-26	4-27	4-28	4-29	4-30	4-31	4-32	4-33	4-34	4-35	4-36	4-37	4-38	4-39	4-40
1	41	2,0	0	9,68	0	51,5	35,7	40,5	45,8	45,8	55,3	42,9	46,9	50,9	52,6	61,9	53,2	56,3	52,3	62,5	71,5
2	38	1,9	0	7,99	0	40,1	27,1	31,0	34,8	35,3	42,9	32,5	35,8	39,1	40,4	47,9	42,4	42,9	45,3	47,9	53,1
3	36	1,8	0	6,93	0	33,5	22,3	25,7	28,9	29,3	35,8	26,7	29,6	32,4	33,5	39,9	33,2	35,3	37,4	39,5	45,7
4	38	2,0	0	8,41	0	42,1	28,4	32,6	36,5	37,0	45,0	34,1	37,6	41,0	43,4	50,8	42,4	45,0	47,6	58,3	57,9
5	36	1,9	0	4,32	0	35,3	23,4	27,0	30,4	30,8	37,7	23,1	31,1	34,0	35,2	42,0	34,9	37,2	39,4	42,7	48,1
6	33	1,8	0	6,11	0	27,8	18,1	21,0	23,8	24,1	29,7	21,7	24,1	26,5	27,5	32,9	26,9	28,7	32,5	32,9	37,6
7	36	2,0	0,1	7,70	0,39	39,2	25,9	29,9	33,7	34,2	41,3	31,0	34,4	37,7	39,0	46,6	38,5	41,0	43,5	46,1	53,4
8	34	1,9	0	6,72	0	31,1	20,3	23,6	26,7	27,0	33,2	24,4	27,1	29,3	34,8	36,9	30,8	32,4	34,4	36,9	42,2
9	30	1,8	0	5,40	0	23,3	14,8	17,3	19,7	20,0	27,8	17,7	19,9	21,9	22,7	27,4	22,0	23,6	23,1	26,7	31,2
10	26	1,86	0	4,74	0	19,0	11,7	13,9	15,9	16,1	20,2	19,0	15,9	17,6	18,3	22,3	13,4	18,8	20,1	21,4	25,2
11	34	1,9	0,2	6,72	0,75	35,1	22,7	26,4	30,0	30,4	37,4	27,1	30,3	33,4	34,6	41,5	33,6	36,0	38,3	42,7	47,4
12	32	1,9	0,1	6,18	0,36	29,4	18,8	22,0	25,0	25,3	31,3	22,5	25,2	27,8	28,8	34,7	28,0	29,9	31,9	33,9	39,6
13	28	1,8	0	4,99	0	20,7	13,0	15,3	17,5	17,7	22,1	15,5	17,5	19,4	20,1	24,4	19,3	20,8	22,2	23,6	27,7
14	24	1,75	0	4,13	0	16,2	9,8	11,7	13,5	13,7	17,2	11,8	13,4	14,9	15,5	18,9	14,6	15,8	16,9	18,0	21,0
15	23	2,0	1,3	4,57	3,93	32,2	19,6	23,8	27,6	27,9	34,5	23,4	26,9	30,2	31,4	38,2	28,7	31,3	33,8	36,3	43,1
16	22	1,95	0,9	4,29	2,67	26,1	15,6	19,0	22,2	22,4	27,9	18,6	21,5	24,2	25,2	30,8	23,0	25,1	27,2	29,2	34,7
17	21	1,9	0,3	4,02	0,67	18,2	10,7	13,0	15,2	15,4	19,4	12,8	14,8	16,6	17,3	21,3	15,9	17,3	18,7	20,1	23,9
18	22	2,0	1,4	4,40	4,15	31,7	19,3	23,5	27,2	27,6	34,0	23,0	26,5	29,8	31,0	37,6	28,2	30,8	33,3	35,8	42,4
19	21	1,95	0,7	4,13	2,04	22,8	13,5	16,5	19,2	19,5	24,4	16,1	18,7	21,1	21,9	26,9	19,9	21,8	23,6	25,3	30,2
20	20	1,9	0,4	3,88	1,14	18,4	10,7	13,1	15,3	15,5	19,5	12,8	14,9	16,8	17,4	21,5	15,9	17,4	18,8	20,2	24,1
21	19	1,8	0,2	3,54	0,56	14,8	8,6	10,5	12,3	12,4	15,7	10,3	11,9	13,4	13,9	17,2	12,7	13,9	15,1	16,2	19,3
22	20	1,95	1,9	3,98	5,43	32,9	20,4	24,9	28,8	29,1	35,4	24,2	28,0	31,5	32,7	39,4	29,8	32,4	35,0	27,6	44,5
23	19	1,9	1,1	3,93	3,08	29,0	14,3	17,6	20,5	20,8	25,7	17,1	19,8	22,4	23,3	28,5	21,0	23,0	25,0	26,9	32,1
24	18	1,8	0,8	3,41	2,20	19,6	11,5	14,2	16,6	16,8	21,0	13,7	16,0	18,1	18,9	23,2	16,9	18,6	20,2	21,8	26,0
25	17	1,75	0,4	3,20	1,08	14,9	8,6	10,6	12,4	12,6	15,9	10,3	12,0	13,6	14,1	17,5	12,7	13,9	15,1	16,3	19,5
26	16	1,65	0,2	4,12	0,4	14,9	6,7	8,3	9,8	9,9	12,6	8,1	9,4	10,7	11,1	13,8	10,0	11,0	11,9	12,8	15,4
27	18	1,9	2,8	3,60	7,71	37,1	23,9	28,9	33,2	33,6	40,1	28,1	32,4	36,2	37,6	44,7	34,0	37,2	40,2	43,1	50,6
28	17	1,8	1,9	3,29	5,14	27,4	17,0	20,9	24,3	24,5	29,6	20,2	23,5	26,5	27,5	33,1	24,7	27,1	29,4	31,6	37,4
29	16	1,7	3,0	2,99	2,65	18,7	11,1	13,7	16,1	16,3	20,1	13,2	15,5	17,6	18,3	22,3	16,2	17,9	19,5	21,0	25,1
30	15	1,65	0,6	2,80	1,56	14,6	8,4	10,4	12,3	12,4	15,6	10,0	11,8	13,4	13,9	17,2	12,4	13,6	14,8	16,0	19,2
31	16	1,8	3,6	3,17	9,55	33,3	26,1	31,4	35,9	36,3	42,6	30,5	35,1	39,1	40,5	47,7	36,8	40,1	43,3	46,3	53,9
32	15	1,7	2,5	2,83	6,52	28,5	18,3	22,4	25,9	26,2	31,0	21,6	25,2	28,3	29,3	39,8	28,3	29,9	31,3	33,6	39,5
33	19	1,65	1,2	2,70	3,07	18,0	10,8	13,5	15,8	16,0	19,5	12,9	15,2	17,2	17,9	21,8	15,8	17,5	19,1	22,6	24,6
34	14	1,7	4,0	2,79	11,2	38,0	25,7	30,9	35,2	35,6	4										

Таблица 10

Номер грунта	Характеристики грунтов не нарушенных					Пределевые опрокидывающие моменты М Тс.м																			
	γ <sub>св</sub> кН/м <sup>3</sup>	γ <sub>н</sub> кН/м <sup>3</sup>	ε <sub>с</sub> мс/м <sup>2</sup>	γ <sub>п</sub> <sub>с</sub> кН/м <sup>3</sup>	γ <sub>п</sub> <sub>н</sub> кН/м <sup>2</sup>	ЦБ-1	ЦБ-2	ЦБ-3	ЦБ-4	ЦБ-5	ЦБ-6	ЦБ-7	ЦБ-8	ЦБ-9	ЦБ-10	ЦБ-11	ЦБ-12	ЦБ-13	ЦБ-14	ЦБ-15	ЦБ-16	ЦБ-17	ЦБ-18	ЦБ-19	ЦБ-20
1	41	2.0	0	9.63	0	22.3	24.7	27.1	26.9	30.9	29.5	28.5	31.0	30.1	34.2	33.0	35.6	38.2	37.3	41.5	41.3	41.0	45.6	45.7	50.1
2	38	1.9	0	7.99	0	16.8	19.1	21.5	21.3	25.2	20.1	22.1	24.5	23.7	27.6	25.2	27.7	30.3	29.4	33.5	34.5	34.1	36.8	35.8	40.0
3	36	1.8	0	6.93	0	13.7	16.0	18.1	18.1	22.0	16.5	18.6	20.9	20.1	24.0	20.8	23.3	25.8	24.9	29.0	25.9	28.5	31.1	32.2	34.3
4	38	2.0	0	8.41	0	17.6	19.7	21.8	21.7	25.1	21.1	22.8	25.0	24.2	27.7	26.4	28.6	30.9	30.1	33.7	33.0	35.3	37.6	36.8	40.5
5	36	1.9	0	7.32	0	14.4	16.5	18.5	18.4	21.8	17.3	19.1	21.2	20.5	23.9	21.8	24.0	26.2	25.5	29.1	27.3	29.5	31.8	31.0	34.7
6	33	1.8	0	6.41	0	11.0	13.0	15.1	14.9	18.2	13.4	15.1	17.2	16.5	19.9	16.9	19.1	21.3	20.5	24.0	21.1	23.3	25.5	24.7	28.3
7	36	2.0	0.1	7.70	0.39	18.1	17.7	19.3	19.3	24.9	19.2	20.5	22.1	21.6	24.2	24.1	25.8	27.5	26.9	29.7	30.1	31.9	33.6	33.0	35.8
8	34	1.9	0	6.72	0	12.5	14.1	15.6	15.6	18.2	15.0	16.4	17.9	17.4	20.1	19.0	20.7	22.4	21.8	24.6	23.7	25.5	22.2	26.6	29.4
9	30	1.8	0	5.40	0	8.9	10.5	12.0	11.9	14.5	10.9	12.2	13.8	13.3	15.8	13.9	15.5	17.2	16.6	19.3	17.3	19.0	20.7	20.1	22.8
10	26	1.85	0	4.72	0	7.0	8.6	10.1	9.9	12.4	8.6	10.0	11.5	11.0	13.5	11.0	12.7	14.3	13.7	16.3	13.7	15.4	17.0	16.4	13.1
11	34	1.9	0.2	6.72	0.75	14.1	15.5	16.8	16.9	19.2	16.9	18.0	19.4	18.9	21.2	21.2	22.7	24.2	23.7	26.1	26.5	28.0	29.5	28.9	31.4
12	32	1.9	0.1	6.18	0.36	11.5	12.9	14.3	14.3	16.6	14.0	15.1	16.5	16.0	18.2	17.6	19.1	20.6	20.0	22.4	22.0	23.5	25.0	24.4	26.9
13	28	1.8	0	4.99	0	7.9	9.2	10.5	10.4	12.7	9.6	10.7	12.1	11.6	13.8	12.2	13.6	15.1	14.6	16.9	15.2	16.7	18.1	17.6	20.0
14	24	1.75	0	4.13	0	5.8	7.2	8.5	8.4	10.5	7.2	8.4	9.8	9.3	11.5	9.3	10.7	12.1	11.6	13.9	11.5	13.0	14.4	13.9	16.2
15	23	2.0	1.3	4.57	3.93	12.8	16.6	20.3	19.5	25.4	15.1	18.8	22.6	24.2	27.3	18.7	22.8	26.8	25.4	31.7	23.1	27.3	31.3	29.8	36.3
16	22	1.95	0.9	4.29	2.67	10.0	12.9	15.8	15.2	19.8	12.0	14.8	17.7	16.6	21.3	14.9	18.1	24.2	20.0	24.9	18.5	21.7	24.8	23.6	28.6
17	21	1.9	0.3	4.02	0.87	6.6	8.2	9.9	9.6	12.3	8.0	9.6	11.2	10.6	13.3	10.2	11.9	13.7	13.1	15.9	12.6	14.4	16.2	15.6	18.4
18	22	2.0	1.4	4.40	4.15	12.6	16.5	20.3	19.4	25.4	14.9	18.7	22.6	24.1	27.2	18.5	22.6	26.7	25.2	31.6	22.7	21.0	31.1	29.6	36.1
19	21	1.55	0.7	4.13	2.04	8.5	11.0	13.5	13.0	16.8	10.3	12.6	15.1	14.2	18.1	12.9	15.6	18.2	17.2	21.3	16.0	18.7	21.3	20.3	24.5
20	20	1.9	0.4	3.88	1.14	6.6	8.5	10.2	9.9	12.7	8.1	9.8	11.6	10.9	13.8	10.2	12.2	14.1	13.4	16.4	12.7	14.6	16.6	15.8	18.9
21	19	1.8	0.2	3.54	0.56	5.2	6.5	7.8	7.6	9.7	6.4	7.6	8.9	8.4	10.5	8.2	9.6	11.0	10.4	12.6	10.1	11.5	12.9	12.4	14.7
22	20	1.95	1.9	3.94	5.43	13.5	18.1	22.4	21.2	27.9	15.9	20.3	24.7	23.1	29.9	19.5	24.3	28.9	27.2	34.4	23.9	28.8	33.5	34.8	39.2
23	19	1.9	1.1	3.73	3.08	9.2	12.3	15.2	14.5	19.1	11.0	13.9	16.9	15.8	20.5	13.7	16.9	20.1	18.9	23.9	16.9	20.2	23.4	22.2	27.2
24	18	1.6	0.8	3.41	2.20	7.3	9.7	12.0	11.5	15.1	8.8	11.1	13.4	12.5	16.2	11.0	13.6	16.1	15.1	19.0	13.6	16.2	18.7	17.6	21.7
25	17	1.75	0.4	3.20	1.80	5.3	6.9	8.4	8.1	10.6	6.5	7.9	9.5	8.9	11.4	8.2	9.9	11.5	10.9	13.5	10.2	11.8	13.5	12.9	15.5
26	16	1.65	0.2	4.12	0.4	4.1	5.2	6.3	6.1	7.9	5.1	6.1	7.2	6.8	8.5	6.5	7.7	8.8	8.4	10.2	8.0	9.2	10.4	9.9	11.8
27	18	1.9	2.8	3.60	7.71	16.1	21.7	27.0	25.5	33.6	18.7	24.2	29.6	27.6	35.9	22.7	28.5	34.2	32.1	40.8	27.6	33.6	39.3	37.2	46.2
28	17	1.8	1.9	3.29	5.14	11.3	15.4	19.2	18.2	24.2	13.3	17.3	21.2	19.8	25.9	16.3	20.7	24.8	23.3	29.7	20.0	24.4	28.6	27.0	33.7
29	16	1.7	1.0	2.99	2.65	7.1	9.6	12.1	11.5	15.3	8.5	10.9	13.4</td												

Таблица 10 (продолжение)

28

7027 км. 1.28

Приложение

Земляные работы

Межсетевой проект

Генеральный подрядчик

Генподрядчик

Номер параметра	Характеристики грунтов не нарушенных		Пределы спрокидывающие моменты М Т.м																						
	γ г/см³	γ' тс/м³	с тс/м³	η' тс/м³	ηс тс/м²	ЦБ-21	ЦБ-22	ЦБ-23	ЦБ-24	ЦБ-25	ЦБ-26	ЦБ-27	ЦБ-28	ЦБ-29	ЦБ-30	ЦБ-31	ЦБ-32	ЦБ-33	ЦБ-34	ЦБ-35	ЦБ-36	ЦБ-37	ЦБ-38	ЦБ-39	ЦБ-40
1	41	2.0	0	9.63	0	15.7	17.3	20.2	19.4	23.4	17.8	20.1	22.4	21.6	25.4	21.7	24.0	26.4	25.6	29.5	27.5	29.9	32.3	31.5	35.5
2	38	1.9	0	7.99	0	12.0	14.2	15.5	15.7	19.3	13.6	15.9	18.2	17.4	21.1	16.6	18.9	21.2	20.4	24.2	21.0	23.4	25.7	24.9	28.8
3	36	1.8	0	6.93	0	9.9	12.2	14.4	13.6	17.2	11.3	13.5	15.8	15.0	18.6	13.7	16.0	18.3	17.5	21.2	17.3	19.7	22.0	21.2	25.0
4	38	2.0	0	8.41	C	12.5	14.5	16.5	15.8	19.0	14.3	16.3	18.3	17.6	20.8	17.4	19.4	21.5	20.7	24.1	22.0	24.1	26.2	25.5	28.9
5	36	1.9	0	7.32	0	10.4	12.1	14.3	13.7	16.8	11.8	13.8	15.8	15.1	18.3	14.4	16.4	18.4	17.7	21.0	19.2	20.3	22.3	21.6	25.0
6	33	1.8	0	6.41	0	8.1	10.1	12.0	11.3	14.4	9.2	11.2	13.1	12.4	15.6	11.2	13.2	15.1	14.4	17.7	14.1	16.1	18.1	17.4	20.7
7	36	2.0	0.1	7.70	0.39	11.6	13.1	14.6	14.1	16.5	13.1	14.7	16.2	15.7	18.2	16.0	17.5	19.1	18.5	21.1	20.9	21.8	23.4	22.8	25.4
8	34	1.9	0	6.72	0	9.1	10.6	12.1	11.6	14.0	10.3	11.8	13.4	12.8	15.3	12.5	14.1	15.6	15.1	17.6	15.8	17.4	19.0	18.4	21.0
9	30	1.8	0	5.40	0	6.7	8.2	9.7	9.1	11.5	7.6	9.1	10.6	10.0	12.5	9.2	10.7	12.2	11.7	14.1	11.5	13.1	14.7	14.1	16.6
10	26	1.85	0	4.72	0	5.3	6.8	8.2	7.7	10.0	6.0	7.5	9.0	8.4	10.8	7.3	8.8	10.3	9.7	12.1	9.2	10.7	12.2	11.6	14.1
11	34	1.9	0.2	6.72	0.75	10.3	11.6	12.9	12.5	14.6	11.7	13.0	14.3	13.9	16.0	14.2	15.5	16.9	16.4	18.6	17.9	19.3	20.6	20.1	22.4
12	32	1.9	0.1	6.18	0.36	8.5	9.8	11.1	10.7	12.8	9.7	11.0	12.3	11.8	14.0	11.7	13.1	14.4	13.9	16.1	14.8	16.1	17.5	17.0	19.2
13	28	1.8	0	4.99	0	5.9	7.2	8.5	8.0	10.1	6.7	8.0	9.3	8.8	10.9	8.1	9.4	10.7	10.2	12.4	10.1	11.5	12.8	12.4	14.5
14	24	1.75	0	4.13	0	4.5	5.8	7.0	6.6	8.6	5.1	6.4	7.6	7.2	9.2	6.1	7.4	8.7	8.3	10.3	7.7	9.0	10.3	9.8	12.0
15	23	2.0	1.3	4.57	3.93	9.6	13.2	16.6	15.4	20.7	10.8	14.5	18.0	16.7	22.1	13.1	15.7	20.3	19.0	24.6	16.2	20.0	23.6	22.3	28.1
16	22	1.95	0.9	4.29	2.67	7.6	10.4	13.1	12.1	16.3	8.6	11.4	14.1	13.1	17.4	10.3	13.2	15.9	14.9	19.3	12.9	15.8	18.6	17.6	22.0
17	21	1.9	0.3	4.02	0.87	5.0	6.6	8.2	7.6	10.1	5.7	7.3	8.9	8.3	10.8	6.9	8.5	10.1	9.5	12.0	8.6	10.3	11.9	11.3	13.9
18	22	2.0	1.4	4.40	4.15	9.5	13.1	16.6	15.4	20.7	10.7	14.4	17.9	15.7	22.1	12.9	16.6	20.2	18.9	24.6	16.0	19.8	23.5	22.2	28.0
19	21	1.95	0.7	4.13	2.04	6.5	8.9	11.1	11.3	13.9	7.4	9.7	12.0	11.2	14.8	8.9	11.3	13.6	12.8	16.4	11.1	13.5	15.9	15.0	18.8
20	20	1.9	0.4	3.88	1.14	5.1	6.8	8.5	7.9	10.5	5.8	7.5	9.2	8.6	11.2	7.0	8.7	10.4	9.8	12.5	8.9	10.5	12.2	11.6	14.3
21	19	1.8	0.2	3.54	0.56	4.0	5.3	6.5	6.1	8.0	4.6	5.8	7.1	6.6	8.6	5.5	6.8	8.9	7.6	9.6	6.9	8.2	9.4	9.0	11.0
22	20	1.95	1.9	3.94	5.43	10.1	14.3	18.3	16.9	22.8	11.4	15.7	19.6	18.2	24.3	13.7	18.0	22.1	20.6	26.9	17.0	21.4	25.5	24.3	30.6
23	19	1.9	1.1	3.73	3.08	7.0	9.9	12.6	11.6	15.7	8.0	10.8	13.5	12.6	16.8	9.6	12.5	15.2	14.2	18.6	11.9	14.8	17.7	16.6	21.1
24	18	1.8	0.8	3.41	2.20	5.6	7.9	10.0	9.2	12.5	6.4	8.6	10.8	10.0	13.4	7.7	10.0	12.1	11.3	14.8	9.5	11.8	14.1	13.3	16.8
25	17	1.75	0.4	3.20	1.80	4.1	5.6	7.1	6.5	8.8	4.7	6.2	7.6	7.1	9.4	5.6	7.1	8.6	8.1	10.4	7.0	8.5	10.0	9.5	11.8
26	16	1.65	0.2	4.12	0.4	3.2	4.3	5.3	4.9	6.6	3.6	4.7	5.8	5.4	7.0	4.4	5.5	6.5	6.1	7.8	5.4	6.5	7.6	7.2	8.9
27	18	1.9	2.8	3.60	2.71	12.0	17.1	21.8	20.1	27.2	13.4	18.6	23.4	21.7	29.0	16.0	21.3	26.2	24.4	32.0	19.7	25.1	30.2	28.3	36.2
28	17	1.8	1.9	3.29	5.14	8.5	12.3	15.3	14.6	19.8	9.6	13.4	17.0	15.7	21.1	11.5	15.4	19.0	17.7	23.3	14.3	18.2	21.5	20.5	26.4
29	16	1.7	1.0	2.99	2.65	5.5	7.9	10.1	9.3	12.7	6.2	8.6	10.9	10.0	13.5	7.5	9.9	12.2	11.3						

Сверленые  
комплексы (см. лист 22)

2	3	4	4-1	4-2	4-3	4-4	4-5	4-6	4-7	4-8	4-9	4-10	4-11	4-12	4-13	4-14	4-15	4-16	4-17	4-18	4-19	4-20	4-21	4-22	4-23	4-24	4-25	4-26	4-27	4-28	4-29
1	500	0,0032	0,0030	0,0026	0,0028	0,0029	0,0030	0,0030	0,0025	0,0027	0,0023	0,0028	0,0028	0,0024	0,0026	0,0022	0,0025	0,0023	0,0025	0,0021	0,0047	0,0048	0,0037	0,0059	0,0044	0,0037	0,0052	0,0038	0,0038	0,0038	
2	37	100	0,0032	0,0030	0,0033	0,0035	0,0030	0,0037	0,0037	0,0032	0,0034	0,0029	0,0035	0,0030	0,0032	0,0028	0,0032	0,0034	0,0029	0,0031	0,0026	0,0158	0,0054	0,0077	0,0049	0,0053	0,0043	0,0053	0,0045	0,0041	
3	300	0,0035	0,0031	0,0044	0,0046	0,0040	0,0040	0,0040	0,0042	0,0045	0,0039	0,0046	0,0041	0,0043	0,0037	0,0042	0,0045	0,0039	0,0041	0,0035	0,0073	0,0052	0,0062	0,0074	0,0057	0,0070	0,0050	0,0063			
4	1000	0,0033	0,0032	0,0027	0,0029	0,0025	0,0030	0,0029	0,0026	0,0028	0,0021	0,0025	0,0025	0,0027	0,0023	0,0026	0,0025	0,0026	0,0023	0,0022	0,0019	0,0015	0,0019	0,0014	0,0013	0,0014	0,0013	0,0013	0,0013		
5	500	0,0044	0,0046	0,0036	0,0038	0,0033	0,0042	0,0041	0,0035	0,0035	0,0037	0,0032	0,0032	0,0038	0,0030	0,0036	0,0035	0,0035	0,0032	0,0031	0,0029	0,0052	0,0059	0,0051	0,0047	0,0053	0,0050	0,0052	0,0052		
6	932	200	0,0051	0,0054	0,0047	0,0048	0,0043	0,0054	0,0053	0,0045	0,0048	0,0041	0,0049	0,0043	0,0042	0,0049	0,0043	0,0041	0,0044	0,0037	0,0033	0,0077	0,0065	0,0059	0,0053	0,0059	0,0054	0,0057	0,0057		
7	1125	1000	0,0038	0,0041	0,0035	0,0037	0,0037	0,0038	0,0035	0,0035	0,0031	0,0035	0,0034	0,0035	0,0032	0,0035	0,0034	0,0035	0,0031	0,0029	0,0026	0,0035	0,0031	0,0035	0,0035	0,0035	0,0035	0,0035			
8	3900	0,0041	0,0039	0,0034	0,0035	0,0031	0,0038	0,0038	0,0033	0,0034	0,0030	0,0035	0,0037	0,0031	0,0033	0,0029	0,0032	0,0035	0,0030	0,0027	0,0026	0,0035	0,0030	0,0037	0,0040	0,0039	0,0041	0,0043			
11	18	1100	0,0144	0,0138	0,0130	0,0126	0,0109	0,0136	0,0134	0,0115	0,0122	0,0156	0,0125	0,0129	0,0111	0,0177	0,0101	0,0145	0,0181	0,0122	0,0117	0,0157	0,0177	0,0177	0,0155	0,0191	0,0172				
12	500	0,037	0,0304	0,0263	0,0277	0,0240	0,0300	0,0296	0,0254	0,0258	0,0232	0,0277	0,0285	0,0243	0,0257	0,0221	0,0258	0,0273	0,0232	0,0246	0,0289	0,0457	0,0435	0,0432	0,0430	0,0411	0,0421	0,0420	0,0437		
13	600	0,0255	0,0253	0,0219	0,0210	0,0200	0,0250	0,0216	0,0212	0,0224	0,0173	0,0231	0,0237	0,0203	0,0284	0,0184	0,0210	0,0227	0,0183	0,0225	0,0174	0,0239	0,0251	0,0230	0,0255	0,0251	0,0231	0,0230	0,0255		
14	700	0,0227	0,0217	0,0188	0,0198	0,0172	0,0214	0,0211	0,0187	0,0182	0,0156	0,0198	0,0233	0,0174	0,0184	0,0158	0,0130	0,0135	0,0165	0,0175	0,0150	0,0154	0,0130	0,0135	0,0125	0,0137	0,0170				
15	800	0,0198	0,0190	0,0156	0,0173	0,0150	0,0187	0,0125	0,0153	0,0158	0,0145	0,0173	0,0178	0,0152	0,0161	0,0139	0,0158	0,0171	0,0145	0,0153	0,0131	0,0232	0,0271	0,0223	0,0245	0,0276	0,0233	0,0263	0,0255		
16	900	0,0176	0,0169	0,0146	0,0154	0,0134	0,0167	0,0164	0,0141	0,0149	0,0129	0,0154	0,0158	0,0135	0,0143	0,0123	0,0140	0,0152	0,0120	0,0136	0,0116	0,0161	0,0210	0,0209	0,0225	0,0215	0,0231	0,0200	0,0260		
17	2000	0,059	0,052	0,0431	0,0139	0,020	0,0150	0,0148	0,0127	0,0134	0,0116	0,0138	0,0142	0,0122	0,0129	0,0111	0,0126	0,0136	0,0116	0,0123	0,0105	0,0134	0,0123	0,0105	0,0155	0,0181	0,0170	0,0183	0,0189		
19	1200	0,0132	0,0129	0,0109	0,0115	0,0100	0,0126	0,0123	0,0105	0,0102	0,0097	0,0105	0,0109	0,0101	0,0107	0,0092	0,0105	0,0104	0,0097	0,0102	0,0087	0,0105	0,0105	0,0102	0,0105	0,0142	0,0175	0,0150	0,0157		
20	1300	0,0222	0,017	0,0101	0,0106	0,0092	0,0115	0,0104	0,0103	0,0089	0,0096	0,0102	0,0094	0,0075	0,0085	0,0097	0,0105	0,0089	0,0094	0,0081	0,0100	0,0165	0,0173	0,0170	0,0182	0,0175	0,0175	0,0175			
21	1400	0,0185	0,0109	0,0054	0,0099	0,0056	0,0107	0,0106	0,0091	0,0096	0,0083	0,0059	0,0102	0,0087	0,0032	0,0079	0,0092	0,0097	0,0085	0,0083	0,0105	0,0157	0,0155	0,0183	0,0139	0,0158	0,0182	0,0150	0,0155		
22	1500	0,0126	0,0101	0,0028	0,0092	0,0080	0,0100	0,0099	0,0065	0,0063	0,0077	0,0092	0,0055	0,0031	0,0055	0,0074	0,0091	0,0077	0,0032	0,0070	0,0156	0,0149	0,0134	0,0120	0,0147	0,0114	0,0140	0,0150			
23	1600	0,0159	0,0095	0,0082	0,0085	0,0075	0,0094	0,0082	0,0079	0,0084	0,0073	0,0087	0,0079	0,0076	0,0080	0,0069	0,0079	0,0085	0,0072	0,0077	0,0065	0,0145	0,0135	0,0116	0,0122	0,0136	0,0106	0,0118			
24	1700	0,0185	0,0089	0,0077	0,0081	0,0071	0,0085	0,0087	0,0078	0,0084	0,0071	0,0081	0,0072	0,0076	0,0065	0,0074	0,0085	0,0078	0,0072	0,0072	0,0162	0,0137	0,0129	0,0140	0,0130	0,0115	0,0135	0,0117			
26	1900	0,0184	0,0080	0,0069	0,0073	0,0063	0,0078	0,0078	0,0067	0,0067	0,0071	0,0061																			

Таблица 11(продолжение) 30

		Сверленые котлованы (ст. лист 22)												Сверленые котлованы с боковыми (ст. лист 22)																
Номер	Номер	4-30	4-31	4-32	4-33	4-34	4-35	4-36	4-37	4-38	4-39	4-40	4Б-1	4Б-2	4Б-3	4Б-4	4Б-5	4Б-6	4Б-7	4Б-8	4Б-9	4Б-10	4Б-11	4Б-12	4Б-13	4Б-14	4Б-15	4Б-16	4Б-17	4Б-18
1	5000	0,0231	0,0240	0,0040	0,0034	0,0038	0,0031	0,0037	0,0035	0,0032	0,0034	0,0025	0,0045	0,0045	0,0046	0,0040	0,0047	0,0044	0,0045	0,0047	0,0041	0,0040	0,0040	0,0036	0,0036	0,0036	0,0036	0,0036		
2;37	4000	0,0241	0,0251	0,0050	0,0049	0,0045	0,0046	0,0044	0,0041	0,0043	0,0039	0,0051	0,0051	0,0053	0,0050	0,0053	0,0058	0,0055	0,0055	0,0053	0,0050	0,0049	0,0049	0,0047	0,0047	0,0045	0,0045	0,0045		
3	3000	0,0243	0,0251	0,0057	0,0057	0,0050	0,0052	0,0051	0,0054	0,0054	0,0049	0,0049	0,0049	0,0051	0,0051	0,0051	0,0051	0,0051	0,0051	0,0051	0,0051	0,0051	0,0051	0,0051	0,0051	0,0051	0,0051	0,0051		
4	4000	0,0244	0,0252	0,0058	0,0058	0,0051	0,0052	0,0053	0,0050	0,0049	0,0046	0,0046	0,0048	0,0048	0,0048	0,0048	0,0047	0,0047	0,0047	0,0047	0,0047	0,0047	0,0047	0,0047	0,0047	0,0047	0,0047	0,0047		
5	3000	0,0245	0,0255	0,0056	0,0049	0,0050	0,0048	0,0053	0,0045	0,0047	0,0041	0,0054	0,0054	0,0058	0,0051	0,0051	0,0052	0,0051	0,0051	0,0051	0,0051	0,0051	0,0051	0,0051	0,0051	0,0051	0,0051	0,0051		
6;32	2100	0,0245	0,0252	0,0058	0,0051	0,0044	0,0045	0,0054	0,0048	0,0047	0,0035	0,0035	0,0038	0,0038	0,0038	0,0038	0,0032	0,0031	0,0030	0,0030	0,0031	0,0032	0,0032	0,0032	0,0032	0,0032	0,0032	0,0032		
7;12;23	1800	0,0241	0,0142	0,0045	0,0040	0,0046	0,0146	0,0107	0,0030	0,0035	0,0031	0,0225	0,0129	0,0129	0,0112	0,0123	0,0152	0,0155	0,0142	0,0142	0,0142	0,0142	0,0142	0,0142	0,0142	0,0142	0,0142	0,0142		
8	3000	0,0244	0,0252	0,0052	0,0044	0,0046	0,0040	0,0047	0,0043	0,0042	0,0041	0,0039	0,0059	0,0059	0,0053	0,0055	0,0055	0,0053	0,0051	0,0050	0,0052	0,0052	0,0051	0,0051	0,0051	0,0051	0,0051	0,0051		
11;18	1100	0,0245	0,0244	0,0183	0,0058	0,0051	0,0111	0,0167	0,0175	0,0177	0,0155	0,0123	0,0244	0,0244	0,0244	0,0244	0,0244	0,0244	0,0244	0,0244	0,0244	0,0244	0,0244	0,0244	0,0244	0,0244	0,0244	0,0244		
12	500	0,0243	0,0242	0,0048	0,0043	0,0311	0,0357	0,0385	0,0324	0,0342	0,0233	0,0151	0,0154	0,0154	0,0154	0,0154	0,0154	0,0154	0,0154	0,0154	0,0154	0,0154	0,0154	0,0154	0,0154	0,0154	0,0154	0,0154		
13	600	0,0244	0,0357	0,0336	0,0245	0,0300	0,0259	0,0103	0,0124	0,0210	0,0265	0,0244	0,0317	0,0317	0,0317	0,0317	0,0317	0,0317	0,0317	0,0317	0,0317	0,0317	0,0317	0,0317	0,0317	0,0317	0,0317	0,0317		
14	700	0,0245	0,0281	0,0041	0,0045	0,0257	0,0222	0,0262	0,0275	0,0232	0,0244	0,0203	0,0311	0,0311	0,0311	0,0311	0,0311	0,0311	0,0311	0,0311	0,0311	0,0311	0,0311	0,0311	0,0311	0,0311	0,0311	0,0311		
15	800	0,0245	0,0253	0,0252	0,0214	0,0225	0,0194	0,0229	0,0244	0,0203	0,0214	0,0185	0,0240	0,0240	0,0240	0,0240	0,0252	0,0274	0,0274	0,0274	0,0274	0,0274	0,0274	0,0274	0,0274	0,0274	0,0274			
16	900	0,0245	0,0245	0,0224	0,0190	0,0200	0,0173	0,0204	0,0204	0,0190	0,0190	0,0163	0,0255	0,0255	0,0258	0,0258	0,0226	0,0249	0,0249	0,0249	0,0249	0,0249	0,0249	0,0249	0,0249	0,0249	0,0249			
17	1000	0,0164	0,0202	0,0201	0,0171	0,0180	0,0155	0,0164	0,0162	0,0171	0,0146	0,0238	0,0238	0,0232	0,0232	0,0232	0,0235	0,0219	0,0187	0,0201	0,0201	0,0201	0,0201	0,0201	0,0201	0,0201	0,0201	0,0201		
18	1200	0,0157	0,0163	0,0168	0,0143	0,0150	0,0130	0,0153	0,0150	0,0128	0,0193	0,0193	0,0168	0,0168	0,0168	0,0187	0,0183	0,0183	0,0187	0,0183	0,0184	0,0168	0,0168	0,0168	0,0168	0,0168	0,0168	0,0168		
20	1300	0,0246	0,0156	0,0155	0,0132	0,0138	0,0120	0,0144	0,0148	0,0125	0,0131	0,0113	0,0178	0,0178	0,0155	0,0163	0,0163	0,0178	0,0162	0,0156	0,0155	0,0155	0,0155	0,0155	0,0155	0,0155	0,0155	0,0155		
21	1400	0,0171	0,0145	0,0144	0,0122	0,0128	0,0111	0,0181	0,0187	0,0116	0,0122	0,0105	0,0165	0,0156	0,0166	0,0144	0,0157	0,0157	0,0157	0,0157	0,0157	0,0157	0,0157	0,0157	0,0157	0,0157	0,0157			
22	1500	0,0140	0,0135	0,0134	0,0114	0,0120	0,0104	0,0122	0,0128	0,0103	0,0114	0,0089	0,0155	0,0155	0,0155	0,0135	0,0145	0,0145	0,0150	0,0145	0,0145	0,0145	0,0145	0,0145	0,0145	0,0145	0,0145			
23	1600	0,0143	0,0127	0,0125	0,0107	0,0113	0,0097	0,0115	0,0115	0,0120	0,0101	0,0107	0,0032	0,0145	0,0145	0,0145	0,0126	0,0137	0,0137	0,0140	0,0137	0,0125	0,0125	0,0125	0,0125	0,0125	0,0125			
24	1700	0,0091	0,0119	0,0101	0,0105	0,0091	0,0103	0,0113	0,0025	0,0100	0,0026	0,0136	0,0136	0,0136	0,0136	0,0136	0,0119	0,0129	0,0132	0,0129	0,0115	0,0118	0,0119	0,0119	0,0119	0,0119	0,0119			
25																														

Сверленые котлованы с бандажкой (см. рисунок 22)

### Позноклики (см. стр. 23)

- Значения углов поворота стоеч в зеркале в следует принимать в зависимости от модуля деформации зеркала, а не по угловым номерам, которые отличаются от принятых в табл. 12.

4

100

## Таблица единичных углов поворота цилиндрических фундаментов и подножников

3-407-98

卷之三

Коэффициент условий работы Пз Таблица 12

Несущие- важные группы	Степень плотности	$\gamma$	Удельный столбец сопротив- ления грунта	Удельный столбец сопротив- ления грунта	Пз	
					Сверление в сухом грунте без залежи	Сверление в сухом грунте с залежью
Пески крупные	Плотные	—	1	—	40	435
	Средней плотности	—	2	—		
	Рыхлые	—	3	—		
Пески средней крутизны	Плотные	—	4	—	40	435
	Средней плотности	—	5	—		
	Рыхлые	—	6	—		
Пески мелкие	Плотные	—	7	—	51	50
	Средней плотности	—	8	—		
	Рыхлые	—	9, 10	—		
Пески пылеватые	Плотные	—	11	—	115	110
	Средней плотности	—	12	—		
	Рыхлые	—	13, 14	—		
Суглинки	Плотные	$\leq 0,3$	15	9,5-12,4	125	115
	Средней плотности	0,3-0,7	16			
	Рыхлые	0,7-1,0	17			
Суглиники	Плотные	$\leq 0,3$	18	12,5 - 15,4 15,5 - 18,4	14	125
	Средней плотности	0,3-0,7	19			
	Слабые	0,7-0,9	20			
	Очень слабые	0,9-1,0	21			
Глины	Плотные	$\leq 0,3$	22	18,5 - 20,4 20,5 - 30,4	15	125
	Средней плотности	0,3-0,7	23			
	Слабые	0,7-0,9	24			
	Очень слабые	0,9-1,0	25			

Значения предельных вырывающих усилий цилиндрических фундаментов типа СЦ-1

Таблица 13

В песчаных грунтах			
Мн. весу. грунта мкр <sup>3</sup>	$\Gamma$	$q_u$	$P_f$
1	2,0	43	24
2	4,0	40	
3	6,8	38	
4	2,0	40	
5	4,0	38	
6	6,8	35	
7	2,0	38	
8	4,0	35	
9	6,8	32	
10	185	28	
11	4,0	35	
12	19	34	
13	18	30	
14	175	26	
В глинистых грунтах			
Консистенция $\beta$		$P_f$	$\mu$
$\leq 0,3$		12,1	
0,3 - 0,7		5,45	
0,7 - 0,9; 0,9 - 1,0		см. примечание	

Примечание

В сроках текучести консистенции невозможно сварка в сухом цилиндрических фундаментах

Таблица 14

в песчаных грунтах

 $P'_{\text{тс}}$ 

НН песк.	$\gamma$ тс/м <sup>3</sup>	$\varphi'$ град	$P'_{\text{тс}}$				НН песк.	$\gamma$ тс/м <sup>3</sup>	$\varphi'$ град	$P'_{\text{тс}}$				
			$4-1 \div 4-5$	$4-6 \div 4-10$	$4-11 \div 4-15$	$4-16 \div 4-20$				$64-1$	$64-8$	$4-21 \div 4-25$	$4-26 \div 4-30$	$4-31 \div 4-35$
1	2,0	43	80,5	89,5	100,8	102	1	2,0	43	74	86,8	107,5	278	
2	1,9	40	80,5	89,5	100,8	102	2	1,9	40	74	81,8	102,5	278	
3	1,8	38	52	62,2	107	203	3	1,8	38	47,5	58,1	99	181	
4	2,0	40	84,5	96	165,9	317	4	2,0	40	78	85,6	102,5	291	
5	1,9	38	52	62,2	112	213	5	1,9	38	50,3	58,6	104	192	
6	1,8	35	34	49,7	73,5	138	6	1,8	35	29,8	39,2	67	121	
7	2,0	38	50	46,4	64,5	51,5	15,2	28,2	28,2	58	46,4	54,5	83,5	137
8	1,9	36	44,5	33	48,4	32,6	60	43	150,5	128,1	36	35,8	41,7	133
9	1,8	32	20,2	16,3	28	22,4	47	37,6	84,5	67,6	9	1,8	32	15,8
10	1,85	28	11,2	8,9	10	15,2	30,4	24,3	52,2	41,7	10	1,85	28	8,3
11	1,9	36	44	27,9	46	27,6	83	49,8	155,8	93,3	11	1,9	36	25,8
12	1,9	34	23,2	16,4	32	19,2	56,3	33,8	104,8	62,8	12	1,9	34	25,9
13	1,8	30	16,3	9,8	21,4	12,8	39,2	23,5	66,4	39,7	13	1,8	30	19,9
14	1,75	28	6,6	40	12	7,2	18,9	11,3	32	19,8	14	1,75	26	5,8

в глинистых грунтах

НН глинистых грунтов	$\gamma$ тс/м <sup>3</sup>	$P'_{\text{тс}}$			
		$4-1 \div 4-5$	$4-6 \div 4-10$	$4-11 \div 4-15$	$4-16 \div 4-20$
15, 22, 27, 31, 34	≤ 43	44,8	73	107,8	162,5
16, 19, 23, 28, 32, 35	43-40	13,2	23,4	39,1	51

в грунтах текуче-густиной консистенции  
известкового угля в сжатом состоянии

НН глинистых грунтов	$\gamma$ тс/м <sup>3</sup>	$P'_{\text{тс}}$			
		$4-21 \div 4-25$	$4-26 \div 4-30$	$4-31 \div 4-35$	$4-36 \div 4-40$
15, 18, 22, 27, 31, 34	≤ 43	44,8	67	99	150
16, 19, 23, 28, 32, 35	43-40	12,5	21,3	31,7	47,5

в грунтах текуче-густиной консистенции  
известкового угля в сжатом состоянии

## Примечание

Значение предельных усилий приведенные  
в числителе относятся к сухим грунтам,  
- в знаменателе к обводненным

ТК

1973

Таблицы предельных сжимающих  
усилий циклических фундаментов

3-407-98

1 52

Таблица 15

в песчаных грунтах

 $P'_{\text{тс}}$ 

4-21 $\div$ 4-25	4-26 $\div$ 4-30	4-31 $\div$ 4-35	4-36 $\div$ 4-40
67	99	150	255

Пасхика 16

Радио-57

14

Таблица 16										Таблица 17											
В песчаных грунтах										В песчаных грунтах											
N расс. т/м³	$\gamma$ тс/м³	$\varphi_u$ град	$P' \text{ тс}$				N расс. т/м³	$\gamma$ тс/м³	$\varphi_u$ град	$P' \text{ тс}$				N расс. т/м³	$\gamma$ тс/м³	$\varphi_u$ град	$P' \text{ тс}$				
			$45-1 \div 45-5$	$45-6 \div 45-10$	$45-8 \div 45-15$	$45-15 \div 45-20$				$45-21 \div 45-25$	$45-26 \div 45-30$	$45-31 \div 45-35$	$45-35 \div 45-40$				$45-21 \div 45-25$	$45-26 \div 45-30$	$45-31 \div 45-35$	$45-35 \div 45-40$	
1	2,0	43	62,5	63,2	123,8	235	1	2,0	43	55	59,6	108	204	7	2,0	38	43,5	34,8	45,2	37,5	
2	1,9	40	62,5	68,2	123,8	235	2	1,9	40	55	59,6	108	204	8	1,9	36	28,7	23,0	34,8	25,4	
3	1,8	38	42,9	49	87,5	163	3	1,8	38	39,2	44,6	79,1	149	9	1,8	36	13,6	10,8	17,2	14,8	
4	2,0	40	66,3	71,5	129,5	246	4	2,0	40	58	62,4	113,2	215	10	2,0	38	44,5	46,4	49	45,6	
5	1,9	38	45	54,3	91,2	171	5	1,9	38	44,5	46,4	49	156	11	1,9	36	21,8	27,2	47	36,5	
6	1,8	35	24,5	31,2	53,8	98,3	6	1,8	35	21,8	27,2	47	86,5	12	1,8	38	43,5	34,8	45,2	37,5	
7	2,0	38	47,4	38	50,8	42,7	93	74,3	75,5	140,5	7	2,0	38	43,5	34,8	45,2	37,5	67	159,5	129,5	
8	1,9	36	31,4	25,1	35,5	28,4	63,6	50,8	119	95,2	8	1,9	36	28,7	23,0	34,8	25,4	52,2	65,7	102,3	83,0
9	1,8	32	15,3	13,0	20,8	15,6	35,8	22,7	65,4	52,2	9	1,8	32	13,6	10,8	17,2	14,8	29,7	24,8	54,2	43,3
10	1,85	28	20	5,6	14,6	9,3	18,7	15	32,2	25,8	10	1,85	28	5,5	4,4	9,4	7,5	15,1	12,1	25,9	20,5
11	1,9	36	31,4	18,9	33,9	20,4	60,8	35,4	117	70	11	1,9	36	23,7	17,4	30,7	18,1	55,7	39,4	105,5	63,1
12	1,9	34	21,5	12,9	24,3	14,6	43,5	25,1	81,3	42,3	12	1,9	34	17,2	10,3	19,5	11,7	34,8	20,9	65,8	39,
13	1,8	30	14,9	6,5	14,1	8,4	24,1	19,5	44	25,4	13	1,8	30	9,5	5,7	12	7,2	29,8	20,5	38	22,
14	1,75	26	5,3	3,2	8,6	5,1	13,8	8,3	24	14,4	14	1,75	26	4,6	2,8	7,3	4,4	11,9	7,1	20,7	12,4

## **В глинистых грунтах**

## **В глинистых грунтах**

НН глинистых грунтов	ВНЧСК- В	$45-21 \div 45-25$	$45-26 \div 45-30$	$45-31 \div 45-35$	$45-36 \div 45-40$
15, 18, 22, 27, 31, 34	= 0,3	29,3	45,6	68,4	103,1
15, 19, 23, 28, 32, 35	0,3-0,7	8,8	16,1	21,3	32
17, 20, 21, 24, 25, 26, 29, 30, 31	0,7-0,9 0,9-1,0	3 группах текуче-глинистичной консистенции необходима установка в северном направлении			

## *Примечание*

Значения предельных усилий приведенные в  
числительце относятся к сухим грунтам,  
- в знаменателе к обводненным.

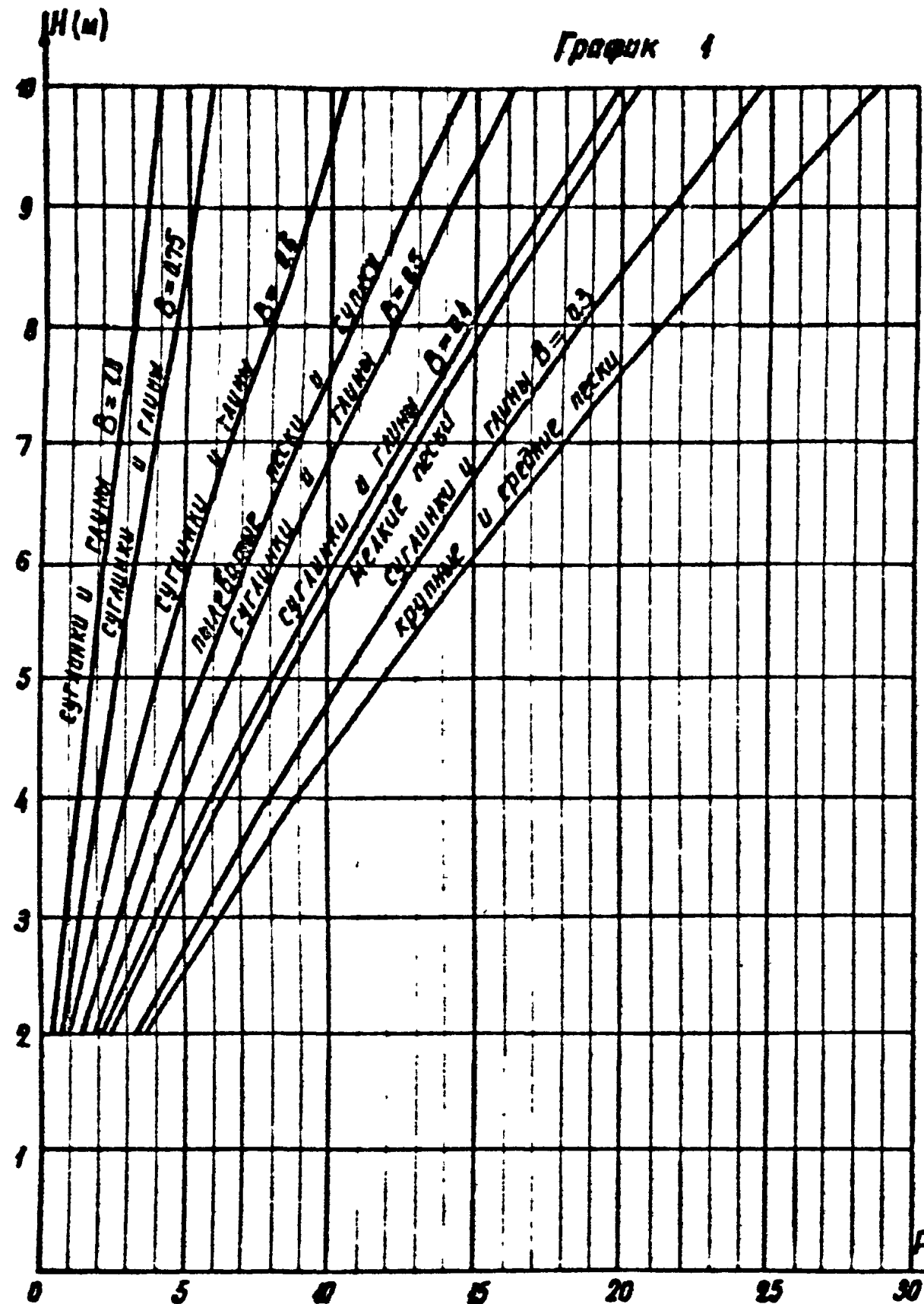
7027744-T-35

— station  
Interstate  
roads

## Северо-Западная область

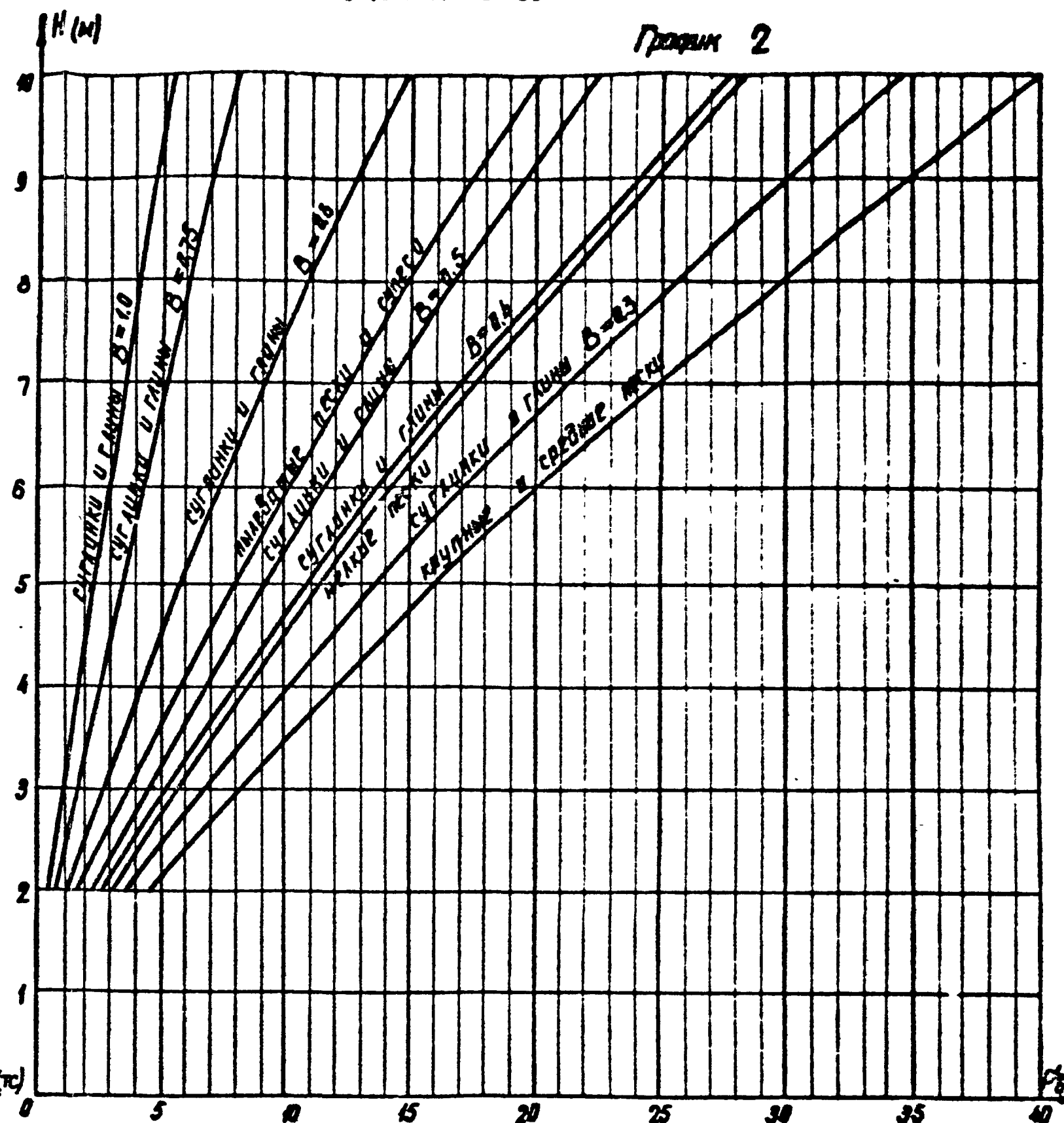
*Своя сечениши 25x25*

График 4



*Свяя сечицем 35x35*

## *Program 2*

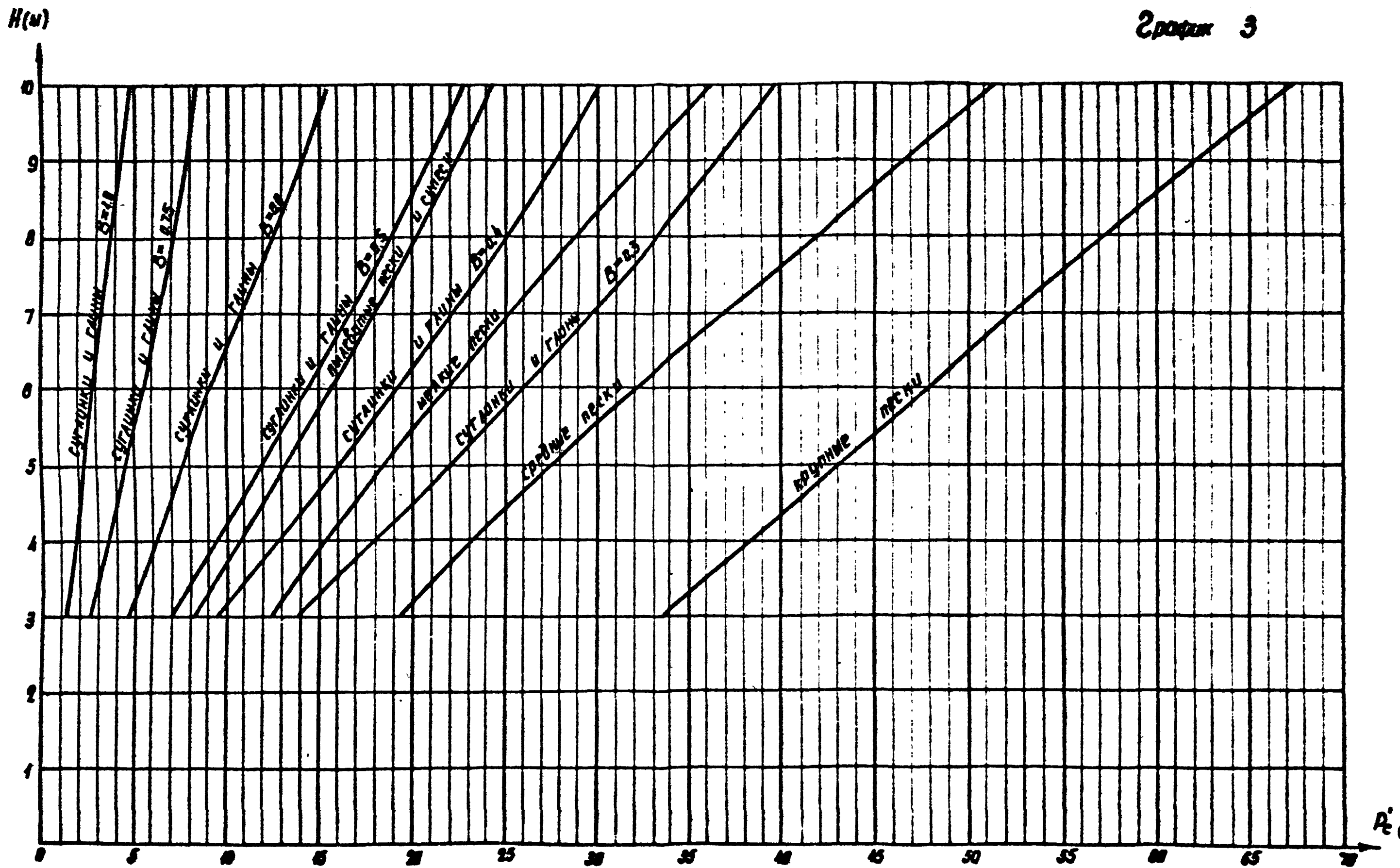


TH  
197

Графики пределных вырывывающих усилий  
свой, погруженных в однородный грунт

3-407-98

702774-T-30



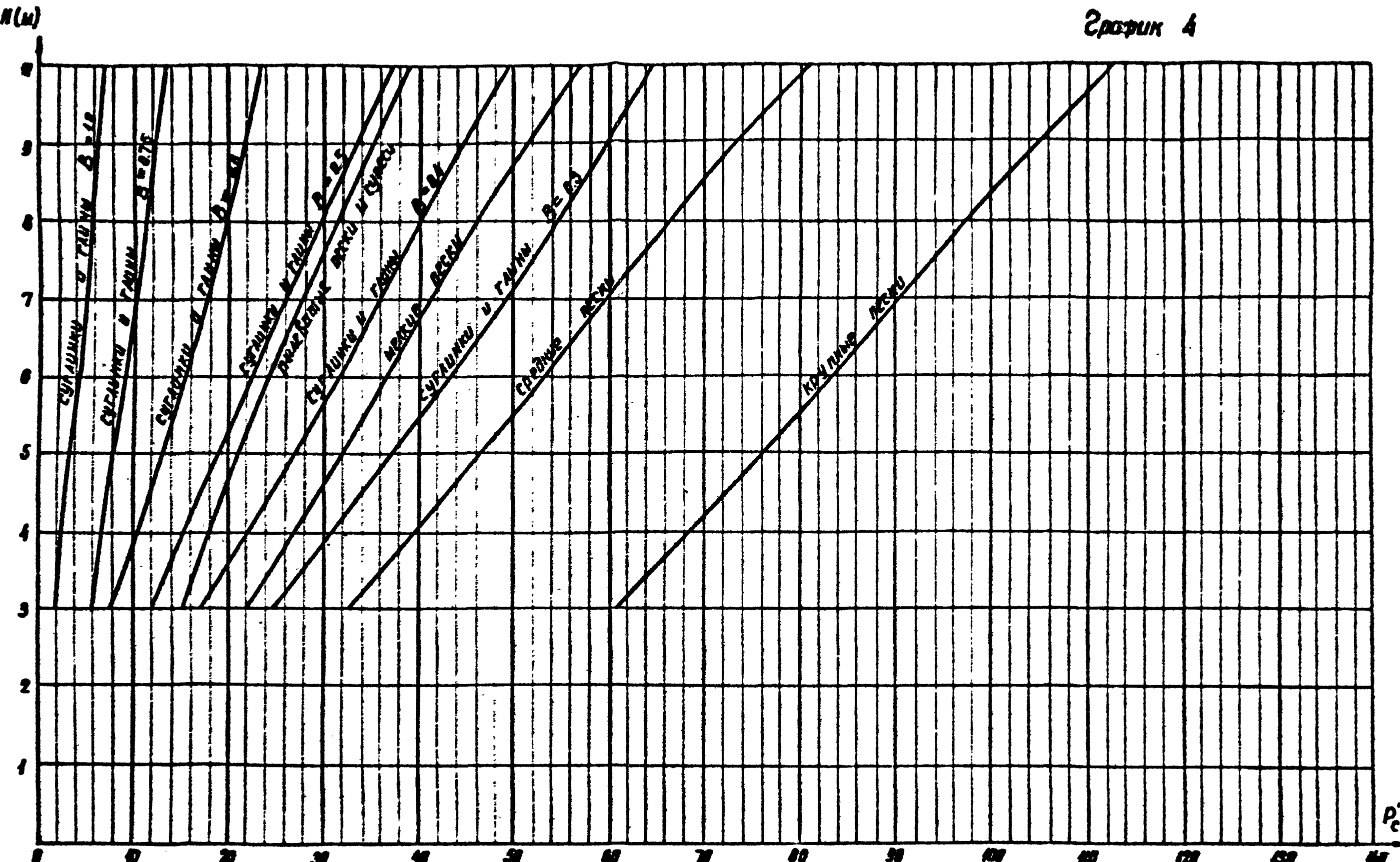
1. Актуалізація	Вивчення вимог та критеріїв якості
2. Планування	Визначення обсягу та складу діяльності
3. Виконання	Впровадження та реалізація діяльності
4. Контроль	Вимірювання та аналіз результатів
5. Розширення	Впровадження змін та оптимізація процесу

TK  
1973

График пределов сжимающих усилий сечением  $25 \times 25$  см. погруженных в воду-водный грунт

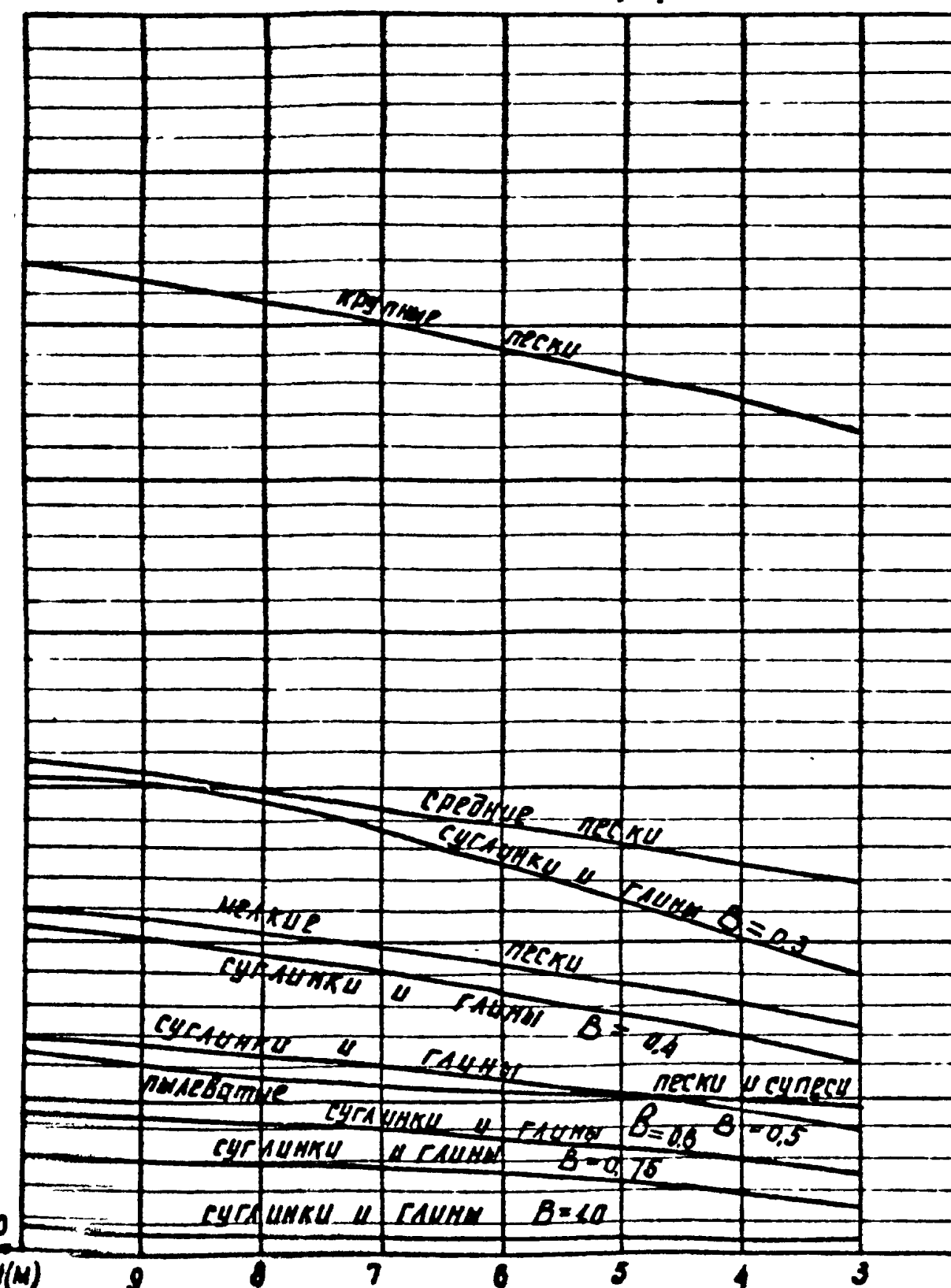
3-407-98  
Dunedin Augt  
1 195

7027 ТН-Т-97



ТК	График предельных сжимающих усилий свой сечением 35x35 см, погруженных в однородный грунт	З-407-92
1973	Форма АУ	31

Энергоснабжение  
Северо-Западного района  
Г. Ленинград



$P_e^a (P_s^a) (kN)$

40

35

30

25

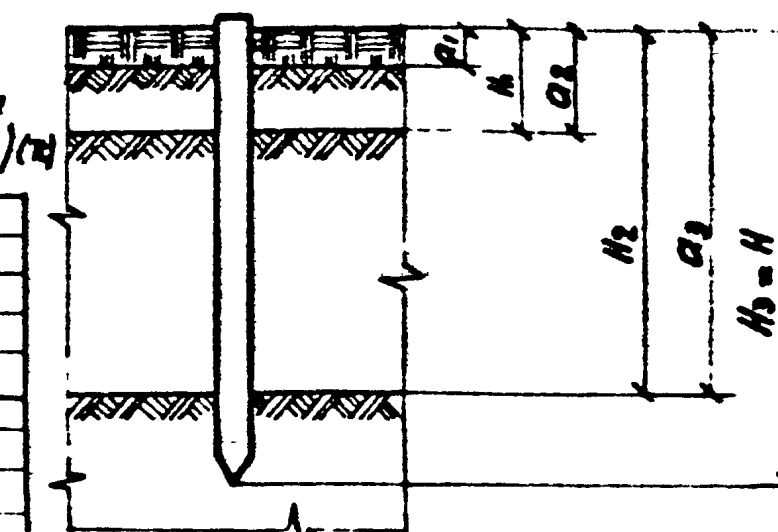
20

15

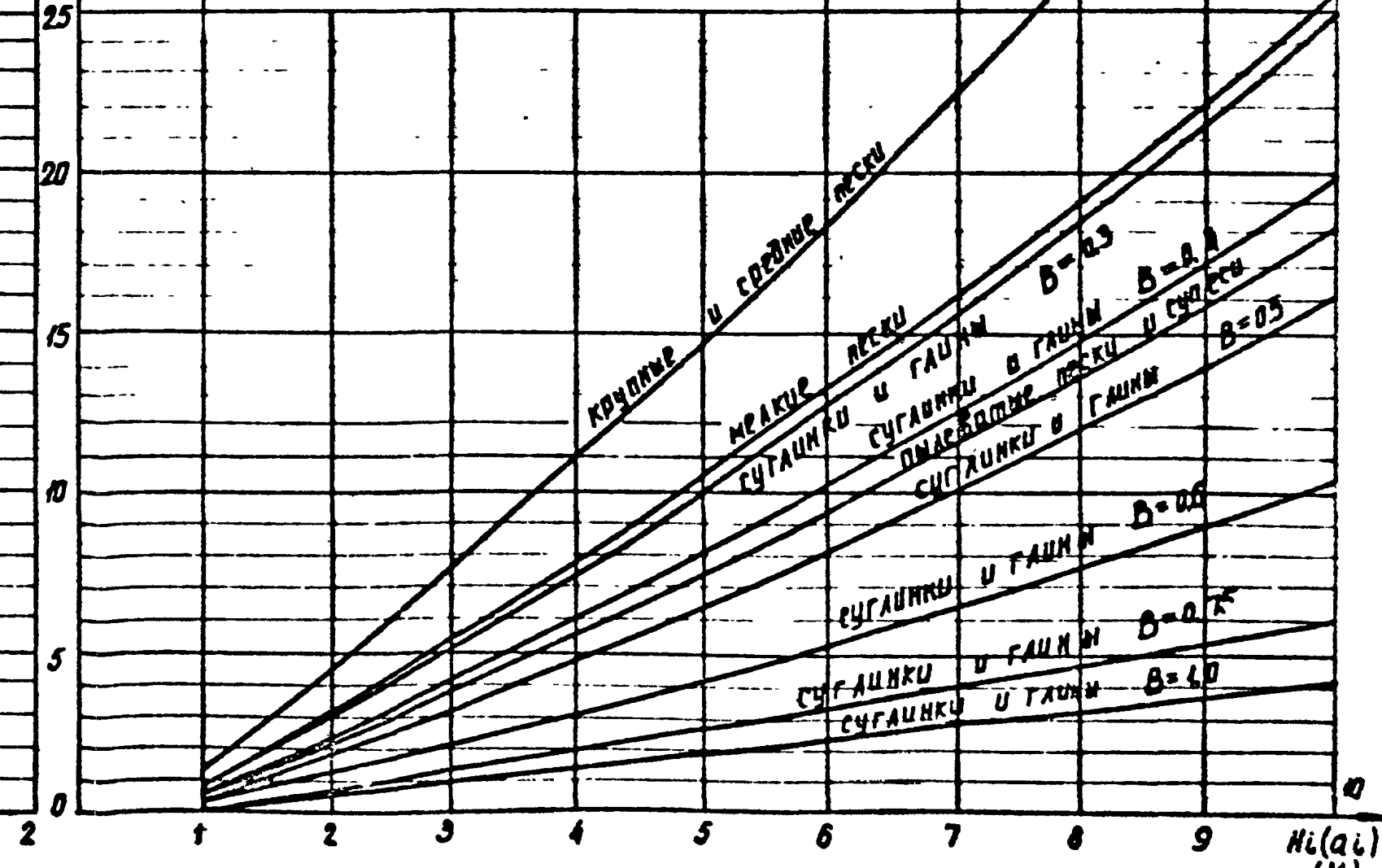
10

5

0



Расчетная  
схема свай

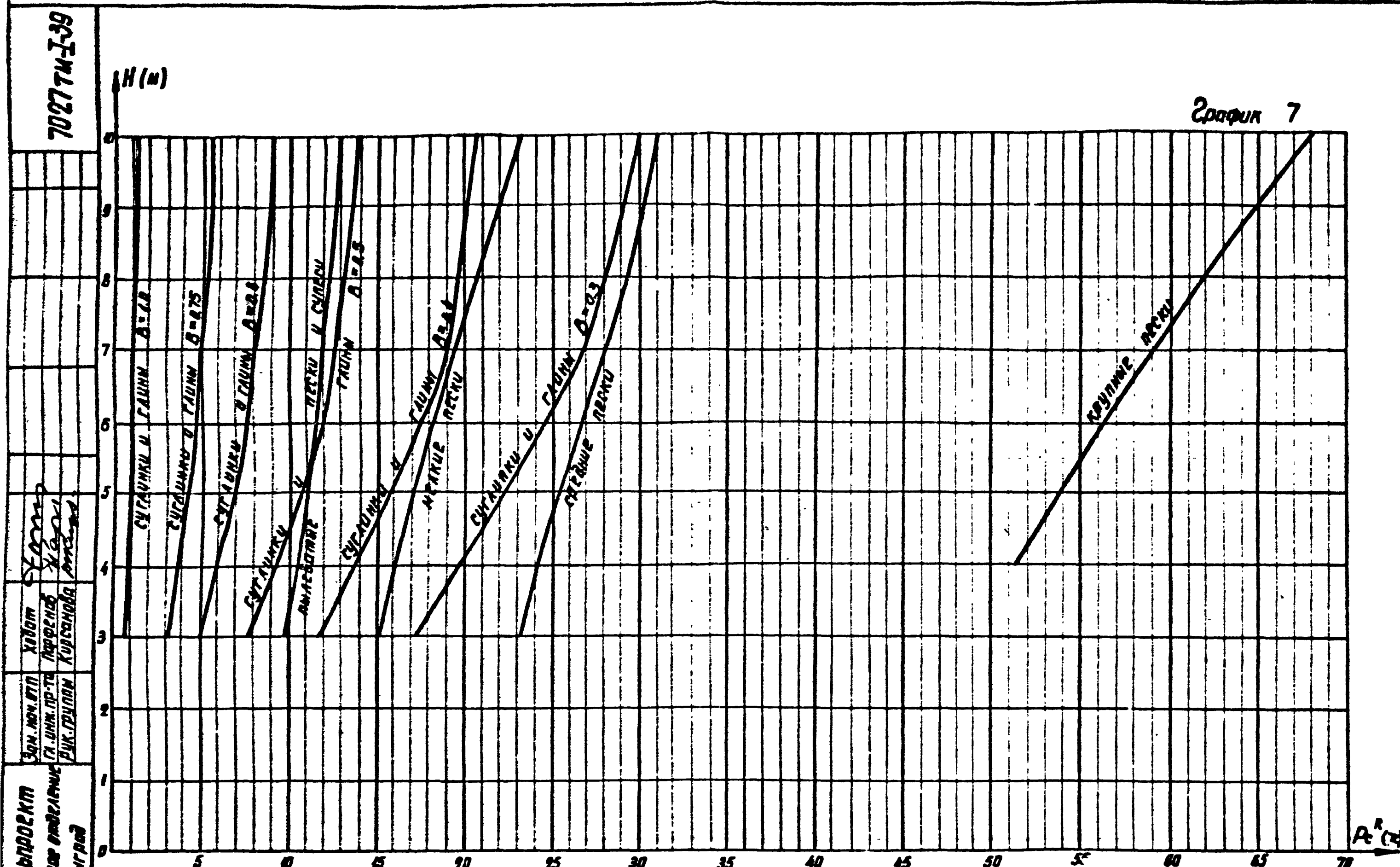


TK  
1973

Графики предельных сжимающих и вырывывающих усилий свай сечением 25x25 см, погруженных в ненародный грунт

3-407-98  
Выпуск № 1  
97

39

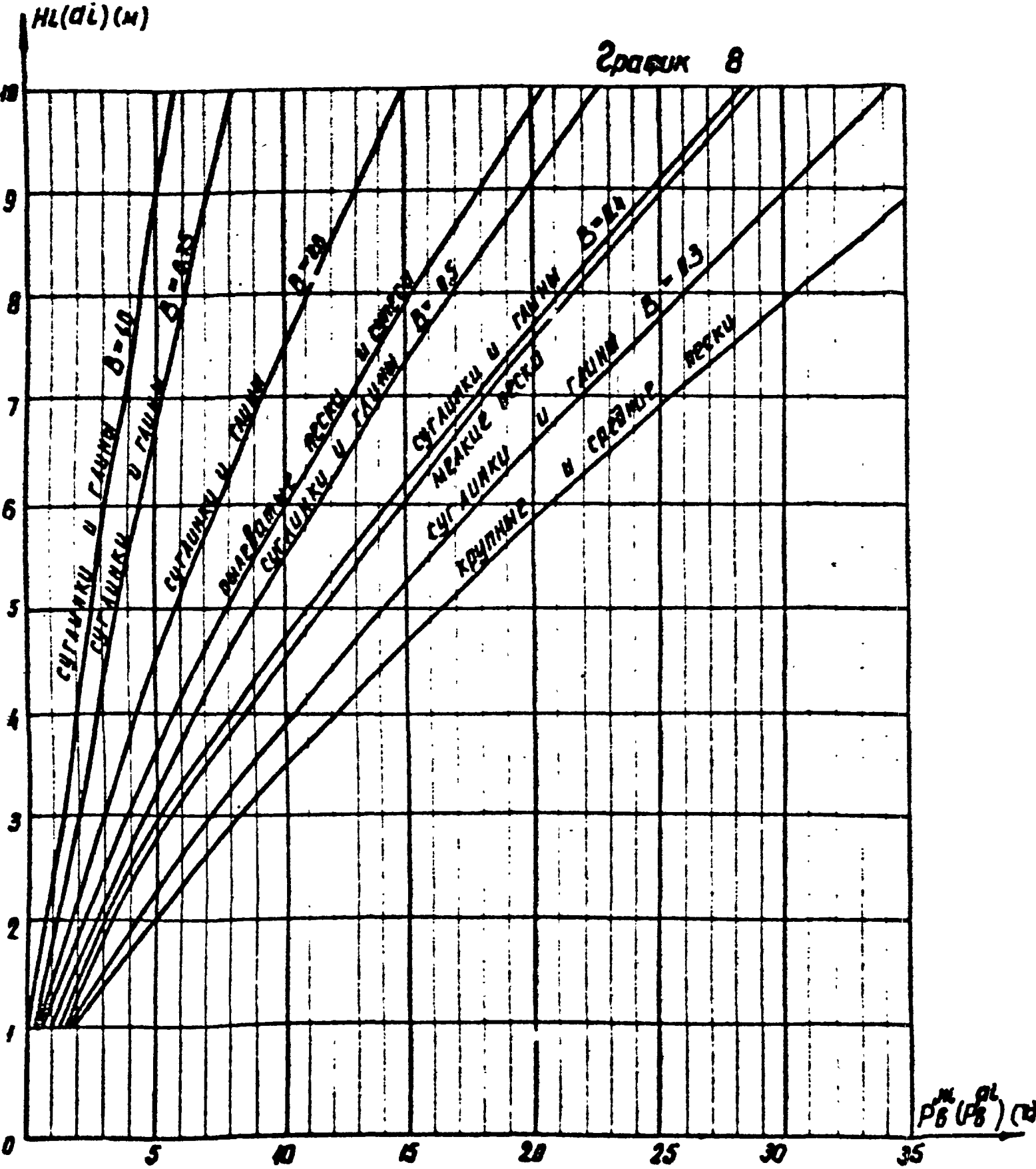


TK  
1973

*График предельных сжимающих усилий  
сваренных сечением 35x35 см, погруженных в  
неглубокий грунт*

3-407-98

70271М-Т-60

Справочник по определению коэффициентов  
погружения свай в грунты

odintakoi

## Таблица коэффициентов Тбл и Пос

Таблица 8

НН Пл	Способы погружения свай и виды грунтов	коэффициенты условий работы	
		Тбл	Пос
1	Погружение забивкой в предварительно пробуренные скважины (лидеры) с заглублением концов свай не менее 1м ниже забоя скважин при ее диаметре: а) равном стороне квадратной сваи б) на 50 мм меньше стороны сваи в) на 150 мм меньше стороны сваи	0,5 0,6 0,9	0,5 0,6 0,9
2	Погружение с подмывом в песчаные грунты при условии забивки свай на последнем метре погружения без применения подмыва	0,9	0,9
3	Однородное бурение грунта: а) песчаные средней плотности, пески крупные и средней крупности пески мелкие пески пылеватые б) глинистые с консистенцией В=1,0 супеси суглинки глины в) глинистые с консистенцией В=0,5 супеси суглинки глины г) глинистые с консистенцией В=0	1,0 1,0 1,0 0,8 0,8 0,8 0,8 0,8 0,9 0,9 0,9 0,9 0,9 0,9 0,9 0,9 1,0	1,0 1,0 1,0 0,8 0,8 0,8 0,8 0,8 0,9 0,9 0,9 0,9 0,9 0,9 0,9 0,9 1,0

Примечание. Коэффициенты по пункту 3 таблицы для глинистых грунтов находятся с интервалом в зависимости от величины В

ТК  
1973

График пределов вырывывающих усилий свай сечением 35x35 см, погруженных в глинистые грунты. Таблица коэффициентов условий работы Тбл и Пос

3-407-98  
Бланк № 1  
Лист 53

Условные обозначения данных, полученных при расчете  
основания подножников на ЭВМ в приведенном  
в таблицах 19 + 28

$(R_B'')$  - допускаемое давление грунта обратной засыпки при действии нагрузок поперек проводов подсчитанное с учетом базы стойки, режима работы и свойств грунта.

$(R_B'')^e$  ( $\text{t/m}^2$ ) - то же, вдоль проводов

$N_g^L (\pi)$  - допускаемая вырывавшая нагрузка при опрокидывании стойки поперек проводов

$N_g'' (\pi)$  - то же, вдоль проводов

$S_0 (n)$  - осадка подножника под действием нормативной скользящей нагрузки

$S_{\text{пр}}^L (n)$  - допускаемая осадка при опрокидывании стойки поперек проводов

$S_{\text{пр}}'' (n)$  - то же, вдоль проводов

$\bar{\sigma}_{\text{осн}} (\text{t/m}^2)$  - среднее давление под пяткой подножника от действующих нормативных скользящих нагрузок

$R_c'' (\text{t/m}^2)$  - нормативное давление на основание, подсчитанное по формуле (12) гл. СНиП II-Б. 1-62\*

$N_n^L (\pi)$  - предельная вырывавшая нагрузка при опрокидывании стойки поперек проводов

$N_n'' (\pi)$  - то же, вдоль проводов

$Q_{g'' \text{ст}}^L (\pi)$  - допускаемая горизонтальная нагрузка на притянутый подножник при опрокидывании стойки поперек проводов

$Q_{g'' \text{ст}} (\pi)$  - то же, вдоль проводов

$Q_{g''}^L (\pi)$  - предельная горизонтальная нагрузка при опрокидывании стойки поперек проводов

$Q_{g''} (\pi)$  - то же, вдоль проводов

$Q_{g''}^L \text{ диф.} (\pi)$  - допускаемая горизонтальная нагрузка на вырывавший подножник при опрокидывании стойки

поперек проводов

$\bar{\sigma}_{\text{р.б.ф.}} (\text{t/m}^2)$  - среднее давление по пятке от действия нормативных вырывавших нагрузок

Условные обозначения действующих усилий, приведенные  
в таблице 8

$N_b$  ( $\pi$ ) - действующая максимальная расчетная вырывавшая нагрузка на подножник

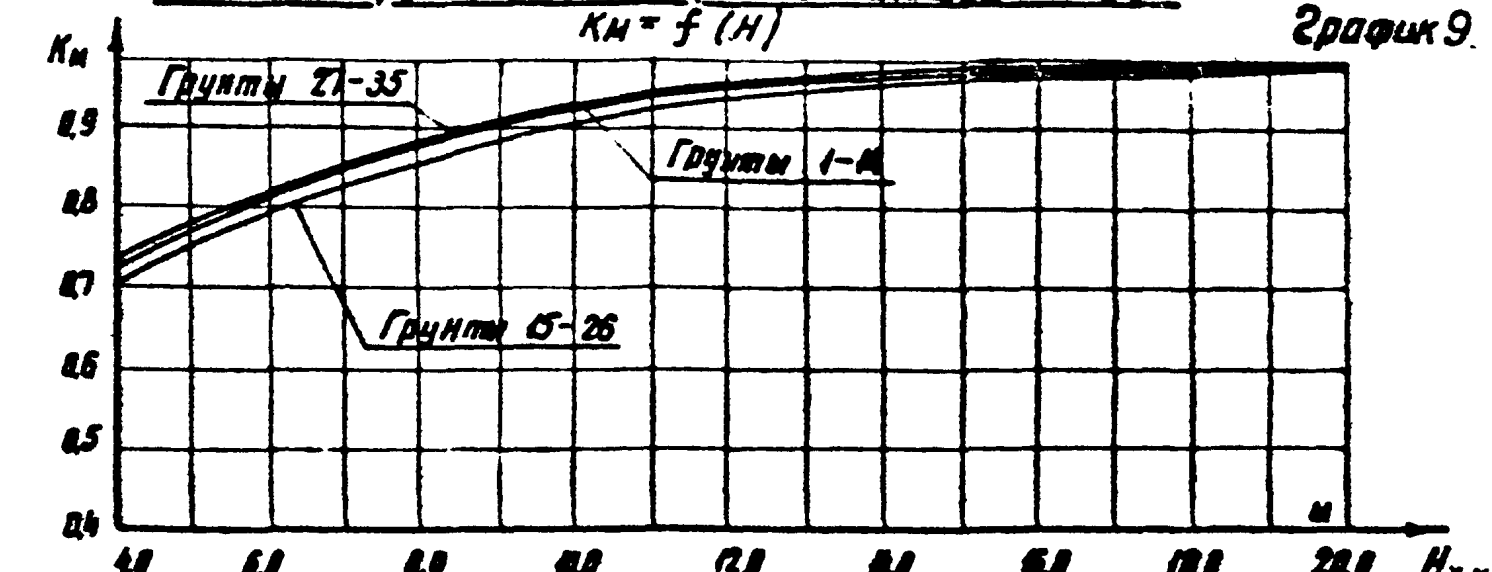
$N_b''$  ( $\pi$ ) - действующая максимальная нормативная вырывавшая нагрузка на подножник

$Q_{x,y}$  ( $\pi$ ) - действующая максимальная расчетная горизонтальная сила.

$Q_x'' (\pi)$  - действующие нормативные горизонтальные силы при сжатии или вырывании поперек проводов

$Q_x'' \text{бс}$  - то же, вдоль проводов

Кривые зависимости коэффициента  $K_m$  от  
высоты приложения опрокидывающей силы



$H_x,y$  - высота приложения действующей горизонтальной силы  $H_x,y = \frac{M_{xy}''}{Q_x''}$

ТК	Человеческие обозначения к расчету оснований подножников. График кривых зависимости коэффициента $K_m$	3-407-98
1973		Бюджет 1 40

Результаты расчета фундаментов II-7 (из подножников 451-2) при  $N_c'' = 5,2 \text{ тс}$   $N_g'' = 3,7 \text{ тс}$  кер. выс. 2,8 м Таблица 19

группы показателя	1	2	3	4	5	6	7	8	9	11	12	13	15	16	17	18	19	20	21	22	23	24	25	25	27	28	29	30	36	32	33	34	35					
	50 (н)	410 <sup>-3</sup>	5610 <sup>-3</sup>	2510 <sup>-3</sup>	4310 <sup>-3</sup>	5610 <sup>-3</sup>	2510 <sup>-3</sup>	5410 <sup>-3</sup>	810 <sup>-3</sup>	110 <sup>-3</sup>	1510 <sup>-3</sup>	1310 <sup>-3</sup>	2510 <sup>-3</sup>	910 <sup>-3</sup>	1410 <sup>-3</sup>	1710 <sup>-3</sup>	5210 <sup>-3</sup>	1010 <sup>-3</sup>	1510 <sup>-3</sup>	210 <sup>-3</sup>	7310 <sup>-3</sup>	1210 <sup>-3</sup>	1910 <sup>-3</sup>	2510 <sup>-3</sup>	3510 <sup>-3</sup>	2510 <sup>-3</sup>	1910 <sup>-3</sup>	210 <sup>-3</sup>	410 <sup>-3</sup>	5210 <sup>-3</sup>	1510 <sup>-3</sup>	2510 <sup>-3</sup>	1210 <sup>-3</sup>	210 <sup>-3</sup>				
Rc" (3/m <sup>2</sup> )	62,9	42,9	34,5	52,9	42,8	32,3	49,3	39,4	29,5	43,4	35,4	25,8	35,6	23,4	21,6	49,3	23,9	22,9	17,0	45,0	28,2	22,9	17,1	14,1	31,3	32,0	22,0	18,1	51,3	30,7	26,7	55,9	51,0					
Nn <sup>1,"</sup> (x)	8,2	3,8	3,6	2,8	7,6	3,2	8,0	2,3	6,8	8,2	7,5	6,6	8,0	2,5	6,8	10,2	7,7	6,5	5,8	11,6	8,8	7,7	6,2	5,5	19,8	11,2	8,1	6,7	16,5	12,8	8,5	17,4	11,5					
Qg <sub>1</sub> cm (x)	4,6	4,6	4,6	1,54	4,5	4,5	4,5	4,5	4,5	4,4	4,4	4,4	4,4	4,4	4,3	4,3	4,3	4,3	4,29	4,35	4,3	4,29	4,29	4,29	4,29	4,29	4,29	4,29	4,29	4,29	4,29	4,29	4,29	4,29	4,29	4,29	4,29	4,29
Qg <sub>2</sub> cm (x)	4,6	4,6	4,6	1,54	4,5	4,5	4,5	4,5	4,5	4,4	4,4	4,4	4,4	4,4	4,3	4,3	4,3	4,3	4,29	4,35	4,3	4,29	4,29	4,29	4,29	4,29	4,29	4,29	4,29	4,29	4,29	4,29	4,29	4,29	4,29	4,29	4,29	4,29
Qn <sup>1,"</sup> (x)	4,8	4,8	4,8	4,5	4,5	4,5	4,5	4,5	4,5	4,3	4,3	4,2	4,2	4,1	4,2	4,0	0,82	4,1	0,71	0,8	0,72	1,12	0,9	0,8	0,68	0,61	1,22	0,97	0,76	0,65	1,29	1,0	0,72	1,27	0,88			
Qg <sub>3</sub> cm (x)	0,99	0,99	0,99	0,9	0,9	0,9	0,83	0,83	0,83	0,79	0,79	0,78	0,75	0,72	0,66	0,75	0,69	0,65	0,62	0,75	0,68	0,64	0,6	0,57	0,77	0,70	0,62	0,58	0,78	0,7	0,61	0,76	2,65					
Qg <sub>4</sub> cm (x)	0,32	0,32	0,32	0,3	0,3	0,3	0,28	0,28	0,28	0,26	0,26	0,26	0,26	0,26	0,23	0,25	0,23	0,23	0,22	0,25	0,23	0,22	0,22	0,21	0,25	0,23	0,23	0,21	0,25	0,23	0,21	0,25	0,23	0,21	0,25	0,22		

Данные, общие для всех грунтов:  $S_{пр}^{4,0} = 46 \cdot 10^3 \text{ м}^2$ ;  $\bar{b}_{ср.ж.} = 7,15 \text{ м}$ ;  $\bar{b}_{ср.бд.р.} = 2,08 \text{ м}^2$ ;  $(Rb'')^{4,0} = 254 \text{ кН}^2$ ;  $Nq^{4,0} = 4,69 \text{ тс}$

Результаты расчета фундаментов П-7 (из подножников ФКТ-2) при  $N_c'' = 5,2 \text{ тс}$   $N_g'' = 3,7 \text{ тс}$   $h_{\text{зар.баз}} = -4,0 \text{ м}$  Таблица 20

группы периода	1	2	3	4	5	6	7	8	9	11	12	13	15	16	17	18	19	20	21	22	23	24	25	26	27	28	29	30	31	32	33	34	35
	$S_0(m)$	$4,4 \cdot 10^3$	$5,6 \cdot 10^3$	$7,5 \cdot 10^3$	$4,4 \cdot 10^3$	$5,6 \cdot 10^3$	$7,5 \cdot 10^3$	$5,4 \cdot 10^3$	$8,2 \cdot 10^3$	$1 \cdot 10^{-2}$	$16 \cdot 10^3$	$19 \cdot 10^3$	$25 \cdot 10^3$	$27 \cdot 10^3$	$4 \cdot 10^2$	$1,7 \cdot 10^2$	$5,7 \cdot 10^2$	$1 \cdot 10^{-2}$	$15 \cdot 10^2$	$2 \cdot 10^2$	$7,3 \cdot 10^2$	$12 \cdot 10^2$	$19 \cdot 10^2$	$2,6 \cdot 10^2$	$3,5 \cdot 10^2$	$7,5 \cdot 10^2$	$14 \cdot 10^2$	$2 \cdot 10^2$	$3 \cdot 10^2$	$9,5 \cdot 10^2$	$1 \cdot 10^3$	$25 \cdot 10^2$	$12 \cdot 10^2$
$Rc''(cm^2)$	63,9	12,0	32,5	54,0	42,8	32,3	49,3	39,5	27,4	43,5	36,5	25,8	35,6	28,4	21,6	49,2	28,9	22,9	17,0	45,0	28,2	22,9	17,1	14,0	51,3	30,0	24,9	19,1	54,2	32,6	26,7	55,0	31,0
$Mn^{1-}(%)$	6,9	6,5	6,3	6,5	6,3	6,0	6,8	6,1	5,7	7,0	6,3	5,4	9,2	7,7	5,5	9,4	6,9	5,7	4,9	10,8	8,0	6,9	5,4	5,7	13,5	10,4	7,3	5,9	15,7	12,0	37	18,6	12,7
$Qg^{+}cx(\tau)$	1,6	1,6	1,6	1,5	1,5	1,5	1,5	1,5	1,5	1,4	1,4	1,4	1,4	1,3	1,3	1,4	1,3	1,3	1,3	1,3	1,3	1,3	1,29	1,28	1,28	1,25	1,27	1,27	1,25	1,23	1,25	1,23	1,25
$Qg^{+}cx(\tau)$	1,6	1,6	1,6	1,5	1,5	1,5	1,5	1,5	1,5	1,4	1,4	1,4	1,4	1,3	1,3	1,4	1,3	1,3	1,3	1,3	1,3	1,3	1,29	1,28	1,28	1,25	1,27	1,27	1,25	1,23	1,25	1,23	1,25
$Qg^{+}cx(\tau)$	1,6	1,6	1,6	1,5	1,5	1,5	1,5	1,5	1,5	1,4	1,4	1,4	1,4	1,3	1,3	1,4	1,3	1,3	1,3	1,3	1,3	1,3	1,29	1,28	1,28	1,25	1,27	1,27	1,25	1,23	1,25	1,23	1,25
$Qn^{1-}(\tau)$	1,8	1,8	1,8	1,5	1,5	1,5	1,3	1,3	1,3	1,2	1,2	1,1	1,2	1,0	0,82	1,1	0,91	0,8	0,72	1,1	0,9	0,8	0,68	0,61	1,22	0,97	0,76	0,65	1,29	1,0	0,72	1,27	0,66
$Qg^{+}bx(\tau)$	0,76	0,76	0,76	0,69	0,69	0,69	0,64	0,64	0,64	0,61	0,61	0,6	0,59	0,58	0,52	0,58	0,54	0,51	0,49	0,58	0,53	0,5	0,47	0,45	0,59	0,54	0,49	0,46	0,66	0,54	0,48	0,59	0,51
$Qg^{+}bx(\tau)$	0,72	0,72	0,72	0,69	0,69	0,69	0,64	0,64	0,64	0,61	0,61	0,6	0,59	0,58	0,52	0,58	0,54	0,51	0,49	0,58	0,53	0,5	0,47	0,45	0,59	0,54	0,49	0,46	0,66	0,54	0,48	0,59	0,51

Данные, общие для всех грунтов:  $S_{np}^{L''} = 4,6 \cdot 10^2 \text{ м}^2$ ;  $\sigma_{ср.ст.} = 715 \text{ кг/м}$ ;  $\sigma_{ср.бокр.} = 2,35 \text{ кг/м}^2$ ;  $(R_B^{L''})^{L''} = 2,54 \text{ кг/м}^2$ ;  $N_g^{L''} = 4,3 \text{ т}$

## Примечание

Условные обозначения см. лист 40

Результаты расчета фундаментов П-7 (из подножников Ф1-2) при  $N_c^H=6,1 \text{ тс}$   $N_b^H=4,4 \text{ тс}$   $h_{\text{гр.баз}}=-2,2 \text{ м}$  Таблица 21

Грунты	1	2	3	4	5	6	7	8	9	11	12	13	15	16	17	18	19	20	21	22	23	24	25	26	27	28	29	30	31	32	33	34	35				
Результаты																																					
$S_0 (\text{м})$	53.10 <sup>-3</sup>	57.10 <sup>-3</sup>	55.10 <sup>-3</sup>	53.10 <sup>-3</sup>	57.10 <sup>-3</sup>	35.10 <sup>-3</sup>	66.10 <sup>-3</sup>	95.10 <sup>-3</sup>	13.10 <sup>-2</sup>	52.10 <sup>-3</sup>	24.10 <sup>-2</sup>	23.10 <sup>-3</sup>	105.10 <sup>-3</sup>	151.10 <sup>-3</sup>	231.10 <sup>-3</sup>	55.10 <sup>-3</sup>	125.10 <sup>-3</sup>	125.10 <sup>-3</sup>	14.10 <sup>-2</sup>	119.10 <sup>-3</sup>	235.10 <sup>-3</sup>	122.10 <sup>-3</sup>	14.10 <sup>-2</sup>	21.10 <sup>-2</sup>	34.10 <sup>-2</sup>	34.10 <sup>-2</sup>	33.10 <sup>-2</sup>										
$R_c^H (\text{t/m}^2)$	53.93	47.97	38.54	53.96	42.84	32.32	49.3	39.41	27.46	43.46	36.46	22.79	35.68	28.39	21.62	44.29	28.89	29.92	16.98	45.84	28.22	22.87	17.11	14.08	51.28	30.13	24.93	19.05	54.26	38.58	23.73	55.97	33.97				
$X_p^{L,H} (\text{м})$	0.2	7.61	7.56	7.81	7.56	7.2	8.02	7.32	6.84	8.23	7.53	6.61	9.99	8.48	6.31	10.21	7.68	6.55	5.78	11.62	8.79	7.67	6.24	5.5	14.29	11.16	8.89	6.69	15.92	12.78	8.49	17.38	11.51				
$Q_g^L \text{сж} (\text{т})$	1.63	1.63	1.63	1.54	1.54	1.54	1.47	1.46	1.46	1.43	1.42	1.38	1.34	1.31	1.36	1.32	1.3	1.3	1.35	1.3	1.29	1.28	1.29	1.35	1.3	1.27	1.27	1.35	1.29	1.25	1.34	1.26					
$Q_g^H \text{сж} (\text{т})$	1.63	1.63	1.63	1.54	1.54	1.54	1.47	1.46	1.46	1.43	1.42	1.38	1.34	1.31	1.36	1.32	1.3	1.23	1.35	1.3	1.29	1.18	1.05	1.35	1.3	1.27	1.13	1.35	1.29	1.25	1.34	1.26					
$Q_g^L \text{выр} (\text{т})$	1.83	1.83	1.83	1.52	1.52	1.52	1.3	1.27	1.27	1.18	1.15	1.13	1.15	1.0	0.82	1.12	0.91	0.8	0.72	1.12	0.9	0.8	0.68	0.61	1.22	0.97	0.76	0.65	1.29	1.0	0.72	1.27	0.86				
$Q_g^H \text{выр} (\text{т})$	0.79	0.8	0.8	0.73	0.73	0.73	0.68	0.67	0.67	0.65	0.64	0.64	0.62	0.59	0.54	0.61	0.56	0.54	0.51	0.61	0.56	0.53	0.5	0.47	0.62	0.57	0.51	0.48	0.63	0.57	0.5	0.62	0.53				
$Q_g^L \text{выр} (\text{т})$	0.32	0.32	0.32	0.29	0.29	0.29	0.28	0.28	0.28	0.27	0.26	0.26	0.25	0.23	0.24	0.23	0.22	0.25	0.23	0.23	0.22	0.21	0.25	0.23	0.22	0.21	0.25	0.24	0.21	0.25	0.22						

Данные, общие для всех грунтов:  $S_{ap}^{L,H}=4.6 \cdot 10^{-2} \text{ м}$ ;  $\sigma_{cr.сж}=7.64 \text{ кг/м}^2$ ;  $\sigma_{cr.выр}=2.31 \text{ кг/м}^2$ ;  $(R_c^H)^{L,H}=2.54 \text{ кг/м}^2$ ;  $N_g^{L,H}=4.69 \text{ тс}$

\* Прочность основания фундаментов при  $h_{\text{гр.баз}}=-1,0$  не обеспечена.

Результаты расчета фундаментов П-8 (из подножников Ф1-2) при  $N_c^H=6,1 \text{ тс}$   $N_b^H=4,4 \text{ тс}$   $h_{\text{гр.баз}}=-1,0$  Таблица 22

Грунты	1	2	3	4	5	6	7	8	9	11	12	13	15	16	17	18	19	20	21	22	23	24	25	26	27	28	29	30	31	32	33	34	35
Результаты																																	
$S_0 (\text{м})$	47.10 <sup>-3</sup>	62.10 <sup>-3</sup>	38.10 <sup>-3</sup>	47.10 <sup>-3</sup>	62.10 <sup>-3</sup>	38.10 <sup>-3</sup>	53.10 <sup>-3</sup>	83.10 <sup>-3</sup>	11.10 <sup>-2</sup>	18.10 <sup>-2</sup>	21.10 <sup>-2</sup>	26.10 <sup>-2</sup>	95.10 <sup>-3</sup>	14.10 <sup>-2</sup>	19.10 <sup>-2</sup>	62.10 <sup>-3</sup>	11.10 <sup>-2</sup>	15.10 <sup>-2</sup>	22.10 <sup>-2</sup>	25.10 <sup>-2</sup>	13.10 <sup>-2</sup>	24.10 <sup>-2</sup>	28.10 <sup>-2</sup>	3.9.10 <sup>-2</sup>	32.10 <sup>-3</sup>	15.10 <sup>-2</sup>	23.10 <sup>-3</sup>	3.5.10 <sup>-2</sup>	14.10 <sup>-2</sup>	18.10 <sup>-2</sup>	28.10 <sup>-2</sup>	13.10 <sup>-2</sup>	22.10 <sup>-2</sup>
$R_c^H (\text{t/m}^2)$	77.4	38.3	47.0	64.8	51.8	39.3	58.7	47.3	33.2	51.2	43.3	38.8	39.7	32.2	25.1	48.2	32.4	26.2	19.9	48.9	31.3	25.6	19.6	16.3	54.2	32.6	27.3	21.2	56.7	32.9	28.7	58.1	32.8
$X_p^{L,H} (\text{м})$	9.5	9.0	8.6	9.0	8.6	8.1	9.2	8.3	7.6	9.4	8.5	7.3	11.9	10.0	7.3	12.2	9.0	7.6	6.6	14.2	10.5	9.0	7.1	6.1	17.8	13.6	9.5	7.7	28.5	15.7	10.0	21.6	13.9
$Q_g^L \text{сж} (\text{т})$	2.08	2.08	2.08	1.92	1.92	1.92	1.79	1.78	1.78	1.71	1.7	1.69	1.63	1.56	1.47	1.6	1.51	1.45	1.41	1.58	1.48	1.43	1.37	1.33	1.59	1.49	1.39	1.33	1.6	1.48	1.35	1.58	1.4
$Q_g^H \text{сж} (\text{т})$	2.08	2.08	2.08	1.92	1.92	1.92	1.79	1.78	1.78	1.71	1.7	1.69	1.63	1.56	1.47	1.6	1.51	1.45	1.41	1.58	1.48	1.43	1.37	1.33	1.59	1.49	1.39	1.33	1.6	1.48	1.35	1.58	1.4
$Q_g^L \text{выр} (\text{т})$	3.18	3.18	3.18	2.63	2.63	2.63	2.22	2.18	2.18	2.01	1.97	1.93	1.88	1.65	1.38	1.82	1.5	1.33	1.2	1.8	1.46	1.3	1.13	1.82	1.92	1.55	1.23	1.06	1.99	1.57	1.96	1.35	
$Q_g^H \text{выр} (\text{т})$	1.88	1.88	1.88	1.69	1.69	1.69	1.53	1.52	1.52	1.44	1.42	1.41	1.34	1.26	1.44	1.32	1.19	1.11	1.1	1.31	1.17												

Результаты расчета фундаментов П-8 (из подножников Ф1-2) при  $N_G^H = 6,5 \text{ тс}$ ;  $N_b^H = 4,9 \text{ тс}$ ;  $\eta_{\text{сп.вн}} = -2,2 \text{ м}$  Таблица 23

Грунты	1	2	3	4	5	6	7	8	9	11	12	13	15	16	17	18	19	20	21	22	23	24	25	26	27	28	29	30	31	32	33	34	35	
Результаты																																		
$S_0 (\text{м})$	53·10 <sup>-3</sup>	53·10 <sup>-3</sup>	51·10 <sup>-3</sup>	55·10 <sup>-3</sup>	58·10 <sup>-3</sup>	53·10 <sup>-3</sup>	59·10 <sup>-3</sup>	57·10 <sup>-3</sup>	53·10 <sup>-3</sup>	23·10 <sup>-3</sup>	3·10 <sup>-2</sup>	11·10 <sup>-2</sup>	16·10 <sup>-2</sup>	21·10 <sup>-2</sup>	72·10 <sup>-3</sup>	12·10 <sup>-2</sup>	18·10 <sup>-2</sup>	25·10 <sup>-2</sup>	37·10 <sup>-2</sup>	14·10 <sup>-2</sup>	23·10 <sup>-2</sup>	31·10 <sup>-2</sup>	42·10 <sup>-2</sup>	3·10 <sup>-3</sup>	12·10 <sup>-2</sup>	25·10 <sup>-2</sup>	33·10 <sup>-2</sup>	32·10 <sup>-2</sup>	24·10 <sup>-2</sup>	31·10 <sup>-2</sup>	25·10 <sup>-2</sup>	24·10 <sup>-2</sup>		
$R_c^H (\text{Н/м}^2)$	77.4	58.3	47.0	64.7	51.8	39.2	58.7	47.3	33.2	51.3	43.3	32.8	39.7	32.2	25.1	43.2	32.4	26.2	19.8	43.4	31.3	25.6	19.6	16.3	54.1	32.6	27.3	21.2	56.7	32.8	28.7	58.8	32.8	
$N_a^{L,H} (\text{т})$	4.9	4.3	10.9	4.3	10.9	10.3	11.5	10.4	9.7	11.6	10.6	9.3	13.2	11.3	8.5	13.5	10.3	8.8	7.8	15.4	11.8	19.3	8.4	7.3	13.9	14.8	10.7	8.9	21.8	16.9	11.2	22.8	15.1	
$Q_{g^1 \text{СЖ}} (\text{Н})$	2.88	2.08	2.88	1.9	1.9	1.9	1.78	1.78	1.73	1.71	1.7	1.69	1.63	1.55	1.47	1.6	1.51	1.45	1.41	1.58	1.48	1.43	1.37	1.33	1.6	1.49	1.39	1.33	1.6	1.5	1.35	1.58	1.4	
$Q_{g^2 \text{СЖ}} (\text{Н})$	2.88	2.08	2.88	1.9	1.9	1.9	1.78	1.78	1.78	1.71	1.7	1.69	1.63	1.56	1.47	1.6	1.51	1.45	1.41	1.58	1.48	1.43	1.37	1.33	1.6	1.49	1.39	1.33	1.6	1.5	1.35	1.58	1.4	
$Q_{g^1 \text{Быр}} (\text{Н})$	3.48	3.48	3.48	2.62	2.63	2.63	2.22	2.10	2.18	2.01	1.97	1.93	1.88	1.65	1.38	1.82	1.5	1.33	1.2	1.8	1.46	1.3	1.13	1.02	1.92	1.55	1.23	1.86	1.59	1.57	1.16	1.84	1.35	
$Q_{g^2 \text{Быр}} (\text{Н})$	1.82	1.82	1.82	1.63	1.63	1.63	1.48	1.46	1.45	1.38	1.36	1.36	1.31	1.22	1.10	1.28	1.15	1.08	1.02	1.26	1.13	1.05	0.97	0.92	1.3	1.15	1.01	0.94	1.32	1.15	0.88	1.29	1.85	
$Q_{g^3 \text{Быр}} (\text{Н})$	0.65	0.65	0.65	0.59	0.59	0.59	0.55	0.54	0.54	0.52	0.52	0.51	0.49	0.47	0.44	0.43	0.45	0.43	0.41	0.48	0.44	0.42	0.40	0.38	0.48	0.44	0.4	0.38	0.49	0.44	0.39	0.48	0.41	

Данные, общие для всех грунтов:  $S_{\text{пр.}}^{L,H} = 4.6 \cdot 10^{-2} \text{ м}$ ;  $\bar{b}_{\text{ср.СЖ}} = 8.8 \text{ Н/м}^2$ ;  $\bar{b}_{\text{ср.Быр}} = 2.58 \text{ Н/м}^2$ ;  $(R_b^H)^{L,H} = 3.05 \text{ Н/м}^2$ ;  $N_g^{L,H} = 5.5 \text{ тс}$

Результаты расчета фундаментов П-8 (из подножников Ф1-2) при  $N_G^H = 6,5 \text{ тс}$ ;  $N_b^H = 4,9 \text{ тс}$   $\eta_{\text{сп.вн}} = -10 \text{ м}$  Таблица 24

Грунты	1	2	3	4	5	6	7	8	9	11	12	13	15	16	17	18	19	20	21	22	23	24	25	26	27	28	29	30	31	32	33	34	35	
Результаты																																		
$S_0 (\text{м})$	53·10 <sup>-3</sup>	53·10 <sup>-3</sup>	51·10 <sup>-3</sup>	55·10 <sup>-3</sup>	58·10 <sup>-3</sup>	53·10 <sup>-3</sup>	59·10 <sup>-3</sup>	57·10 <sup>-3</sup>	53·10 <sup>-3</sup>	23·10 <sup>-3</sup>	3·10 <sup>-2</sup>	11·10 <sup>-2</sup>	16·10 <sup>-2</sup>	21·10 <sup>-2</sup>	72·10 <sup>-3</sup>	12·10 <sup>-2</sup>	18·10 <sup>-2</sup>	25·10 <sup>-2</sup>	37·10 <sup>-2</sup>	14·10 <sup>-2</sup>	23·10 <sup>-2</sup>	31·10 <sup>-2</sup>	42·10 <sup>-2</sup>	3·10 <sup>-3</sup>	12·10 <sup>-2</sup>	25·10 <sup>-2</sup>	33·10 <sup>-2</sup>	32·10 <sup>-2</sup>	24·10 <sup>-2</sup>	31·10 <sup>-2</sup>	25·10 <sup>-2</sup>	24·10 <sup>-2</sup>		
$R_c^H (\text{Н/м}^2)$	77.4	58.3	47.0	64.7	51.8	39.2	58.7	47.3	33.2	51.3	43.3	30.8	39.8	32.2	25.0	48.1	32.4	26.2	19.9	43.3	31.3	25.6	19.6	16.3	54.2	32.6	27.3	21.2	56.7	32.8	28.7	58.8	32.8	
$N_a^{L,H} (\text{т})$	9.5	9.0	8.6	9.0	8.6	8.1	9.2	8.3	7.6	9.4	8.5	7.3	11.9	10.0	7.3	12.2	9.03	7.6	6.6	14.2	10.5	9.03	7.1	6.1	12.8	13.6	9.5	7.7	20.6	15.7	12.0	21.6	13.9	
$Q_{g^1 \text{СЖ}} (\text{Н})$	2.88	2.08	2.88	1.92	1.92	1.92	1.79	1.78	1.78	1.71	1.7	1.69	1.62	1.56	1.47	1.6	1.51	1.45	1.41	1.58	1.48	1.43	1.37	1.33	1.6	1.49	1.39	1.33	1.6	1.48	1.35	1.53	1.4	
$Q_{g^2 \text{СЖ}} (\text{Н})$	2.08	2.08	2.08	1.92	1.92	1.92	1.79	1.78	1.78	1.71	1.7	1.69	1.62	1.56	1.47	1.6	1.51	1.45	1.41	1.58	1.48	1.43	1.37	1.33	1.6	1.49	1.39	1.33	1.6	1.48	1.35	1.53	1.4	
$Q_{g^1 \text{Быр}} (\text{Н})$	3.48	3.48	3.48	2.62	2.63	2.63	2.22	2.10	2.18	2.01	1.97	1.93	1.88	1.65	1.38	1.82	1.5	1.33	1.2	1.8	1.46	1.3	1.13	1.02	1.92	1.55	1.23	1.86	1.59	1.57	1.16	1.84	1.35	
$Q_{g^2 \text{Быр}} (\text{Н})$	1.39	1.39	1.39	1.28	1.28	1.26	1.15	1.13	1.13	1.08	1.07	1.06	1.02	0.95	0.87	1.0	0.91	0.85	0.81	0.99	0.89	0.84	0.78	0.74	1.0	0.91	0.88	0.75	1.01	0.91	0.78	1.0	0.83	
$Q_{g^3 \text{Быр}} (\text{Н})$	0.65	0.65	0.65	0.59	0.59	0.59	0.55	0.54	0.54	0.52	0.																							

Результаты расчета фундаментов П-9 (из плинтусиков 42-2) при  $N_c^{''} = 9,0 \text{ тс}$ ;  $N_b^{''} = 7,4 \text{ тс}$ ;  $h_{\text{под}} > 2,5 \text{ м}$  Таблица 25 45

Результаты	Группы																																
	1	2	3	4	5	6	7	8	9	11	12	13	15	16	17	18	19	20	21	22	23	24	25	26	27	28	29	30	31	32	33	34	35
$S_0 \text{ (н)}$	$5 \cdot 10^{-3}$																																
$R_c^{(n)} \text{ (н/м}^2)$	15,25	15,17	15,2	15,2	15,3	15,3	15,5	15,5	15,5	15,5	15,5	15,5	15,5	15,5	15,5	15,5	15,5	15,5	15,5	15,5	15,5	15,5	15,5	15,5	15,5	15,5	15,5	15,5	15,5	15,5	15,5	15,5	15,5
$N_g^{(n)} \text{ (н)}$	11,98	11,25	13,31	14,25	13,84	13,2	14,11	13,41	12,53	14,67	13,81	12,23	15,3	14,3	11,4	16,53	13,27	11,75	10,7	18,62	11,81	13,3	14,33	13,27	22,45	14,2	13,25	14,29	15,45	14,51	21,63	13,5	
$Bg^{(n)} \text{ сж (н)}$	2,57	2,57	2,57	2,42	2,42	2,42	2,3	2,29	2,29	2,23	2,22	2,21	2,15	2,03	2,03	2,13	2,05	2,01	1,98	2,1	2,02	1,98	1,95	1,93	2,1	2,02	1,95	1,92	1,92	2,21	1,92	2,09	1,95
$Bg^{(n)} \text{ сж (н)}$	2,57	2,57	2,57	2,42	2,42	2,42	2,3	2,29	2,29	2,23	2,22	2,21	2,15	2,03	2,03	2,13	2,05	2,01	1,98	2,1	2,02	1,98	1,95	1,93	2,1	2,02	1,98	1,95	1,92	2,21	1,92	2,09	1,95
$Qg^{(n)} \text{ (н)}$	3,57	3,57	3,57	2,96	2,96	2,96	2,51	2,45	2,46	2,28	2,23	2,19	2,14	1,83	1,57	2,07	1,71	1,52	1,37	2,05	1,67	1,49	1,29	1,17	2,18	1,77	1,4	1,22	2,21	1,79	1,32	2,21	1,51
$Bg^{(n)} \text{ дуп. (н)}$	1,19	1,19	1,19	1,09	1,09	1,09	1,02	1,01	1,01	0,97	0,95	0,95	1,62	1,53	1,41	1,6	1,46	1,38	1,32	1,58	1,44	1,36	1,27	1,21	1,62	1,47	1,32	1,23	1,61	1,47	1,28	1,61	1,45
$Qg^{(n)} \text{ дуп. (н)}$	0,5	0,5	0,5	0,47	0,47	0,47	0,44	0,44	0,44	0,4	0,42	0,42	0,5	0,48	0,45	0,49	0,46	0,44	0,43	0,48	0,45	0,43	0,41	0,4	0,43	0,45	0,42	0,4	0,45	0,41	0,43	0,45	0,45

Установленные, общие для всех фунитов:  $S_{np}^{L''} = 4,6 \cdot 10^{-2} \text{ м}$ ;  $G_{\text{Ф.сж.}} = 8,2 \text{ Тс/м}$ ;  $G_{\text{Ф.изр.}} = 2,41 \text{ Тс/м}^2$ ;  $(Rg^{L''})_{\text{грун.изр.}} = 3,2 \text{ Тс/м}^2$ ;  $Ng_{\text{грун.изр.}}^{L''} = 8,9 \text{ Тс}$

<sup>\*)</sup>Прочность оснований фундаментов при  $n_{\text{зр.взд}} = -1,0$  не обеспечена.

Результаты расчета фундаментов П-10 (из подножников Ф3-2) при  $N_c' = 9,0 \text{ тс}$ ;  $N_B' = 7,4 \text{ тс}$ ;  $h_{\text{ф-вог}} = -1,0 \text{ м}$  Таблица 26

Группы Результаты	1	2	3	4	5	6	7	8	9	11	12	13	15	16	17	18	19	20	21	22	23	24	25	26	27	28	29	30	31	32	33	34	35
	1	2	3	4	5	6	7	8	9	11	12	13	15	16	17	18	19	20	21	22	23	24	25	26	27	28	29	30	31	32	33	34	35
$S_0$ (m)	$27 \cdot 10^{-3}$	$4 \cdot 10^{-3}$	$6 \cdot 10^{-3}$	$27 \cdot 10^{-3}$	$4 \cdot 10^{-3}$	$6 \cdot 10^{-3}$	$33 \cdot 10^{-3}$	$5 \cdot 10^{-3}$	$3 \cdot 10^{-3}$	$11 \cdot 10^{-3}$	$13 \cdot 10^{-3}$	$2 \cdot 10^{-3}$	$5,3 \cdot 10^{-3}$	$9 \cdot 10^{-3}$	$1,2 \cdot 10^{-2}$	$3,5 \cdot 10^{-3}$	$7 \cdot 10^{-3}$	$1 \cdot 10^{-2}$	$1,6 \cdot 10^{-3}$	$5 \cdot 10^{-3}$	$3,4 \cdot 10^{-3}$	$4,5 \cdot 10^{-3}$	$2,3 \cdot 10^{-3}$	$3,1 \cdot 10^{-3}$	$5,3 \cdot 10^{-3}$	$1,1 \cdot 10^{-2}$	$1,8 \cdot 10^{-3}$	$2,8 \cdot 10^{-3}$	$1,6 \cdot 10^{-3}$	$1,5 \cdot 10^{-3}$	$2,3 \cdot 10^{-3}$	$1,1 \cdot 10^{-2}$	
$R_C^{(k)}$ ( $\text{Pa}^2/\text{m}^2$ )	84,4	61,08	49,32	87,75	54,22	41,86	61,28	49,37	34,63	53,36	45,07	32,05	40,7	33,0	25,69	49,03	33,2	26,23	22,5	46,11	31,54	26,15	27,12	16,75	54,77	33,13	27,74	21,57	57,5	33,27	29,22	58,43	33,15
$N_{n_i}^{(k,n)}$ (T)	4,06	13,42	13,01	13,42	13,01	12,41	13,68	12,61	11,84	13,92	12,87	11,48	15,59	14,58	11,68	15,88	13,51	12,0	12,95	13,82	15,02	13,62	11,58	10,55	22,53	18,3	14,12	12,2	25,72	23,64	14,2	27,1	1,9
$B_g^{(1)} \text{ СЖ}$ ( $\text{Pa}$ )	3,15	3,15	3,15	3,03	3,03	3,03	2,93	2,93	2,93	2,83	2,87	2,87	2,80	2,78	2,75	2,78	2,75	2,73	2,74	2,76	2,72	2,71	2,72	2,74	2,75	2,7	2,69	2,71	2,75	2,68	2,72	2,65	
$B_g^{(2)} \text{ СЖ}$ ( $\text{Pa}$ )	3,15	3,15	3,15	3,03	3,03	3,03	2,93	2,93	2,93	2,86	2,83	2,80	2,75	2,55	2,27	2,69	2,41	2,22	2,05	2,68	2,37	2,19	1,96	1,79	2,75	2,5	2,11	1,88	2,75	2,63	2,52	2,72	2,27
$B_n^{(k,n)}$ ( $\text{E}$ )	3,66	3,66	3,66	3,02	3,02	3,02	2,56	2,51	2,51	2,32	2,27	2,22	2,17	1,9	1,58	2,09	1,72	1,53	1,38	2,87	1,68	1,5	1,3	1,17	2,2	1,78	1,41	1,22	2,23	1,81	1,33	2,23	1,55
$B_g^{(1)} b_{\text{exp.}}$ ( $\text{Pa}$ )	1,69	1,69	1,69	1,56	1,56	1,56	1,46	1,45	1,45	1,4	1,39	1,38	2,04	1,94	1,8	2,01	1,85	1,78	1,71	1,59	1,84	1,76	1,66	1,6	2,03	1,87	1,71	1,52	2,05	1,87	1,67	2,52	1,55
$B_g^{(2)} b_{\text{exp.}}$ ( $\text{Pa}$ )	0,44	0,44	0,44	0,41	0,41	0,41	0,39	0,39	0,39	0,37	0,37	0,38	0,25	0,24	0,35	0,25	0,3	0,23	0,28	0,34	0,23	0,31	0,33	0,22	0,31	0,29	0,22	0,27	0,25	0,29	0,22	0,24	0,28

Данные, общие для всех грунтов:  $S_{np}^{1,1} = 4,6 \cdot 10^{-2} n$ ;  $b_{\text{фак}} = 6,9 \pi / n$ ;  $G_{\text{ф.вр}} = 1,77 \pi / n^2$ ;  $(Rb^{1,1})_{\text{грунт}} = 2,9 \pi / n^2$ ;  $Nq_{\text{грунт}}^{1,1} = 10,98 \pi$

$$(RB^n)^{L_H} \text{ near } \varphi = 2.33 \frac{\pi}{n^2}; Ng^{L_H} \text{ near } \varphi = 9.1 \pi$$

Результаты расчета фундаментов П-8 (из подножников Ф1-2) при  $N_c^H = 7,8 \text{ тс}$ ;  $N_b^H = 5,4 \text{ тс}$   $h_{\text{фр.баз}} \geq -2,5 \text{ м}$  Таблица 27

Грунты	1	2	3	4	5	6	7	8	9	11	12	13	15	16	17	18	19	20	21	22	23	24	25	26	27	28	29	30	31	32	33	34	35
	Результаты																																
$S_0 (\text{м})$	7·10 <sup>-3</sup>	8·10 <sup>-3</sup>	9·10 <sup>-3</sup>	10·10 <sup>-3</sup>	11·10 <sup>-3</sup>	12·10 <sup>-3</sup>	13·10 <sup>-3</sup>	14·10 <sup>-3</sup>	15·10 <sup>-3</sup>	16·10 <sup>-3</sup>	17·10 <sup>-3</sup>	18·10 <sup>-3</sup>	19·10 <sup>-3</sup>	20·10 <sup>-3</sup>	21·10 <sup>-3</sup>	22·10 <sup>-3</sup>	23·10 <sup>-3</sup>	24·10 <sup>-3</sup>	25·10 <sup>-3</sup>	26·10 <sup>-3</sup>	27·10 <sup>-3</sup>	28·10 <sup>-3</sup>	29·10 <sup>-3</sup>	30·10 <sup>-3</sup>	31·10 <sup>-3</sup>	32·10 <sup>-3</sup>	33·10 <sup>-3</sup>	34·10 <sup>-3</sup>	35·10 <sup>-3</sup>				
$R_c^H (\text{т/м}^2)$	77,38	58,27	47,04	54,8	51,81	39,26	58,71	47,31	33,18	51,3	43,3	37,82	33,77	32,15	25,09	43,7	32,45	26,19	19,9	48,4	31,3	25,63	19,63	16,52	9,49	19,32	27,31	21,4	5,71	23,77	58,1	32,25	
$N_p^{1,1} (\text{тс})$	11,92	11,28	10,86	11,23	10,86	10,26	11,46	10,45	9,67	11,63	10,61	9,29	13,73	11,33	8,54	13,53	10,31	8,81	7,81	15,47	11,78	19,27	8,4	7,3	14,55	14,82	13,74	8,57	21,81	15,85	14,51	22,82	15,83
$Q_g^{1,1} \text{сж} (\text{тс})$	2,08	2,08	2,08	1,92	1,92	1,92	1,73	1,78	1,78	1,71	1,7	1,69	1,63	1,56	1,47	1,6	1,51	1,45	1,41	1,58	1,48	1,43	1,37	1,33	1,6	1,49	1,39	1,35	1,53	1,4			
$Q_g^{1,1} \text{сж} (\text{тс})$	2,08	2,08	2,08	1,92	1,92	1,92	1,73	1,78	1,78	1,71	1,7	1,69	1,63	1,56	1,47	1,6	1,51	1,45	1,41	1,58	1,48	1,43	1,37	1,33	1,6	1,49	1,39	1,33	1,6	1,48	1,35	1,53	1,4
$Q_n^{1,1} (\text{тс})$	3,2	3,18	3,18	2,63	2,63	2,22	2,18	2,18	2,01	4,97	4,93	1,88	1,65	1,38	1,82	1,5	1,33	1,2	1,8	1,46	1,3	1,13	1,82	1,92	1,55	1,23	1,06	1,59	1,57	1,65	1,94	1,35	
$Q_g^{1,1} \text{баз} (\text{тс})$	1,3	1,3	1,3	1,18	1,18	1,18	1,08	1,07	1,07	1,02	1,01	1,0	1,44	1,37	1,23	1,42	1,32	1,25	1,19	1,4	1,29	1,24	1,14	1,07	1,41	1,3	1,19	1,03	1,42	1,3	1,19	1,4	1,22
$Q_g^{1,1} \text{баз} (\text{тс})$	0,65	0,65	0,65	0,59	0,59	0,59	0,55	0,54	0,54	0,52	0,52	0,8	0,7	0,55	0,78	0,62	0,52	0,48	0,77	0,6	0,51	0,46	0,44	0,81	0,65	0,47	0,45	0,81	0,66	0,45	0,82	0,55	

Данные, общие для всех грунтов:  $S_{\text{ср}}^{1,1} = 4,6 \cdot 10^{-2} \text{ м}$ ;  $\bar{\sigma}_{\text{ф.сж.}} = 9,6 \text{ тс}/\text{м}^2$ ;  $\bar{\sigma}_{\text{ф.баз.}} = 2,96 \text{ тс}/\text{м}^2$ ;  $(RB^H)^{1,1} = 3,65 \text{ тс}/\text{м}^2$ ;  $N_g^{1,1} = 6,31 \text{ тс}$

\*Прочность основания фундаментов при  $h_{\text{грабод}} = -1,0 \text{ м}$  не обеспечена

$(RB^H)^{1,1}_{\text{песч. ф.}} = 3,05 \text{ тс}/\text{м}^2$ ;  $N_g^{1,1}_{\text{песч. ф.}} = 5,51 \text{ тс}$

Результаты расчета фундаментов П-9 (из подножников Ф2-2) при  $N_c^H = 7,8 \text{ тс}$ ;  $N_b^H = 5,4 \text{ тс}$ ;  $h_{\text{грабод}} = -1,0 \text{ м}$  Таблица 28

Грунты	1	2	3	4	5	6	7	8	9	11	12	13	15	16	17	18	19	20	21	22	23	24	25	26	27	28	29	30	31	32	33	34	35	
	Результаты																																	
$S_0 (\text{м})$	4·10 <sup>-3</sup>	5·10 <sup>-3</sup>	7·10 <sup>-3</sup>	4·10 <sup>-3</sup>	5·10 <sup>-3</sup>	7·10 <sup>-3</sup>	4·10 <sup>-3</sup>	5·10 <sup>-3</sup>	7·10 <sup>-3</sup>	10·10 <sup>-3</sup>	11·10 <sup>-3</sup>	10·10 <sup>-3</sup>																						
$R_c^H (\text{тс}/\text{м}^2)$	79,25	59,67	48,18	66,27	53,91	40,16	60,01	48,34	33,9	52,33	44,2	31,44	40,23	32,58	25,46	48,6	32,84	25,53	21,2	48,75	31,62	25,9	19,87	15,53	51,48	32,57	27,52	21,32	18,56	14,33	13,57	23,91	13,25	13,55
$N_p^{1,1} (\text{тс})$	11,76	11,7	10,79	11,17	10,79	10,23	11,42	10,42	9,7	11,57	10,67	9,36	14,37	12,4	9,5	11,69	11,35	9,8	8,8	16,75	12,93	11,43	9,48	8,44	20,61	16,37	12,12	10,17	24,11	18,36	12,85	25,63	17,45	
$Q_g^{1,1} \text{сж} (\text{тс})$	2,57	2,57	2,57	2,42	2,42	2,42	2,3	2,29	2,29	2,23	2,22	2,21	2,15	2,09	2,03	2,13	2,05	2,01	1,98	2,1	2,02	1,98	1,95	1,93	2,11	2,02	1,95	1,92	2,22	2,01	1,92	2,03	1,95	
$Q_g^{1,1} \text{сж} (\text{тс})$	2,57	2,57	2,57	2,42	2,42	2,42	2,3	2,29	2,29	2,23	2,22	2,21	2,15	2,09	2,03	2,13	2,05	2,01	1,98	2,1	2,02	1,98	1,95	1,93	2,11	2,02	1,95	1,92	2,22	2,01	1,92	2,03	1,95	
$Q_n^{1,1} (\text{тс})$	3,57	3,57	3,57	2,96	2,96	2,51	2,46	2,46	2,28	2,23	2,19	2,14	1,88	1,57	2,07	1,71	1,52	1,37	2,05	1,67	1,49	1,29	1,17	2,18	1,71	1,4	1,22	2,27	1,79	1,32	2,2	1,54		
$Q_g^{1,1} \text{баз.} (\text{тс})$	2,02	2,02	2,02	1,81	1,81	1,81	1,69	1,68	1,68	1,61	1,6	1,58	1,78	1,72	1,64	1,76	1,67	1,62																

#### IV. Примеры расчета

Пример №1. Выбор типа фундамента под среднюю узкобазовую стойку эстакадного портала ОРУ НСФ на стояне ВЛ подстанции со сборными шинами.

Действующие усилия на отметке борта фундамента в II горизонтальном районе: см. табл. 8 л. 18:

$$N_c^P = 427, N_s^P = 321, M_s^P = 18 \text{ тм}, M_t^P = 1,3 \text{ тон} M_1^P = 16,6 \text{ тм}, M_2^P = 11,9 \text{ тм}$$

Для расчета применим ерунт с условным номером 9.

Расчетные характеристики ерунта  $\gamma = 30^\circ, \gamma = 1,87 \text{ кг/см}^3, C_a =$

#### 1. Цилиндрический фундамент

а) Выбор типа закрепления фундамента по I предельному состоянию.

Несущая способность основания обеспечивается при соблюдении условия

$$M_{L,H} < K_n \cdot T_3 \cdot T_1 \cdot T_2 \cdot M$$

где:

$$K_n = 0,94 \text{ см} \text{ график 9 л. 40}$$

$$T_3 = 1,1 \text{ см} \text{ табл. 12 л. 31}$$

$$T_1 = 0,75 \text{ см} \text{ л. 8}$$

$$T_2 = 0,92 \text{ см} \text{ табл. 1 л. 8 т.к. } \frac{M_1}{M_2} = \frac{1,8}{16,6} = 0,108$$

Проверяем фундамент типа Ц-4п

$$M_{Ц-4} = 23,5 \text{ тм см. таблицу 10 л. 24}$$

$$M = 0,94 \cdot 1,1 \cdot 0,75 \cdot 0,92 \cdot 23,5 = 16,8 \text{ тм см}$$

$$M_1^P = 16,6 \text{ тм} < M = 16,8 \text{ тм}$$

Условие прочности основания обеспечено.

б) Проверка закрепления фундамента по II предельному состоянию.

Пригодность закрепления по деформации обеспечивается при соблюдении условия

$$f_{cr} + Q012 \text{ Н.см}$$

$$f_{cr} = \beta Q^H \cdot H = 0,0049 \cdot 0,595 \cdot 1135 = 3,3 \text{ см}$$

$$\beta = 0,0049 \text{ для Ц-4п по табл. Н}$$

$$Q^H = \frac{M_1^P}{20} = \frac{11,9}{20} = 0,595 \text{ тс}$$

$$H = 1135 \text{ см}$$

$$Q012 \text{ Н.см} = 0,012 \cdot 1135 \cdot 68 = 13,7 \cdot 68 = 6,9 \text{ см}$$

$f_{cr} = 6,8 \text{ см}$  - профиль стойки в II гор. районе  
 $3,3 \text{ см} < 6,8 \text{ см}$

в) Проверка основания цилиндрического фундамента по прочности при действии вертикальной силы

Проверка производится по формуле:

$$N^H \leq P' \cdot T_1 - 1,1G_f$$

Для ерунта Н9 по табл. 14 л. 32 находится  $P' = 20,2$ ,  
Тогда

$$N^H = 4,3 \text{ т} < 20,2 \cdot 0,75 - 1,1 \cdot 1,1 = 13,9 \text{ т}$$

Выбранный тип фундамента Ц-4п удовлетворяет всем условиям проверки.

## 2. Фундамент из подножника

Проверка по I предельному состоянию

Пригодность закрепления обеспечивается при соблюдении условия:

$$f_{\text{ср}} \leq 0,012H \cdot f_{\text{ct}}$$

$$f_{\text{ср}} = \beta \cdot Q'' \cdot H = 0,0056 \cdot 0,595 \cdot 1135 = 3,8 \text{ см}$$

Проверен фундамент П-1

$\beta = 0,0056$  для грунта Н9 по табл. 12

$Q'' = 0,595 \text{ тс} \text{ и } 46$

$$0,012H \cdot f_{\text{ct}} = 6,9 \text{ см и } 46$$

$$3,8 \text{ см} < 6,9 \text{ см}$$

Для подножников узкобазовых стоеч порталов расчет по деформации является определяющим и расчет оснований по прочности не выполняется.

## 3. Фундамент из свай

Действующие расчетные нагрузки:

$N_c^P = 13,9 \text{ тс}$   $N_b^P = 9,7 \text{ тс}$ , в II гололедном районе  
см. табл. 9 лист 21

Проверим фундамент С-6, сваи С35-1-8-2.

Глубина забивки свай  $H = 8 - 0,4 - 0,2 = 7,4 \text{ м}$

Масса сваи  $G_f = 2,67$

По таблице 12 л. 31 грунт Н9 - мелкие пески.

Расчет: На оси Н графиков 2(4) откладывается глубина забивки сваи  $H = 7,4 \text{ м}$ , из этой точки проводим горизонталь до пересечения с кривой заданного грунта и откладываем перпендикуляр на ось  $P_b'' (P_c'')$ .

Полученный на оси  $P_b (P_c)$  отсчет дает несущую способность сваи  $P_b' (m) (P_c')$ .

Окончательная несущая способность сваи равна

$$P_c = P_c' \cdot T_3 \cdot 1,1 G_f \quad P_b = P_b' K T_3 + Q'' G_f$$

Несущая способность сваи на сжатие  
при  $T_3 = 0,8 \text{ см}$  лист 9.

$$P_c = 46,0 \cdot 0,8 \cdot 1,1 \cdot 2,6 = 34 \text{ тс}$$

$$N_c^P = 13,9 < P_c = 34 \text{ тс}$$

Несущая способность сваи на вырывание  
для песчаных грунтов К = 1 см лист 9

$$P_b = 19,5 \cdot 0,8 \cdot 0,9 \cdot 2,6 = 18 \text{ тс}$$

$$N_b^P = 12 \cdot 8,7 \text{ тс} = 11,7 \text{ тс} < 18 \text{ тс}$$

Принятый фундамент типа С-6 обеспечивает прочность основания.

## Пример № 2

Выбор типа фундамента под широкобазовую стойку ячеекового портала ОРУ 110 кВ на стороне Н.Н. подстанции со сборными шинами.

Действующие усилия на отметке верха фундамента в II районе по гололеду см. табл. 8 л. 19

$N_c^P = 9,1 \text{ тс}$   $N_b^P = 6,5 \text{ тс}$ ,  $N_b'' = 6,9 \text{ тс}$ ,  $N_b''' = 4,9 \text{ тс}$ ,  $Q_b^P = 0,08 \text{ тс}$   $Q_b'' = 0,06 \text{ тс}$   
 $Q_b''' = 0,06 \text{ тс}$ ,  $Q_b''' = 0,4 \text{ тс}$ . Грунт тот же, что в примере № 1.

## 1. Фундамент из подножников

Грунтовые воды на отметке - 1,0.

По табл. 24 составленной для действующих усилий на подножник ф1-2  $N_b^P = 4,9 \text{ тс}$ ,  
 $N_c^P = 6,5 \text{ тс}$  и  $P_f = 0,8 \text{ м} - 1,0 \text{ м}$  производим проверку пригодности фундамента типа П-1

TK  
1973

Примеры расчета оснований  
фундаментов

3-407-98  
Выпуск 47

- |                                 |                                     |
|---------------------------------|-------------------------------------|
| 1) $N'_8 < N''_8$               | $6,9 \text{ тс} < 7,6 \text{ тс}$   |
| 2) $N''_8 < N'''_8$             | $4,9 \text{ тс} < 5,1 \text{ тс}$   |
| 3) $Q'_s < Q''_s$               | $0,08 \text{ тс} < 2,18 \text{ тс}$ |
| 4) $Q''_s < Q'''_s$             | $0,6 \text{ тс} < 2,18 \text{ тс}$  |
| 5) $Q''_s < Q''_{d, \text{шр}}$ | $0,06 \text{ тс} < 0,52 \text{ тс}$ |
| 6) $Q''_s < Q''_{d, \text{жк}}$ | $0,4 \text{ тс} < 1,13 \text{ тс}$  |
| 7) $Q''_s < Q''_{d, \text{жк}}$ | $0,06 \text{ тс} < 1,78 \text{ тс}$ |
| 8) $Q''_s < Q''_{d, \text{жк}}$ | $0,4 \text{ тс} < 1,78 \text{ тс}$  |

Выборочный фундамент удовлетворяет всем требованиям

### 2 Цилиндрический фундамент типа СЦ-1

Диаметр котлована - 800 мм, заделка пазух бетоном,  
 $H_k = 3,3 \text{ м}$

а) Проверка основания цилиндрического фундамента по прочности при действии вертикальной сжимающей силы.

Проверка производится по формуле

$$N^P \leq P' \cdot m_c - 1,16\varphi$$

По таблице 14, я. 32

для грунта №9 при насыщении его водой  $P' = 37,6 \text{ тс}$

$$N^P_c = 9,1 \text{ тс} < 37,6 \cdot 0,75 - 1,1 \cdot 1,2 = 26,9 \text{ тс}$$

б) Проверка основания цилиндрического фундамента по прочности при действии вырывоющих сил.

Проверка производится по формуле

$$N^P_8 \leq P_8$$

$$P_8 = m_c \cdot m_f \cdot P_8 + 0,96\varphi = 0,75 \cdot 0,6 \cdot 7,85 + 0,9 \cdot 3,1 = 6,5 \text{ тс}$$

$P_8' = 7,85 \text{ тс}$  по таблице 13

$$N^P_8 = 6,9 \text{ тс} > P_8 = 6,5 \text{ тс}$$

Так цилиндрический фундамент не обеспечивает нормируемую прочность и следует принять другой тип фундамента.

### 3. Свайный фундамент

Проверяем фундамент типа С-1

Своя С25-1-6-Н. Глубина забивки сваи

$$H = 6,0 \cdot 0,2 \cdot 0,2 = 5,6 \text{ м} \quad \text{Масса сваи } G_f = 0,95 \text{ тс}$$

По таблице 12 грунт №9 - мелкие галечки

Расчет: На оси Н графика 1(3) откладывается глубина забивки сваи  $H = 5,6 \text{ м}$ , из этой точки проводим горизонталь до пересечения с кривой заданного грунта и опускаем перпендикуляр на ось  $P_s'' (P_c'')$

Окончательная несущая способность сваи на сжатие

$$P_c = 21 \cdot 0,8 \cdot 1,1 \cdot 0,95 = 15,75 \text{ тс}$$

$$N^P_c = 9,1 \text{ тс} < 15,75 \text{ тс}$$

Несущая способность сваи на вырывание

$$P_8 = 10 \cdot 1 \cdot 0,8 + 0,9 \cdot 0,95 = 8,85 \text{ тс}$$

$$N^P_8 = 1,2 \cdot 6,9 = 8,3 < 8,85 \text{ тс}$$

Принятый фундамент С-1 обеспечивает нормированную прочность основания.

Следовательно, под широкобазуло стойку энгелькового портала ОРУ 110 кВ для данного примера проходят фундаменты типа П-3 (из подножников) и типа С-1 (из сваи).